



Fakulteta za kemijo
in kemijsko tehnologijo

Gregor Kravanja

Določitev površinske napetosti z metodo kapilarnega dviga dvofaznih sistemov

Magistrsko delo



Fakulteta za kemijo
in kemijsko tehnologijo

Določitev površinske napetosti z metodo kapilarnega dviga dvofaznih sistemov

Magistrsko delo študijskega programa II. stopnje

| | |
|------------------------------|---|
| Študent: | Gregor Kravanja |
| Študijski program: | magistrski študijski program II. stopnje Kemijska tehnika |
| Predvideni strokovni naslov: | magister/magistrica inženir/ka kemijske tehnike |
| Mentor: | red. prof. dr. Željko Knez |
| Komentor: | red. prof. dr. Mojca Škrget |

Maribor, julij 2014



Fakulteta za kemijo
in kemijsko tehnologijo

Številka: K2000341
Datum: 03.03.2014

Na osnovi 330. člena Statuta Univerze v Mariboru (Ur. I. RS, št. 46/2012) izdajam

SKLEP O MAGISTRSKEM DELU

Gregor Kravanja, študent-ka študijskega programa 2. stopnje Kemijska tehnika, izpolnjuje pogoje, zato se ji-mu dovoljuje izdelati magistrsko delo.
Tema magistrskega dela je pretežno s področja katedre za kemijsko tehniko.

Mentor-ica: red. prof. dr. Željko Knez
Somentor-ica: red. prof. dr. Mojca Škerget

Datum veljavnosti teme: 03.03.2015
Tema podaljšana:

Naslov magistrskega dela:

DOLOČITEV POVRSINSKE NAPETOSTI Z METODO KAPILARNEGA DVIGA DVOFAZNIH SISTEMOV

Naslov magistrskega dela v angleškem jeziku:

DETERMINATION OF THE SURFACE TENSION BY THE CAPILLARY RISE METHOD IN TWO-PHASE SYSTEMS

Magistrsko delo je potrebno izdelati skladno z »Navodili za izdelavo magistrskega dela« in ga do 03.03.2015 v treh izvodih oddati v referatu za študentske zadeve Fakultete za kemijo in kemijsko tehnologijo.

V skladu z Navodili o pripravi in oddaji e-diplom je potrebno magistrsko delo oddati v Digitalno knjižnico Univerze v Mariboru.

Pravni pouk: Zoper ta sklep je možna pritožba na senat članice v roku 3 delovnih dni.

DEKAN:
red. prof. dr. Željko Knez

po pooblastilu dekana
prodekan
red. prof. dr. Peter KRAJNC

Obvestiti:

- kandidata -ko,
- mentorja,
- somentorja,
- odložiti v arhiv



FAKULTETA ZA KEMIJO IN
KEMIJSKO TEHNOLOGIJO

T

IZJAVA

Izjavljam, da sem magistrsko delo izdelal/a sam/a, prispevki drugih so posebej označeni.
Pregledal/a sem literaturo s področja magistrskega dela po naslednjih geslih:

| Vir: Web of Knowledge (apps.isiknowledge.com) | |
|---|-------------------------|
| Gesla: | Število referenc |
| surface tension IN capillary rise | 134 |

| Vir: Science Direct (http://www.sciencedirect.com) | |
|--|-------------------------|
| Gesla: | Število referenc |
| surface tension IN capillary rise | 32 |
| surface tension IN capillary rise IN CO ₂ | 5 |
| supercritical density | 3 |

| Vir: COBIB-COBISS (http://www.cobiss.si/scripts/cobiss?ukaz=getid) | |
|--|-------------------------|
| Gesla: | Število referenc |
| surface tension | 39 |
| površinska napetost | 14 |
| Superkritični fluidi | 3 |

Skupno število pregledanih člankov: 59

Skupno število pregledanih knjig: 4

Maribor, julij 2014

Gregor Kravanja
podpis

Zahvala

Zahvaljujem se mentorju red. prof. Željku Knezu in somentorici red. prof. Mojci Škerget za strokovne nasvete, ideje in menja pri snovanju magistrske naloge.

Hvala vsem iz Laboratorija za separacijske procese in produktivno tehniko za prijetno vzdušje in tehnično pomoč, posebej pa mladi raziskovalki Maši Knez Hrnčič za uvajanje v eksperimentalni del magistrske naloge, za usmerjenje, popravke in nasvete.

Zahvaljujem se prof. as. dr. Makfire Sadiku iz Prištinske univerze in dr. Jakobu Žiljcov iz Laboratorija za tehnološke meritve Fakultete za strojništvo v Mariboru za pomoč ter nasvete pri eksperimentalnem delu magistrske naloge.

Posebna zahvala velja moji družini za vso podporo. Hvala prijateljem in vsem, ki ste mi olajšali in polepšali študijske dni.

Določitev površinske napetosti z metodo kapilarnega dviga dvofaznih sistemov

Povzetek

Namen magistrske naloge je bil postavitev meritve merilne naprave in razvoj nove metode merjenja površinske napetosti s kapilarnim dvigom dvofaznih sistemov v okolici kritične točke. Za pridobitev natančnih in primerljivih meritev je bilo potrebno poznati natančni notranji premer tankih kapilar. Določili smo ga z metodo laserskega tipanja na nemški koordinatni merilni napravi ZEISS tipa UMC-850 s pomočjo merilne programske opreme CALYPSO 5.1.4. Za merjenje ravnotežne višine smo uporabili računalniški program Logger Pro, ki omogoča natančno analizo razdalj med dvema točkama. Gostote dvofaznih sistemov smo dobili iz podatkovne baze NIST ali jih izmerili s pomočjo gravimetrične metode jemanja vzorcev iz mešalnega avtoklava.

Površinsko napetost smo merili v treh dvofaznih sistemih: voda/CO₂, slanica/CO₂ in polimer PEG/CO₂ v razponu od 1 bara do 200 barov. Prve meritve smo izvedli za sistem voda/CO₂ pri treh izotermah (25 °C, 45 °C in 60 °C) in jih primerjali z literaturo. Ugotovili smo, da daje naša metoda primerljive in ponovljive rezultate, ki kažejo, da se s povečanjem tlaka površinska napetost linearno zmanjšuje do območja fazne spremembe CO₂, v območju višjih tlakov pa doseže konstantno vrednost. Zanimiva je tudi ugotovitev, da se površinska napetost pri atmosferskih pogojih z nižanjem temperature poveča, v območju višjih tlakov pa pada. Zaradi možnosti skladiščenja toplogrednega plina CO₂ v slanico smo v avtoklavu simulirali razmere, ki potekajo pri vbrizgavanju CO₂ v slane reke več kilometrov pod zemljo. Ugotovili smo, da se z višanjem koncentracije soli v vodni raztopini (od 14 g/l do 200 g/l) viša vrednost površinske napetosti. Z namenom pridobitve še neraziskanih termodinamskih podatkov v okolici kritične točke smo izmerili površinsko napetost sistema polimera PEG/CO₂. Rezultati kažejo, da se je površinska napetost sistema PEG/CO₂ (molske mase PEG: 200, 400, 600) s povečanjem tlaka prav tako linearно zmanjševala.

Ključne besede: površinska napetost, kapilarni dvig, gostota, slanica, PEG

UDK: 536.2:683.97(043.2)

Determination of the surface tension by the capillary rise method in two-phase systems.

Abstract

The aim of the thesis was to install a measuring device for determination of the surface tension by the capillary rise method in two-phase systems at higher pressures. In order to obtain accurate and comparable measurements, it was necessary to know the exact inner diameter of the thin capillaries, which we have determined by measuring on the German coordinate machine ZEISS type UMC - 850 using a software CALYPSO 5.1.4. To measure the equilibrium height, we used a computer program Logger Pro, which enables detailed analysis of distances between two points. The densities of two-phase systems were obtained from the NIST database, or measured by the gravimetric method of taking samples from the mixing autoclave.

Surface tension was measured in the three two-phase systems: water/CO₂ brine/CO₂ and polymer PEG/CO₂ in the range from 1 bar to 200 bar. The first measurements were performed for the system water/CO₂ for three isotherms (25° C, 45° C and 60° C) and compared with the literature. We found that our method provides comparable and reproducible results. As pressure increases, a decrease in the interfacial tension is observed, which is more pronounced at lower temperatures. At lower pressures surface tension decreases with rising temperature; at higher pressures the opposite effect is found. Due to the potential of storage of the greenhouse gas CO₂ in brine, we simulated conditions in an autoclave, which take place when injecting CO₂ into saline river several hundred meters underground. We found that by increasing the salt concentration in the aqueous solution (from 14g/l to 200g/l) the surface tension value increases. In order to obtain so far unexplored thermodynamic data, surface tension of the system polymer PEG/CO₂ was measured. The results show that by increasing pressure the surface tension of the system PEG/CO₂ (molar mass of PEG: 200, 400, 600) decreased linearly likewise.

Key words: surface tension, capillary rise method, density, brine, PEG

UDK: 536.2:683.97(043.2)

Kazalo

| | | |
|-------|--|----|
| 1 | Uvod | 1 |
| 1.1 | Namen | 2 |
| 2 | Teoretični del..... | 3 |
| 2.1 | Površinska napetost..... | 3 |
| 2.1.1 | Temperaturna odvisnost..... | 5 |
| 2.1.2 | Koncentracijska odvisnost..... | 6 |
| 2.1.3 | Odvisnost od vrste faznega stika | 7 |
| 2.1.4 | Kapilarnost-močenje površine | 8 |
| 2.1.5 | Uporaba v industriji | 9 |
| 2.2 | Merjenje površinske in medfazne napetosti | 11 |
| 2.2.1 | Kapilarni dvig | 12 |
| 2.3 | Merjenje dimenzije kapljice (PD) | 16 |
| 2.4 | Površinska napetost in skladiščenje CO ₂ v slanico..... | 17 |
| 2.5 | Superkritični fluidi | 19 |
| 2.5.1 | Lastnosti superkritičnih tekočin..... | 20 |
| 2.5.2 | Uporaba SCF | 23 |
| 2.6 | Polimeri..... | 24 |
| 2.6.1 | Polietilen glikol..... | 24 |
| 3 | Eksperimentalni del..... | 26 |
| 3.1 | Materiali | 26 |
| 3.2 | Laboratorijske metode..... | 27 |
| 3.2.1 | Kalibracija notranjega premera kapilare s klasično metodo | 27 |
| 3.2.2 | Določevanje notranjega premera kapilare z metodo laserskega tipanja | 29 |
| 3.2.3 | Gravimetrična metoda merjena gostot v okolini kritične točke..... | 31 |
| 3.3 | Postavitev naprave za merjenje površinske napetosti | 34 |
| 3.3.1 | Merjenje kapilarnega dviga s računalniškim Program Logger Pro | 36 |
| 4 | Rezultati in diskusija | 38 |
| 4.1 | Primerjava določitve notranjega premera s klasično in lasersko metodo | 38 |
| 4.2 | Dinamika kapilarnega dviga | 39 |
| 4.2.1 | Dinamika kapilarnega dviga pred fazno spremembo | 39 |
| 4.2.2 | Dinamika kapilarnega dviga po fazni spremembi | 40 |
| 4.3 | Merjenje površinske napetosti binarnega sistema voda/CO ₂ | 42 |
| 4.3.1 | Merjenje površinske napetosti sistema voda/CO ₂ pri 25°C..... | 43 |
| 4.3.2 | Merjenje površinske napetosti sistema voda/CO ₂ pri 45°C..... | 45 |
| 4.4 | Merjenje površinske napetosti sistema voda/CO ₂ pri 60°C | 46 |
| 4.4.1 | Vpliv temperature na površinske napetosti pri visokih tlakih | 47 |
| 4.5 | Merjenje površinske napetosti sistema slanica/CO ₂ | 48 |
| 4.5.1 | Merjenje površinske napetosti sistema slanica/CO ₂ pri 25°C | 48 |
| 4.5.2 | Merjenje površinske napetosti sistema slanica/CO ₂ pri 45°C | 49 |
| 4.6 | Merjenje površinske napetosti taline PEG/CO ₂ | 50 |
| 4.6.1 | Kalibracija gravimetrične metode s čistim CO ₂ | 50 |
| 4.6.2 | Merjenje gostote PEG 200/CO ₂ | 51 |
| 4.6.3 | Merjenje površinske napetosti PEG 200/CO ₂ | 52 |
| 4.6.4 | Gostote PEG 400, določene z tehniko vibracijske strune | 53 |
| 4.6.5 | Merjenje površinske napetosti PEG 400/CO ₂ | 54 |
| 4.6.6 | Merjenje gostote PEG 600/CO ₂ | 55 |
| 4.6.7 | Merjenje površinske napetosti PEG 600/CO ₂ | 56 |

| | | |
|--------|---|----|
| 5 | Zaključek | 57 |
| 6 | Literatura..... | 59 |
| 7 | Priloge..... | 63 |
| 7.1 | Meritev notranjega premera v treh ciklih s pomočjo programske opreme Calypso | |
| 5.4.12 | | 63 |
| 7.2 | Rezultati meritev notranjega premera s programsko opremo Calypso. | 64 |
| 7.3 | Podatki za izračun površinske napetosti sistema voda/CO ₂ | 65 |
| 7.3.1 | Podatki za izračun površinske napetosti sistema voda/CO ₂ pri 25°C | 65 |
| 7.3.2 | Podatki za izračun površinske napetosti sistema voda/CO ₂ pri 45° | 65 |
| 7.3.3 | Podatki za izračun površinske napetosti sistema voda/CO ₂ pri 60°C | 66 |
| 7.4 | Podatki za izračun površinske napetosti sistema slanica/CO ₂ | 67 |
| 7.4.1 | Površinske napetosti sistema slanica/CO ₂ s koncent. soli 1,4 g/L pri 25°C | 67 |
| 7.4.2 | Površinske napetosti sistema slanica/CO ₂ s koncent. soli 100 g/L pri 25°C .. | 67 |
| 7.4.3 | Površinske napetosti sistema slanica / CO ₂ s koncent. soli 200 g/L pri 25°C | 68 |
| 7.4.4 | Površinske napetosti sistema slanica/CO ₂ s koncent. soli 14 g/L pri 45°C | 68 |
| 7.4.5 | Površinske napetosti sistema slanica/CO ₂ s koncent. soli 100 g/L pri 45°C .. | 69 |
| 7.4.6 | Površinske napetosti sistema slanica/CO ₂ s koncent. soli 200 g/L pri 45°C .. | 69 |
| 7.4.7 | Površinske napetosti sistema slanica/CO ₂ s koncent. soli 14 g/L pri 60°C | 70 |
| 7.5 | Podatki za izračun gostote in površinske napetosti sistema PEG/CO ₂ | 71 |
| 7.5.1 | Podatki za izračun gostote sistema PEG 200/CO ₂ pri 40°C | 71 |
| 7.5.2 | Podatki za izračun površinske napetosti sistema PEG 200/CO ₂ pri 40°C | 71 |
| 7.5.3 | Podatki za izračun gostote sistema PEG 200/CO ₂ pri 60°C | 72 |
| 7.5.4 | Podatki za izračun površinske napetosti sistema PEG 200/CO ₂ pri 60°C | 72 |
| 7.5.5 | Podatki za izračun površinske napetosti sistema PEG 400/CO ₂ pri 40°C | 73 |
| 7.5.6 | Podatki za izračun površinske napetosti sistema PEG 400/CO ₂ pri 60°C | 73 |
| 7.5.7 | Podatki za izračun gostote sistema PEG 600/CO ₂ pri 40°C | 74 |
| 7.5.8 | Podatki za izračun površinske napetosti sistema PEG 600/CO ₂ pri 40°C | 74 |
| 7.5.9 | Podatki za izračun gostote sistema PEG 600/CO ₂ pri 60°C | 75 |
| 7.5.10 | Podatki za izračun površinske napetosti sistema PEG 600/CO ₂ pri 60°C | 75 |
| 8 | Življjenjepis | 76 |

Seznam tabel

| | |
|--|----|
| Tabela 2-1: Fazne napetosti pri 20°C [15]..... | 7 |
| Tabela 2-2: Primerjava natančnosti in primernosti klasičnih metod merjenja γ [24]..... | 11 |
| Tabela 2-3: Red velikosti fizikalnih veličin [34]..... | 20 |
| Tabela 2-4 : Vrednost kritičnih vrednosti v odvisnosti od strukture spojine [36]..... | 22 |
| Tabela 2-5: Karakteristike in lastnosti PEG [53]..... | 25 |
| Tabela 3-1: Podatki za izračun volumna cevke | 32 |
| Tabela 4-1: Primerjava meritev | 38 |
| Tabela 4-2: Podatki za izračun površinske napetosti sistema voda/ CO ₂ pri 25°C | 43 |
| Tabela 4-3: Vrednosti AARD meritev pri 25°C: | 44 |
| Tabela 4-4 : Vrednosti AARD meritve pri 45°C | 45 |
| Tabela 4-5: Vrednosti AARD meritev pri 60 °C..... | 46 |
| Tabela 4-6: Kalibracija gravimetrične metode s čistim CO ₂ | 50 |

Seznam slik

| | |
|--|----|
| Slika 2-1 : Pogoj za nastanek površinske napetosti sta vedno dve površini z različno sestavo snovi (tekočina-zrak)..... | 3 |
| Slika 2-2: Pri kritični temperaturi vode (T_c) je njena površinska napetost enaka 0 [10]..... | 5 |
| Slika 2-3 : Razporeditev molekul dveh različnih raztopinah [11] | 6 |
| Slika 2-4: Kot močenja tekočine-plina-trdnine. a) hidrofilna površina: kapljevina moči površino, saj je $(\phi) < 90$ (b) hidrofobna površina: kapljevina ne moči površine $(\phi) > 90$ | 8 |
| Slika 2-5: Površinsko aktivne snovi se dodajajo barvilm in črnilom za izboljšanje njihovih lastnosti z zniževanjem površinske napetosti ter v naftni industriji za povečanje izkoristka izčrpane količine nafte [19]..... | 9 |
| Slika 2-6: S sušenjem aerogelov povzročimo zmanjšanje površinske napetosti [23]..... | 10 |
| Slika 2-7: Meniskus kapilare[8] | 13 |
| Slika 2-8: Ravnotežna višina kapilarne dvige je odvisna od polmera kapilare (večji polmer pomeni manjši kapilarni dvig, in obratno). Tlak na strani vode P_w je nižji od atmosferskega tlaka P_0 , kar povzroči, da meniskus vode naraste do ravnotežne višine [25]. | 13 |
| Slika 2-9: Primerjava izračunanega kapilarne dvige z eksperimentalnimi vrednostmi za etilen glikol [29]..... | 15 |
| Slika 2-10: Z merjenjem dimenzij viseče kapljice do vrednosti površinske napetosti [31]. | 16 |
| Slika 2-11: Vtiskanje CO ₂ lahko poteka v geološke rezervoarje pod superkritičnimi pogoji [35]. | 17 |
| Slika 2-12: Pri vtisku CO ₂ v skladiščno plast slanice se sprožijo štiri mehanizmi, ki potekajo v različnih časovnih okvirih: Prvi in najpomembnejši je akumulacija SCF CO ₂ v geološki plasti in drugi imobilizacija v majhne pore (zelena) , tretji ujetje z raztpljanjem CO ₂ v porah s slano vodo (rdeče) in četrти ujetje v kamninah (rjava) [36]. | 18 |
| Slika 2-13: Tri daljice delijo diagram v odvisnosti tlaka od temperature na tri področja: trdno, plinasti in tekoče. Območje SCF komponente (topila) se nahaja nad njeno kritično temperaturo (T_c) in tlakom (P_c) [33]. | 19 |
| Slika 2-14: Viskoznost superkritičnega CO ₂ je približno istega razreda kot je plinska faza CO ₂ [46]. | 20 |
| Slika 2-15: Gostota CO ₂ se v bližini kritične točke močno spremeni, kar ugodno vpliva na topnost številnih snovi [40]. | 21 |
| Slika 2-16: Kemična struktura polietilen glikola (PEG) [49]. | 24 |
| Slika 3-1: Določevanje notranjega premera s klasično metodo kapilarne dvige. | 28 |
| Slika 3-2: Kapilari uporabljeni za določevanje kapilarne dvige. | 28 |
| Slika 3-3: Merjenje notranjih premerov z merilno napravo ZEISS tipa UMC – 850. | 29 |
| Slika 3-4: Umerjanje na kalibracijski kroglici in kovinskem obroču. | 30 |
| Slika 3-5: Merjenje notranjega premera kapilare in določitev koordinatnega sistema merjenca | 30 |
| Slika 3-6: Avtoklav z magnetnim mešalom in grelnim plaščem. | 31 |
| Slika 3-7: Ventil s cevko in snemljivim vijakom manjše mase. | 32 |
| Slika 3-8: Shema merilne naprave: 1. jeklenka čistega CO ₂ , 2. cevno omrežje, 3. visokotlačna pumpa, 4. avtoklav Sitec AG 5. svetlobni vir, 6. elektronski merilec tlaka, 7. termočlen, 8. izhod lažje faze, 9. izhod teže faze, 10. HD kamera, 11. prenosnik. | 35 |
| Slika 3-9: Naprava za merjenje površinske napetosti binarnih sistemov s kapilarno metodo. | 35 |

| | |
|---|----|
| Slika 3-10: Določitev kapilarnega dviga s programsko opremo Logger Pro. | 36 |
| Slika 4-1: Čas vzpostavitev ravnotežne višine v kapilari pri 25 °C in 1 baru. | 39 |
| Slika 4-2: Čas vzpostavitev ravnotežne višine v kapilari pri 50 barih | 40 |
| Slika 4-3: Čas vzpostavitev ravnotežne višine v kapilari pri 100 barih | 40 |
| Slika 4-4: Čas vzpostavitev ravnotežne višine v kapilari pri 150 barih | 41 |
| Slika 4-5: Kapilarni dvig v okolici kritičnega tlaka CO ₂ pri 25°C (utekočinjanje CO ₂)..... | 42 |
| Slika 4-6: Primerjava meritev površinskih napetosti pri izotermi 25°C..... | 44 |
| Slika 4-7: Primerjava meritve površinskih napetosti sistema voda/CO ₂ pri izotermi 45°C.45 | |
| Slika 4-8: Primerjava meritve površinskih napetosti sistema voda / CO ₂ pri izotermi 60°C46 | |
| Slika 4-9: Vpliv temperature na površinske napetosti pri visokih tlakih..... | 47 |
| Slika 4-10: Vpliv koncentracije slanice na površinsko napetost pri 25°C..... | 48 |
| Slika 4-11: Vpliv koncentracije slanice na površinsko napetost pri 45°C..... | 49 |
| Slika 4-12: Primerjava eksperimentalnih podatkov s podatki iz NIST-a. | 50 |
| Slika 4-13: Gostote sistema PEG 200 / CO ₂ pri 25 °C v območju tlakov od 1 do 200 barov. | 51 |
| Slika 4-14: Površinska napetost PEG 200/CO ₂ pri temperaturi 40°C in 60 °C v območju od 1 do 200 barov. | 52 |
| Slika 4-15: Kapilarni dvig sistema peg 200/CO ₂ pri 60 °C in 180 bar..... | 52 |
| Slika 4-16: Vrednosti gostot binarnega sistema PEG 400/CO ₂ | 53 |
| Slika 4-17: Površinska napetost sistema PEG 400/CO ₂ | 54 |
| Slika 4-18: Gostote PEG 600/CO ₂ | 55 |
| Slika 4-19: Površinska napetost sistema PEG 600/CO ₂ | 56 |

Uporabljeni simboli in kratice

| | |
|-------------------|---|
| A | površina (m^2) |
| c_{razt} | množinska koncentracija (mol/l) |
| D | difuzivnost ($1/\text{m}^2\text{s}$) |
| ΔE | sprememba površinske energije (J) |
| F | sila (N) |
| g | gravitacijska konstanta (m/s^2) |
| H | korekcijski faktor |
| h | višina kapilarnega dviga (m) |
| dG | Gibbsova energija (J) |
| l | dolžina (m) |
| M | molska masa (g/mol) |
| n | množina (mol) |
| p | tlak (bar) |
| p_c | kritični tlak (bar) |
| r | notranji radij kapilare |
| S | entropija (J/K) |
| t | čas (s) |
| T | temperatura (K) |
| T_c | kritična temeratura (K) |
| V | prostornina (m^3) |
| V_m | molski volumen (m^3/mol) |
| W | delo (J) |
| dx | premik v smeri x (m) |

Grški simboli

| | |
|----------|---|
| γ | površinska napetost (N/m) |
| η | viskoznost (kg/ms) |
| Γ | presežek površinske koncentracije topljenca (mol/m) |

Kratice

| | |
|-------|--|
| AARD | standardna absolutna relativna deviacija |
| CR | metoda kapilarnega dviga |
| GS | plinska kromatografija |
| HD | visoka ločljivost |
| NIST | podatkovna baza |
| PD | metoda viseče kapljice |
| PEG | polietilen glikol |
| SFC | superkritični fluid |
| SCE | superkritična ekstrakcija |
| SITEC | znamka visokotlačnih naprav |

1 Uvod

V okviru magistrskega dela smo določevali površinske napetosti dvofaznih sistemov z metodo kapilarnega dviga. Poznavanje površinske napetosti v okolini kritične točke je pomembno v kemijski industriji pri načrtovanju konvencionalnih in superkritičnih ekstrakcij, v naftni industriji pri izboljšanju transportnih lastnosti nafte in v farmacevtski industriji pri razvoju luhkih materialov aerogelov ter mikroemulzij. Je neposredni indikator kakovosti in čistosti znane kemikalije oz. njenih mešanic v procesnem toku. V primeru, če se znani snovi spremeni začetna formulacija zaradi dodatka nove kemikalije (organsko aktivne snovi), ali se mešanica onesnaži z nezaželeno substanco, se spremeni tudi njena površinska napetost. Že majhne spremembe v molekularni sestavi poznanih topil, kemikalij, privedejo do sprememb vrednosti površinske napetosti.

V literaturi smo zasledili veliko podatkov o meritvah površinske napetosti pri atmosferskem tlaku, manj pa v primeru dvofaznih sistemov v okolini kritične točke CO₂. Podrobnejše smo preučili raziskave: A. Henbach, A. Oberhof [1], B.S. Chun, G.T Wilkinson [2], C. Jho, D. Nealson [3] o površinski napetosti dvofaznega sistema voda/CO₂. Opisali so metodo kapilarnega dviga tekočine in metodo viseče kapljice, kjer se z računalnikom analizira geometrija kapljice, preko katere se določi površinska napetost. Njihove raziskave kažejo, da je bilo s povečanjem tlaka opaziti linearno zmanjšanje površinske napetosti, ki je bila še izrazitejša pri nižjih temperaturah. V območju višjih tlakov pa je bilo opaziti skorajšno neodvisnost spremembe površinske napetosti po tlaku.

Zasledili smo tudi številne raziskave in meritve površinskih napetosti dvofaznega sistema slanica/CO₂ [4] [33] [35], ki je pomembna pri skladiščenju toplogrednega plina CO₂ v slane podzemne reke (slanico). Poznavanje površinske napetosti med fazama slane vode (slanice) in plina CO₂ je pomembna pri kontroli tesnjena in ujetja CO₂ v slanih vodonosnikih v geološki formaciji. Merjenje napetosti stika med fazama slane vode in plina CO₂ je težavno, ker zajema visokotlačne pogoje, ki so prisotni več kilometrov pod zemljo in korozionsko odporne materiale. Raziskave kažejo, da se površinska napetost s tlakom zmanjšuje in je odvisna od koncentracije slanice. Pri višjih koncentracijah slanice je tudi površinska

napetost po celotnem razponu tlaka višja. Obetavna je tudi možnost vbrizgavanja odpadnega komprimiranega CO₂ namesto vode, v izčrpane naravne rezervoarje nafte. To poveča izkoristek končne količine izčrpane nafte od 8 do 16% in hkrati izboljšuje njen mobilnost transporta z zmanjšanjem medfazne napetosti in viskoznosti teže naftne faze.

1.1 Namen

Namen magistrske naloge je bila postavitev meritve naprave in razvoj nove metode merjenja površinske napetosti s kapilarnim dvigom dvofaznih sistemov v okolini kritične točke. Za pridobitev natančnih in primerljivih meritev je bilo potrebno poznati natančni notranji premer tankih kapilar. Določili smo ga z metodo laserskega tipanja na nemški koordinatni meritni napravi ZEISS tipa UMC – 850 s pomočjo meritne programske opreme CALYPSO 5.1.4. Rezultate z metodo laserskega tipanja smo primerjali s klasično metodo kapilarnega dviga, da smo ovrednotili njen natančnost. Za merjenje ravnotežne višine smo uporabili računalniški program Logger Pro, ki omogoča natančno analizo razdalj med dvema točkama z napako velikosti 0,01 mm. Gostote dvofaznih sistemov smo dobili iz podatkovne baze NIST ali jih izmerili s pomočjo gravimetrične metode jemanja vzorcev iz mešalnega avtoklava.

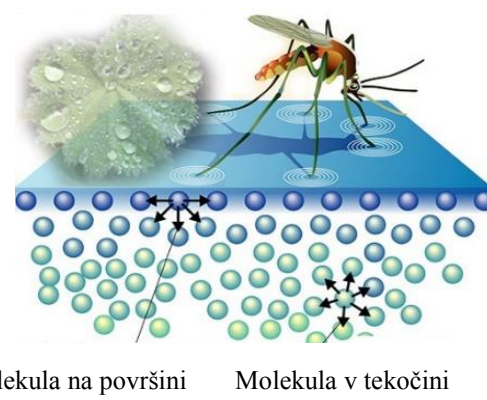
Površinsko napetost smo merili v treh dvofaznih sistemih: voda/CO₂, slanica/CO₂ in polimer PEG/CO₂. Metodo smo umerili v dvofaznem sistemu voda/CO₂ in jo primerjali z podatki iz literature. Zaradi možnosti skladiščenja toplogrednega plina CO₂ v slanico, smo v avtoklavu simulirali razmere, ki potekajo pri vbrizgavanju CO₂ v slane reke več kilometrov pod zemljo. Merili smo površinske napetosti dvofaznega sistema slanice/CO₂, saj je pomemben parameter pri kontroli tesnjena in trajnega ujetja CO₂. Obetavno postaja tudi procesiranje polimerov s SCF CO₂. Z namenom pridobitve še neraziskanih termodinamskih podatkov v okolini kritične točke smo izmerili površinsko napetosti sistema polimera PEG/CO₂.

2 Teoretični del

2.1 Površinska napetost

Površinska napetost je pojav, ki ga zasledimo pri tekočinah. Opišemo ga lahko s pomočjo delovanja kohezivnih sil, ki delujejo med molekulami. Te sile so šibke Van der Waalsove interakcije, ki nastanejo zaradi bližine molekul in so posledica elektrostatičnega privlaka oz. odboja, ki deluje v tekočini in na njeni površini. Ker imajo privlačnih sile veliko daljši razpon od odbojnih, te dominirajo (razen v primeru visokih tlakov).

V tekočini je rezultanta sil oziroma interakcij enaka nič, saj je molekula tekočine obdana s sosednimi molekulami, ki delujejo s silo iz vseh strani. Na površini tekočine pa je rezultanta sil usmerjena navzdol (pravokotno na gladino), saj je površinska molekula tekočine obdana z molekulami tekoče faze le od spodaj. Površinske molekule s silo težijo proti notranjosti tekočine in skušajo zmanjšati njen površino (težijo po manjši potencialni energiji) in so v povprečju rahlo bližje sosednjim molekulam, kot molekule globlje v tekočini. Posledica je elastična plast površinskih molekul, ki omogočajo nekaterim žuželkam hojo po vodi in močenje (kapilarnost) steklenih površin (slika 1) [6].



Slika 2-1 : Pogoj za nastanek površinske napetosti sta vedno dve površini z različno sestavo snovi (tekočina-zrak)

V kolikor želimo povečati gladino tekočine, moramo potegniti molekule tekočine iz njene notranjosti na površje, in pri tem opraviti delo [7]. Sorazmernostni koeficient med opravljenim delom (W) in povečanjem površine (A) je površinska napetost (γ):

$$W = \gamma \cdot \Delta A \quad (2.1)$$

Enota za površinsko napetost je J/m^2 ozziroma N/m . Z njo opisujemo lastnost stika med dvema snovema, ki sta medsebojno odvisna [7]. Pri povečanju površine (A) poteka prenos molekul iz mesta z nižjo potencialno energijo na mesto višje potencialne energije gladine, pri čemer se spreminja površinska energija tekočine (E), katere sprememba je enaka prejetemu delu (W). Ta dodatno povečana površina predstavlja novo zalogo površinske energije:

$$\Delta E = W = \gamma \cdot \Delta A \quad (2.2)$$

Učinek površinske energije si lahko razložimo pri razlitju nafte po morski gladini. Molekule nafte se namreč razširijo po morski gladini, da zmanjšajo površinsko napetost vode in s tem površinsko energijo. Stabilno ravnovesje tekočine je povezano z minimalno potencialno energijo, tekočina pa ima minimalno potencialno energijo, ko je njena površina najmanjša. Zato se v naravi kapljevine z majhno maso oblikujejo v kroglaste kaplje, saj ima krogla od vse teles najmanjšo prostornino.

Delovanje površinske napetosti lahko razložimo tudi tako, da tekočino obdamo s kovinsko zanko in jo na eni strani poljubno pomikamo naprej in nazaj. Za premik v razdalji dx potrebujemo silo, ki je potrebna zaradi delovanja površinske napetosti in je enaka produktu površinske napetosti in dolžine roba, na katerem deluje $F = \gamma l$ [7]. Ko se površina poveča za $dA = l dx$, opravi sila F delo $F \cdot dx$, ki je enako spremembi površinske energije tekočine:

$$\partial W = F \cdot dx = dE = l dx \quad \gamma = dA \cdot \gamma \quad (2.3)$$

Delo W je vključeno v izraz za prosto Gibbsovo energijo, saj je prosta energija merilo sistema za delo, ki je na voljo:

$$dG = -SdT + VdP + \gamma dA \quad (2.4)$$

Termodinamsko gledano, površinska napetost se interpretira kot prosta Gibbsova energija (G^S) na enoto površine (A) pri konstantnem tlaku (P) in temperaturi (T):

$$G^S = \left(\frac{\partial G}{\partial A} \right)_{T,P} = \gamma \quad (2.5)$$

2.1.1 Temperaturna odvisnost

Na osnovi eksperimentov je razvidno, da površinska napetost pri atmosferskem tlaku za večino tekočin pada linearno s povečanjem temperature do vrednosti kritične temperature (T_c), kjer fazna meja izgine in z njo površinska napetost (slika 2.2). Pri tem termična ekspanzija reducira gostoto tekočine in s tem tudi kohezivne sile na površju in v notranjosti tekoče faze [9]. Spremembo površinske napetosti s temperaturo lahko opišemo tudi z empirično enačbo 2.6:

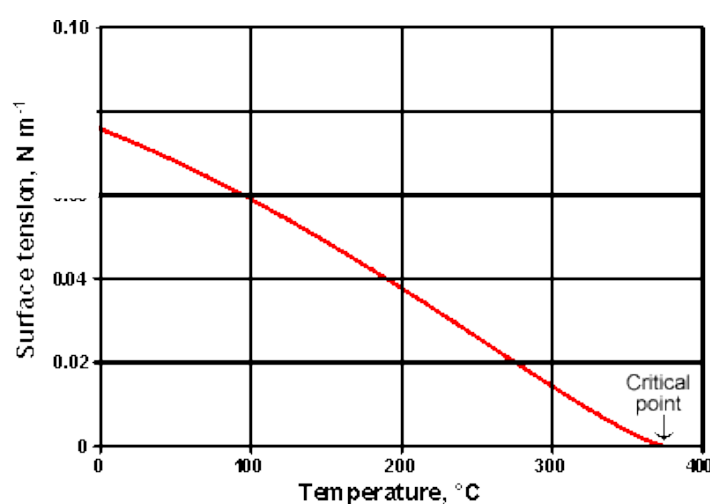
$$\gamma Vm^{2/3} = k (T_c - T) \quad (2.6)$$

Vm - molski volumen substance (Vm za vodo je 18 ml/mol),

k - konstanta ($2.1 \cdot 10^{-7}$ [J K⁻¹ mol^{-2/3}]),

T_c - kritična temperatura (T_c za vodo je 374 °C).

Voda ima pri 25 °C površinsko napetost $72 \cdot 10^{-3}$ N/m oziroma 72 mN/m, kar pomeni, da bi potrebovali silo 72 mN, da bi prekinil 1 m površinskega filma vode. Z višanjem temperature pri atmosferskem tlaku pa prihaja do efekta zmanjšanja sile, ki je potrebna za prekinitev površinskega filma vode. Zato se pri čiščenju uporablja topla voda, ki je boljše čistilno sredstvo od hladne vode, saj ima nižjo površinsko napetost in omogoča boljše močenje ter prehod molekul do nečistoč v pore in reže.



Slika 2-2: Pri kritični temperaturi vode (T_c) je njena površinska napetost enaka 0 [10]

2.1.2 Koncentracijska odvisnost

Površinska napetost je odvisna tudi od primesi in nečistoč, ki so v tekočini. Koncentracijsko odvisnost bomo opisali z enačbo (2.7) v binarnem sistemu topila (1) in topljenca (2) s presežno površinsko koncentracijo topljenca [11], [12] :

$$\Gamma = \frac{n_2^S}{A} \quad (2.7)$$

kjer n_2^S število molov topljenca blizu površine raztopine. Pozitivna vrednost presežne koncentracije topljenca nakazuje, da se topljenec nabira ob površini raztopine in obratno, kadar je vrednost Γ negativna se pa topilo nabira ob površini.



Slika 2-3 : Razporeditev molekul dveh različnih raztopinah [11]

Za nekatere enostavne elektrolite (NaCl) v vodnih raztopinah velja, da je $\Gamma < 0$, kar pomeni, da se molekule vode (topila) naberejo na površini in pritiskajo na molekule raztopine, kar privede do povečanja površinske napetosti. Po drugi strani pa lahko majhne polarne molekule, t.i. površinsko aktivne snovi (surfaktanti), ustvarjajo vodne sisteme, kjer je $\Gamma > 0$. V takem primeru tudi povečanje koncentracije raztopine (c) ne bo spremenilo presežne površinske koncentracije topljenca, spremenila se bo pa površinska napetost, saj bodo aktivne snovi zasedle mesta ob površini in zmanjšale njen površinsko energijo. Za razredčene binarne raztopine velja zveza (2.8):

$$\Gamma = - \frac{1}{RT} \left(\frac{\partial \gamma}{\partial \ln c} \right)_{T,P} \quad (2.8)$$

2.1.3 Odvisnost od vrste faznega stika

Površinska napetost je odvisna tudi od vrste stika med fazama, zato je pomembno razlikovati pojme površinska in medfazna napetost, ki se ju v literaturi pogosto zamenjuje. Izraz površinska napetost se običajno uporablja za opis faznih stikov, kjer je ena faza tekoča, druga pa plinska, izraz medfazna napetost pa v primeru stikov faz, kjer sta obe fazi tekoči. Od tod tudi dejstvo, da se vrednosti površinske in medfazne napetosti običajno med seboj zelo razlikujeta. Na primer površinska napetost vode proti zraku pri 20 °C je približno 73 mN/m, medtem ko je medfazna napetost vode proti benzenu pri enaki vrednosti temperature 35 mN/m. V starejši literaturi smo tudi opazili, da se za opisovanje napetosti med različnima fazama uporabljajo enote dyne/cm, ki so ekvivalentne mN/m [14].

Tabela 2-1: Fazne napetosti pri 20°C [15].

| Fazi (tekoče-plin) | Površinska napetost mN/m | Fazi (tekoče-tekoče) | Medfazna napetost mN/m |
|--------------------|-----------------------------|----------------------|---------------------------|
| voda-zrak | 72,75 | voda- benzen | 35,0 |
| metilen jodid-zrak | 67 | voda-etil acetat | 6,8 |
| benzen-zrak | 28,85 | voda-olje | 15,6 |
| propan. kis. -zrak | 26,69 | voda-heptanska kis. | 7,0 |
| kloroform-zrak | 26,67 | voda- kloroform | 31,6 |
| metanol-zrak | 22,50 | etanol-živo srebro | 389,0 |
| etanol-zrak | 21,55 | voda-etanol | 8,5 |
| živo srebro-zrak | 486,5 | voda-živo srebro | 415,0 |

2.1.4 Kapilarnost-močenje površine

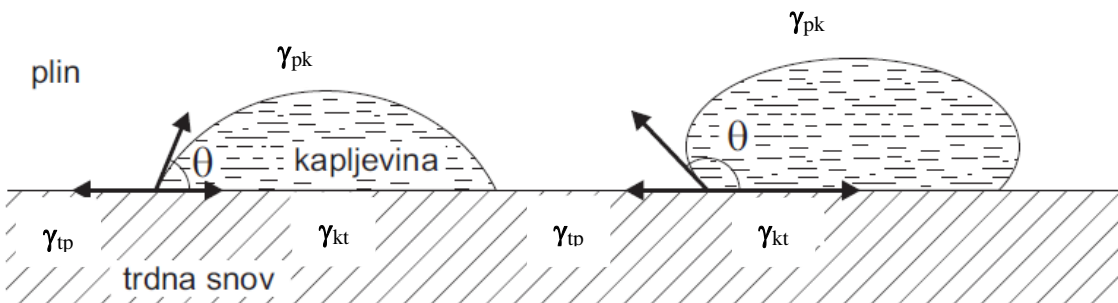
Kadar so adhezijske sile (posledica privlaka molekule tekočine na trdno snov) večje od kohezijskih sil (posledica delovanja sil med tekočinam), govorimo, da tekočina moči trdno površino. V tem primeru se voda na stekleni površini razleže in razmaže v tanek sloj, ob steni pa zakrivi navzgor ter začne dvigovati po steni navzgor. V kolikor pa je steklo namaščeno, se voda ne razlije po površini, ampak se ob steni kozarca zakrivi navzdol (voda ne moči mastnega stekla). Do podobnega pojava pride, ko stekleni površini izpostavimo živo srebro.

Če na gladki površini trdne snovi leži kapljica kapljevine, imamo tri različne mejne površine. Ko kapljica miruje, oklepa tangentna na gladino kapljice ob stiku s trdno snovjo kot močenja (ϕ). Ta kot je odvisen od površinskih napetosti med plinom in kapljevinom (γ_{pk}), med kapljevinom in trdno snovjo (γ_{kt}) ter med trdno snovjo in plinom (γ_{tp}). Rob kapljevine se ne pomika v vodoravni smeri ploskve, zato je vsota vseh površinskih sil, ki delujejo nanj, enaka nič [7]:

$$\gamma_{pk} = \gamma_{kt} + \gamma_{tp} \cos(\phi) \quad (9)$$

$$\cos(\phi) = (\gamma_{tp} - \gamma_{kt}) / \gamma_{pk} \quad (10)$$

Kapljevina moči trdnino, če je $(\phi) < 90^\circ$ oz. $\cos(\phi) > 0$, kar se zgodi, če je površinska napetost med kapljevinom in trdnino večja, od površinske napetosti med plinom in tekočino ($\gamma_{tp} > \gamma_{kt}$). Dve fazji, sta tem raje skupaj (se močita), čim manjša je njuna skupna površinska energija, oziroma površinska napetost [7]:



Slika 2-4: Kot močenja tekočine-plina-trdnine. a) hidrofilna površina: kapljevina moči površino, saj je $(\phi) < 90^\circ$ (b) hidrofobna površina: kapljevina ne moči površine $(\phi) > 90^\circ$

2.1.5 Uporaba v industriji

Poznavanje faznega stika je pomembno v številnih vejah industrijah, saj omogoča razumevanje fizikalno-kemijskih lastnosti materialov, kemikalij in fluidov v procesnih tokovih. Spodaj so navedene najpogostejše uporabe površinske napetosti v industriji.

a) Naftna industrija

Naftna industrija se zanima za številne podatke površinskih napetosti n-alkanov pri visokih tlakih, saj ima njihovo poznavanje pomembno vlogo pri transportu in predelavi nafte ter plina. Za izboljšanje in povečanje izčrpane količine nafte, se pri ekstrakciji surove nafte dodajajo biološke aktivne snovi, ki zmanjšajo napetosti med fazama nafte in geološkega rezervoarja in posledično omogočijo boljši pretok nafte [16].

b) Industrija premazov in barv

Pri barvanju oziroma impregnaciji površin, mora biti površinska napetost skrbno vzdrževana, da dobimo konstantno debelino. Prav tako je potrebno poznavati površinsko napetost pri tiskanju, da se barva ne razlije, oziroma, da se na podlagi dovolj hitro posuši [17][18].



Slika 2-5: Površinsko aktivne snovi se dodajajo barvilom in črnilom za izboljšanje njihovih lastnosti z zniževanjem površinske napetosti ter v naftni industriji za povečanje izkoristka izčrpane količine nafte [19].

c) Industrija detergentov in pralnih praškov

Razvoj detergentov in pralnih praškov je tesno povezan s poznavanjem površinske napetosti vode. Njihov dodatek v vodo poveča učinek čiščenja oblačil z znižanjem površinske napetosti vode, tako da se ta lažje vpije v pore in umazana območja. Zanimive so tudi najnovejše modifikacije in plemenitenje površin vlaknin, kjer je pomembna površinska prosta energija, ki kvantitativno opiše površinske lastnosti vlaken s površinsko prosto energijo, iz katere sklepamo na omočljivost vlaken [20] [21].

d) Kemijska industrija

Površinska napetost in poznavanje faznega stika je pomembna za številne aplikacije ter različne smeri v kemijski procesni industriji, saj je neposredni indikator delovanja, kakovosti in čistosti katerekoli procesnega toka. Poznavanje napetosti med fazama je posebej pomembno pri modeliranju konvencionalnih in superkritičnih ekstrakcij, ter tudi drugih aplikacij z uporabo SFC.

e) Farmacevtska industrija

Fenomen medfaznega stika je pomembna fizikalno-kemijska lastnost v farmacevtski industriji pri razvoju novih miroemulzij, tablet, kapljic za oči in naprednih lahkih materialov aerogelov [22][23].



Slika 2-6: S sušenjem aerogelov povzročimo zmanjšanje površinske napetosti [23]

2.2 Merjenje površinske in medfazne napetosti

Poznamo različne metode merjenja površinske in medfazne napetosti. Njihova natančnost in ponovljivost se je v zadnjih letih močno povečala, predvsem zaradi uporabe modernih elektronskih naprav in računalnikov. Najpogosteje tehnike merjenja površinske in medfazne napetosti so: metoda kapilarnega dviga (*capillary rise method (CR)*), merjenje viseče kapljice. (*pendant drop method (PD)*), merjenje volumna po dinamični metodi (*drop volume*), merjenje kontaktnega kota kapljice (*Sessile drop method*), Wilhelmyjeva plošča (*Wilhelmyjeva plate*), du Noüyev obroč (*du Noüyev ring*), maksimalni tlak mehurčka (*Maximum bubble pressure*) in metoda pronicanja tekočine (Washburn method).

Tabela 2-2: Primerjava natančnosti in primernosti klasičnih metod merjenja γ [24].

| <i>Metoda</i> | <i>Natančnost (mN/M)</i> | <i>Primerna za mešanice</i> | <i>Primerna za raztopine z surfaktantom</i> | <i>Primerna za viskozne tekočine</i> | <i>Primerna za raztopljeni kovine</i> |
|---------------------------------|------------------------------|---------------------------------|---|--|---|
| <i>kapilarni dvig (CR)</i> | $<<0,1$ | zelo dobra | zelo dobra | ni priporočeno | ni priporočeno |
| <i>viseča kapljica (PD)</i> | $\approx 0,1$ | zelo dobra | zelo dobra | ni priporočeno | da |
| <i>volumen kapljic</i> | 0,1-0,2 | dobra | omejeno | ni priporočeno | da |
| <i>kontaktni kot kaplic</i> | $\approx 0,1$ | zelo dobra | dobra | zelo dobra | da |
| <i>Wilhelmyjeva plošča</i> | $\approx 0,1$ | dobra | omejno | zelo dobra | ni priporočeno |
| <i>du Noüyev obroč</i> | $\approx 0,1$ | dobra | omejeno | ni priporočeno | ni priporočeno |

Iz tabele vidimo, da se natančnost in primernost klasičnih metod razlikuje med seboj, zato je smiselno izbrati takšno, ki je najbolj primerna za dosego naših ciljnih meritev. Za nas sta zanimivi metodi kapilarnega dviga (CR) in viseče kapljice (PD), saj se najpogosteje uporablja pri meritvah pri visokih tlakih in temperaturah. Princip obeh metod je podrobneje predstavljen v nadaljevanju.

2.2.1 Kapilarni dvig

Kapilarni dvig je posledica delovanja površinske napetosti. Če kapilaro (majhno cevko) s polmerom r , ki je na obeh koncih odprta, potopimo v tekočino na poljubni strani, se tekočina v cevki povzpne do ravnotežne višine h . Ravnotežje se vzpostavi, ko je sila teže tekočine v kapilarni enaka sili površinske napetosti. Gladina tekočine v tem primeru moči notranjo površino stekla kapilare, kot močenja je ϕ . Zakrivljena gladina tekočine se imenuje meniskus in ima kroglasto obliko [26]. Tlak na notranji strani zakrivljene površine je večji od tlaka na zunanjji strani. Površinska napetost je posledica razlike tlakov Δp , ki je večja, če je površinska napetost med fazama večja in če je površina bolj zakrivljena.

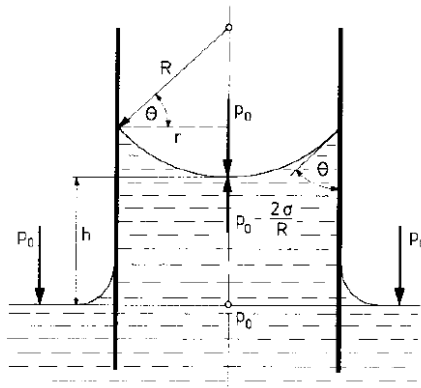
Za lažje razumevanje zveze med γ in h si predstavljajo mehurček okroglo oblike s polmerom r , ki je enak polmeru meniskusa v kapilare. Če mehurček povečamo za dr , se poveča površina mehurčka ($A = 4\pi r^2$), za $dA = 8\pi r dr$, njegova prostornina ($V = 4\pi r^3 / 3$), pa za $dV = 4\pi r^2 dr$. Za povečanje površine mehurčka je potrebno delo ($W = \gamma \cdot dA = \gamma \cdot 8\pi r dr$), za povečanje volumna mehurčka pa ekspanzijsko delo ($W = 4\pi r^2 dr \Delta p$). Z izenačitvijo dela potrebnega za povečanje površine in volumna mehurčka dobimo Laplaceovo enačbo, ki podaja mehansko ravnotežje razlike tlakov, zaradi zakrivljene površine okroglega mehurčka:

$$\Delta p = \frac{2\gamma}{r} \quad (2.11)$$

Zakrivljena gladina tekočine (meniskus) ima torej kroglasto obliko s polmerom r , ki je enak polmeru kapilare $R = r/\cos \phi$. Tik nad zakrivljeno gladino tekočine je tlak enak zunanjemu zračnemu tlaku p_0 , tik pod zakrivljeno gladino pa $p_0 - 2\gamma / R$ (glej sliko 2.7). Na dnu dvignjenega stolpca tekočine je tlak za $\rho g h$ večji kot na vrhu in znaša $p_0 - 2\gamma/R + \rho g h$, ki mora biti enak zunanjemu zračnemu tlaku p_0 , ki je na enaki višini pritiska na ravnino okoliške tekočine $p_0 - 2\gamma/R + \rho g h = p_0$ [8]. Po preoblikovanju sledi:

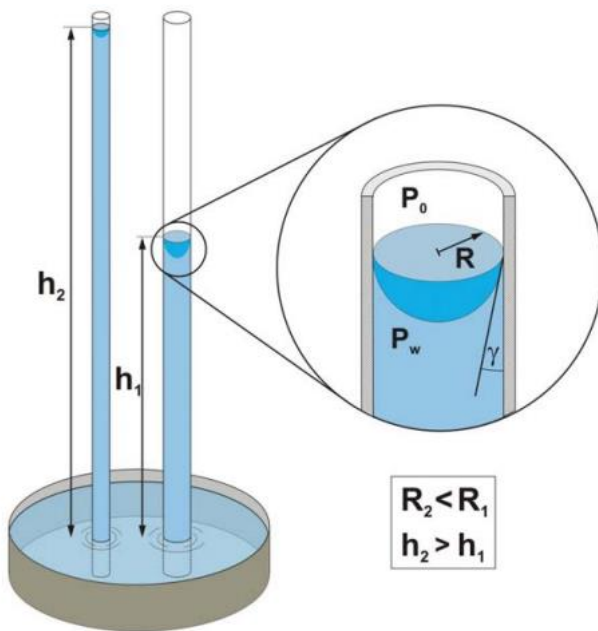
$$h = \frac{2\gamma}{\Delta\rho g R} = \frac{2\gamma \cos(\phi)}{\Delta\rho g r} \quad (2.12)$$

$$\gamma = \frac{\Delta\rho h g r}{2 \cos \phi} \quad (2.13)$$



Slika 2-7: Meniskus kapilare[8]

Manjši polmer cevi (r) daje večji kapilarni dvig (h) in posledično natančnejšo meritev, (slika 7) Za zagotovitev natančnih in ponovljivih meritev po enačbi (2.13) je potrebno upoštevati razmerje: $r / h \leq 1$. Kontaktni kot pri meniskusu lahko v večini vodnih raztopin poenostavimo, da popolnoma omogoči stekleno površino $\phi = 0$ (pod pogojem, da je temeljito čista). Uporabljajo se večinoma steklene cevke z gladko površino, ki omogočajo dobro vidljivost in posledično natančno merjenje višine dviga tekočine.



Slika 2-8: Ravnotežna višina kapilarnega dviga je odvisna od polmera kapilare (večji polmer pomeni manjši kapilarni dvig, in obratno). Tlak na strani vode P_w je nižji od atmosferskega tlaka P_0 , kar povzroči, da meniskus vode naraste do ravnotežne višine [25].

2.2.1.1 Korelacija enačbe površinske napetosti

Ker gre za zelo staro in dobro poznano tehniko merjenja, so bile do sedaj predlagane številne korekcije enačbe (13), vendar ta zajema samo težo tekočine pod vrhom meniskusa, ne pa tudi teže tekočine v meniskusu (temno modra regija meniskusa na sliki 1.3-2). Prvo in enostavno rešitev s korelacijo z implementacijo polinomske širitve, ki predstavlja odlično rešitev je podal leta 1915 lord Rayleigh [26]:

$$\gamma = \frac{r\Delta\rho}{2} \cdot \left(h + \frac{r}{3} + \frac{0,1288r^2}{3} + \frac{0,1288r^3}{3} + \dots \right) \quad (2.14)$$

Z merjenjem višine h , s poznavanjem notranjega polmera kapilare r in razlike gostote $\Delta\rho$ je mogoče rešiti enačbo. Dokaj natančno rešitev dobimo že, če upoštevamo samo prvi člen polinoma, ostale pa zanemarimo (enačba 2.15).

$$\gamma = \frac{r\Delta\rho}{2} \cdot \left(h + \frac{r}{3} \right) \quad (2.15)$$

h - kapilarni višina (m)

r - notranji radij (m)

g - gravitacijska konstanta ($9,81 \text{ m/s}^2$)

$\Delta\rho$ - razlika gostot teže in lažje faze binarnega sistema določena (kg/m^3)

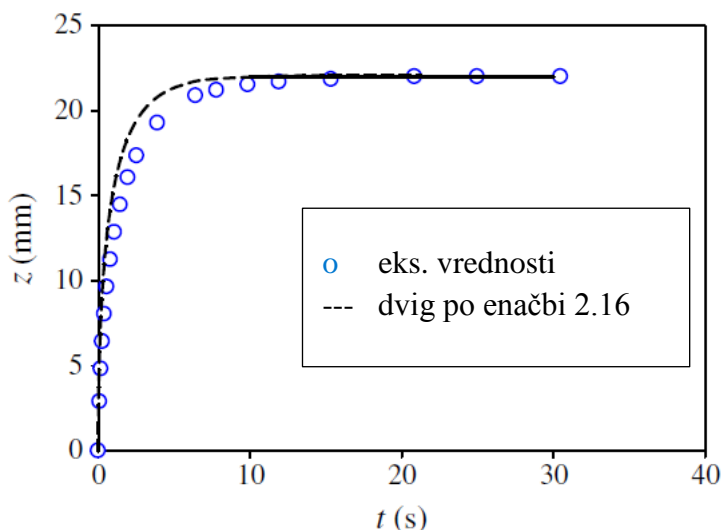
2.2.1.2 Dinamika kapilarnega dviga

Poznavanje časa, ko se vzpostavi ravnotežje v kapilari je ključnega pomena za natančne in ponovljive meritve s kapilarno metodo. Prav tako pomembno je tudi poznavanje hitrosti kapilarnega dviga tekočine po času, ki ima pogosto znatni pomen v naravi in številnih industrijskih procesih. Zato so številni avtorji razvili matematične modele, s katerimi lahko računsko določimo spremenjanje kapilarne višine tekočine po času [28][29][30].

Ko se dno kapilare polmera r dotakne tekočine, pride steklena površina v stik s površinsko napetostjo (γ_i), gostoto (ρ) in dinamičnostjo viskoznostjo (μ) tekočine, ki začne močiti površino znotraj steklene kapilare s kotom močenja (ϕ) in posledično naraščati v navpični smeri sprva hitro, nato počasneje. Potrebi čas (t) za dosego ravnotežne višine, se lahko aproksimira z Lucas-Washburnovo enačbo [29]:

$$t = \frac{-128 \cdot \gamma_i \cdot \mu}{\rho^2 g^2 r^3} \left[\frac{\rho gr}{4\gamma_i} + \cos\phi \cdot \left(1 - \frac{\rho gr}{4\gamma_i \cos\phi} \right) \right] \quad (2.16)$$

Iz enačbe vidimo, da je čas vzpostavljanja ravnotežne višine odvisen tudi od viskoznosti tekočine. Večja viskoznost se kaže v nekoliko daljšem času vzpostavljanja ravnotežne višine. Slika 9 prikazuje primerjavo izračunanega kapilarnega dviga po enačbi (2.16) z eksperimentalnimi vrednostmi za spojino eltilen glikol z dinamično viskoznostjo 20mPas v stekleni kapilari notranjega premera 8 mm.



Slika 2-9: Primerjava izračunanega kapilarnega dviga z eksperimentalnimi vrednostmi za etilen glikol [29].

2.3 Merjenje dimenzijske kapljice (PD)

Številne metode merjenja površinske napetosti slonijo na analizi geometrije kapljice, med njimi tudi metoda viseče kapljice. Za nas je zanimiva, saj smo jo primerjali z metodo kapilarnega dviga, z namenom pridobitve podatkov primerljivosti med različnima metodama.

Princip merjenja in določevanja parametrov je dokaj enostaven. Iz kapilarne igle se izloči majhna količina tekočine, ki tvori visečo kapljico določenih dimenzij iz katerih se lahko simultano določi površinsko napetost in gostoto. Pod mikroskopom se analizira maksimalni premer (de) kapljice v horizontalni ravnini in manjši premer (ds) na mestu, ki je od roba največje oddaljenosti od igle v razdalji de (glej sliko 2.10). Tako kot številne druge tehnike tudi ta tehnika zahteva, za natančne in ponovljive rezultate, izjemo čistočo sistema. Igla na kateri visi kapljica je narejena iz nerjavnečega jekla ali stekla, ki se ga da relativno enostavno čistiti. Priporoča se uporaba igle velikost premera manjše od 0,5 D. Površinska napetost se določi z enačbo (2.17) [24]:

$$\gamma = \frac{\Delta \rho g D^2}{H}, \quad (2.17)$$

Kjer je H korekcijski faktor odvisen od vrednosti dimenzijskega faktorja $S = d/D$. Podatki odvisnosti parametra H od faktorja S so podrobno raziskani in zajeti v literaturi. Vrednost parametra $1/H$ se določijo z uporabno empirične enačbe :

$$\frac{1}{H} = \frac{B_4}{S^a} + B_3 S^3 - B_2 S^2 + B_1 - B_0 \quad (2.18)$$

Bi ($i = 0,1,2,3,4$) in a so empirične vrednosti za določen odsek dimenzijskega faktorja S.



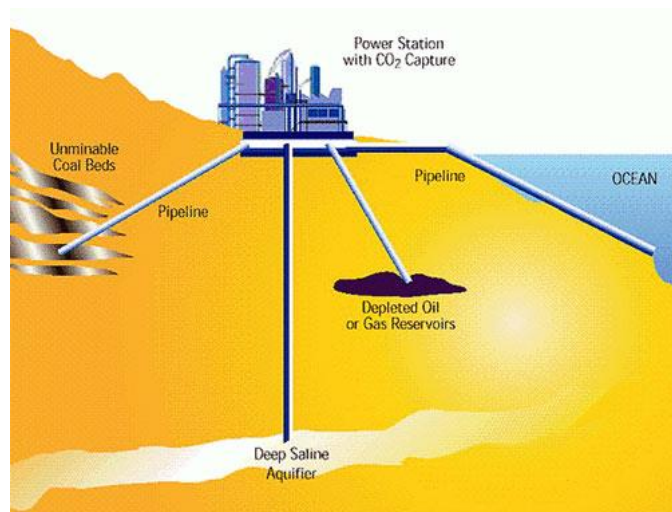
Slika 2-10: Z merjenjem dimenzijske kapljice do vrednosti površinske napetosti [31].

2.4 Površinska napetost in skladiščenje CO₂ v slanico

Vse od začetka industrijske dobe je naš svet odvisen od fosilnih goriv, zato ne preseneča, da bo prehod v družbo, ki bo temeljila na okolju prijaznih energetskih virih, zahteval čas in denar. Ena kratkoročna rešitev, ki bo zmanjšala onesnaženost ozračja zaradi uporabe enormnih količin fosilnih goriv je ustvariti zaprto zanko, kjer ogljik, ki smo ga v obliki plina, nafte ali premoga vzeli iz tal, vračamo nazaj v obliki CO₂. Prav zaradi obetavne možnosti reševanja okolja je skladiščenja CO₂ tema številnih svetovnih raziskav [26-30].

Poznavanje površinske napetosti med fazama slane vode in plina CO₂ je ključnega pomeni pri kontroli tesnjena in ujetje CO₂ v slanih vodonosnikih v geološki formaciji. Pri čemer je merjenje napetosti stika med fazama slane vode in plina CO₂ težavna naloga, ki ne zajema samo visokih tlakov, ki so prisotni več kilometrov pod zemljo, ampak mora zajeti tudi korozionsko odporne materiale, posebej v primeru visokih koncentracij soli v vodi in ob prisotnosti raztopljenih kislih plinov.

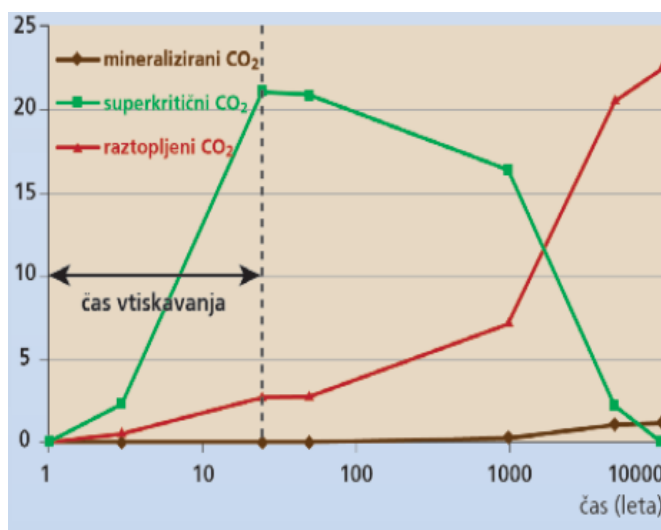
Zanimiva iz praktičnih vidikov je tudi možnost vbrizgavanja odpadnega komprimiranega CO₂ namesto vode v izčrpane naravne rezervoarje nafte, kar poveča izkoristek končne količine izčrpane nafte za 8 do 16% in hkrati izboljšuje mobilnost transporta z zmanjšanjem medfazne napetosti in viskoznosti teže naftne faze.



Slika 2-11: Vtiskanje CO₂ lahko poteka v geološke rezervoarje pod superkritičnimi pogoji [35].

Za skladiščenje je kot prvo potrebno najti primerno geološko formacijo, ki je dovolj velika in ne prepušča CO₂. Ocenjujejo, da so vodonosniki s slano vodo največji potencial za geološko skladiščenje CO₂ na svetu. Če v porozno in prepustno plast, v kateri je slana voda, injiciramo CO₂, se bo del tega raztopil v slani vodi in razširil v vodonosniku, del pa bo reagiral s kamnino in ostal tam trajno vezan. Najprimernejši so vodonosniki v globini, večji kot 800 m, ker je pri tlaku v takšni globini CO₂ utekočinjen in ga lahko uskladiščimo večjo količino [31].

Pri vtisku CO₂ v skladiščno plast slanice se sprožijo štirje mehanizmi, ki potekajo v različnih časovnih okvirih in pripomorejo k trajnemu ujetju CO₂ (slika 2.12). Prvi in najpomembnejši je akumulacija pod tesnilno geološko plastjo, ki zadrži uhajanje CO₂, saj se ta zaradi nižje gostote od slane vode začne dvigovati vse do tesnilne plasti (običajno glina ali kamena sol) Drugi mehanizem je imobilizacija v majhne pore, ki se pojavi med migracijo CO₂, ko so pore tako majhne, da se CO₂ ne more več dvigovati. Tretji in četrти mehanizem sta razmeroma počasna. Pri tretjem gre za ujetje z raztopljanjem, kjer se CO₂ začne raztopljalati v porah s slano vodo. Pri četrtem pa gre za ujetje z mineralizacijo, kjer CO₂ v kombinaciji s slanicami reagira z minerali iz kamnin in ostane trajno ujet [31].

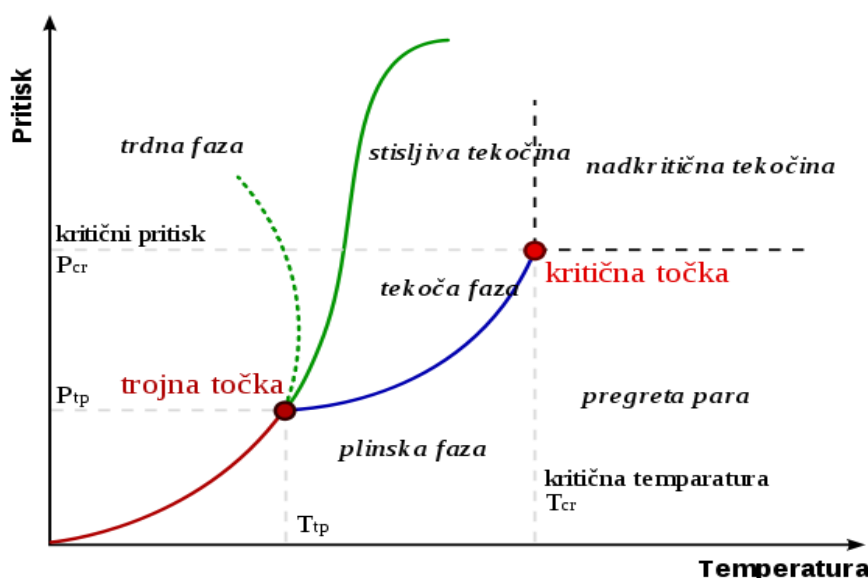


Slika 2-12: Pri vtisku CO₂ v skladiščno plast slanice se sprožijo štiri mehanizmi, ki potekajo v različnih časovnih okvirih: Prvi in najpomembnejši je akumulacija SCF CO₂ v geološki plasti in drugi imobilizacija v majhne pore (zelena), tretji ujetje z raztopljanjem CO₂ v porah s slano vodo (rdeče) in četrti ujetje v kamninah (rjava) [36].

2.5 Superkritični fluidi

Superkritičnih fluidov (SCF) v naravi praktično ni, nahajajo se le v ekstremnih razmerah ob delujočih podvodnih vulkanih, ki ležijo globoko pod morskim dnem, kjer visok tlak in temperatura omogoča nastanek superkritične vode. Prav tako se pojavljajo v atmosferah nekaterih planetov, v in izven našega osončja (npr. v atmosferi Venere, ki sestoji pretežno iz superkritičnega CO_2). Po drugi strani, pa se SCF vedno pogosteje omenjajo kot ključni del trajnostnega razvoja, zaradi številnih lastnosti na raziskovalnem in industrijskem področju razvoja novih »zelenih« tehnologij, ki zmanjšujejo uporabo navadnih separacijskih metod in procesiranja materialov z nevarnimi kemikalijami in topili [32].

Za lažjo razumevanje nastanka SCF bomo podrobnejše predstavili fazni diagram, ki prikazuje soobstoj različnih agregatnih stanj (slika 2.13). V trojni točki obstaja komponenta v treh agregatnih stanjih: trdnem, plinastem in tekočem. Nad trojno točko je z modro barvo predstavljena izparilna krivulja, kjer sta v ravnotežju tekoča in plinasta faza. Z višanjem tlaka in temperature vzdolž izparilne krivulje se gostota tekoče faze zmanjšuje, zaradi zvišanja temperature, gostota plinaste faze pa povečuje zaradi povečanja tlaka. V določeni točki se zaradi izenačitve razlik med tekočino (kapljevino) in plinom, izparilna krivulja konča. Ta točka se imenuje kritična točka, nad katero nastane nova nadkritična (superkritična) faza s komponento (topilom), ki jo pravimo superkritični fluid.



Slika 2-13: Tri daljice delijo diagram v odvisnosti tlaka od temperature na tri področja: trdno, plinasti in tekoče. Območje SCF komponente (topila) se nahaja nad njeno kritično temperaturo (T_c) in tlakom (P_c) [33].

2.5.1 Lastnosti superkritičnih tekočin

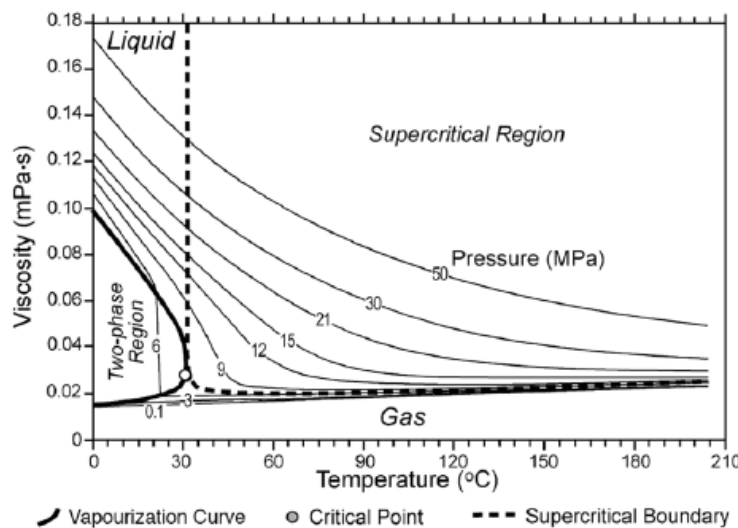
SCF imajo lastnosti plinov in tekočin. Podobno kot tekočine lahko raztopljujo različne snovi, podobno kot plini pa lahko difundirajo skozi trdne snovi. Posebne so tudi druge lastnosti, kot so gostota, topnost, viskoznost, površinska napetost ter prenos toplote in snovi. Primerjavo gostote, difuzivnosti in dinamične viskoznosti prikazuje tabela 4.

Tabela 2-3: Red velikosti fizikalnih veličin [34]

| Veličina | Plin | Superkrit. fluid | Tekočina |
|---|-----------|------------------|--------------|
| D ($\text{m}^2 \text{s}^{-1}$) | 10^{-4} | 10^{-7} | $5*10^{-10}$ |
| η ($\text{kg m}^{-1} \text{s}^{-1}$) | 10^{-5} | 10^{-5} | 10^{-3} |
| ρ (kg / m^3) | 1 | $0,3*10^3$ | 10^3 |

Difuzivnost superkritičnih floudov je med vrednostmi, ki so značilne tako za pline kot za tekočine. Difuzijski koeficienti superkritičnih fluidov pri konstantni temperaturi padajo z naraščajočim tlakom, po drugi strani pa z naraščajočo temperaturo pri konstantnem tlaku tudi naraščajo [45].

Viskoznost vpliva na transportne lastnosti fluida. Manjša kot je viskoznost in s tem površinska napetost, boljše so transportne lastnosti fluida. Na viskoznost močno vpliva sprememba tlaka. V območju visokih tlakov velja, da se viskoznost močno poveča pri tlakih višjih od kritičnega, pri nižjih tlakih pa je trend skoraj konstanten [45] [46].

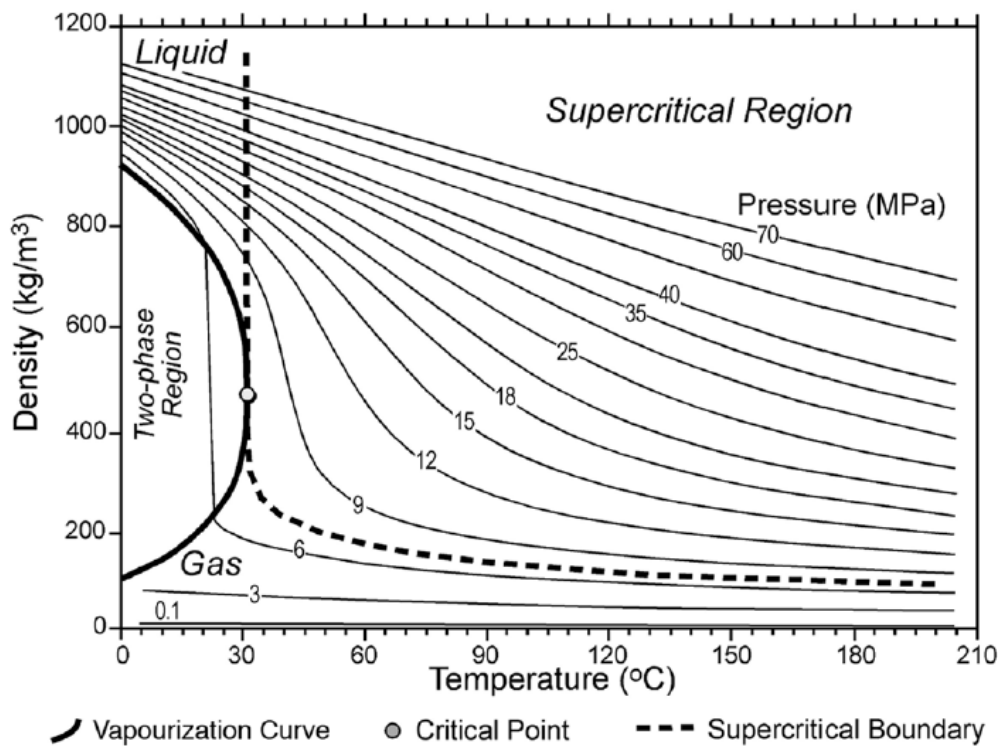


Slika 2-14: Viskoznost superkritičnega CO₂ je približno istega razreda kot je plinska faza CO₂ [46].

2.5.1.1 Gostota in topnost

SCF imajo gostoto med tekočino in plinom, vrednosti so bližje tekočinam. V superkrtičnem območju se gostota SCF vidno poveča s povečanjem tlaka pri konstantni temperaturi, saj se zmanjša razdalja med molekulami. Vpliv temperature pri konstantnem tlaku je na gostoto opazno manjši.

Pomembna lastnost SCF, ki se pogosto v industrijskih aplikacijah uporablja ko topilo je sposobnost povečanja topnosti snovi s spremembou (večanjem) gostote. Z majhno spremembou tlaka in temperature v bližini kritične točke lahko vplivamo na povečanje gostote in s tem na večjo topnost snovi, saj se z naraščajočo gostoto povečujejo interakcije med topilom in topljencem. Topnost je odvisna od vrste topila in vrste snovi, ki jo raztapljam, zato je poznavanje vseh elementov bistvenega pomena pri številnih superkrtičnih ekstrakcijah (SCE) [34].



Slika 2-15: Gostota CO_2 se v bližini kritične točke močno spremeni, kar ugodno vpliva na topnost številnih snovi [40].

2.5.1.2 Polarnost

Položaj kritične točke na faznem diagramu (slika 2-13) je odvisna tudi od molekulske strukture spojin. Polarne spojine (voda, metanol, amonijak) imajo v primerjavi z nepolarnimi spojinami (ogljikov dioksid, etan, propan) dosti višjo kritično točko (kjer se meja med tekočino in plinom popolnoma zbriše), saj so povezane z močnejšimi vodikovimi vezmi (glej tabelo 4) [41].

Tabela 2-4 : Vrednost kritičnih vrednosti v odvisnosti od strukture spojine [36].

| | $T_c / (K)$ | $P_c / (MPa)$ | Vodikova vez. |
|------------------|-------------|---------------|---------------|
| Ogljikov dioksid | 304 | 7,4 | ne |
| Etan | 305 | 4,9 | ne |
| Propan | 370 | 4,3 | ne |
| voda | 647 | 22,1 | da |
| amonijak | 406 | 11,4 | da |

2.5.1.3 Lastnosti CO₂ kot SFC v industrijskih aplikacijah

Prednosti uporabe superkritičnega CO₂ so številne. Je cenovno ugoden in dostopen v dokaj čisti obliki, je nereaktiv in ni toksičen. Večinoma je dobljen iz odpadnih procesnih tokov (predvsem pri proizvodnji rastlinskih gnojil). Uporablja se kot topilo, ki je okolju prijazno. Ker ima nizko kritično temperaturo ($T_c = 31 ^\circ C$) in tlak ($P_c = 74$ bar), zmanjša porabo energije v industriji in je bolj ekonomičen kot drugi SCF. CO₂ velja za selektivno topilo, saj razaplja nepolarne, hidrofobne spojine (na primer lipide, rastlinska olja, maščobe in ogljikovodike). Ne razaplja pa hidrofilnih spojin (proteinov, nekaterih mineralov, soli in kovin). Njegova moč razapljanja hidrofilnih spojin se lahko spremeni z dodatkom organskega topila, sotopila- v glavnem se kot sotopilo izbere alkohol, ester ali keton s kratko stransko verigo (običajno etanol) [43].

2.5.2 Uporaba SCF

SCF se v industriji najpogosteje uporablja pri ekstrakcijah, saj so zaradi večje topnosti izkoristki ekstrakcije zelo visoki. Iz končnega produkta ga zlahka odstranimo [44][45]. (Primer je ekstrakcija kofeina iz kave ali čaja s SCF CO₂).

Kromatografija s SCF

Kromatografija s SCF je med kromatografijami po uporabi takoj za plinsko kromatografijo (GS) in tekočinske kromatografije visoke ločljivosti (HPLC). Združuje pozitivne lastnosti tako plinske kot tekočinske kromatografije, saj se lahko uporabi za analizo nehlapnih, termično neobstojnih analitov. V praksi se, zaradi visokih stroškov obratovanja uporablja večinoma v farmacevtske namene, kjer je potrebna velika čistost produkta.

Superkritično sušenje

Zanimivo je tudi superkritično sušenje, kjer ni negativnih učinkov površinske napetosti, ki povzroča krčenje materiala pri sušenju tekočine, saj vleče majhne strukture navlaženega materiala. Pod kritičnimi pogoji pa ni površinske napetosti in se lahko tekočino odstrani brez deformacij materiala. Povečini se uporablja za pripravo aerogelov (snov podobna gelu, v kateri tekočinsko sestavino zamenja plin) in sušenje občutljivih materialov.

Ostala področja

Poleg naštetega se še uporablja za proizvodnjo električne energije, kot toplotne črpalke, pri proizvodnji biodizla, pri kemičnem čiščenju, pri tvorbi nano/mikro delcev, spremembo kinetike reakcij itd...

Predvsem zaradi zanimive možnosti procesiranja polimerov s SCF, bomo v nadaljevanju predstavili lastnosti pogosto uporabljenega polimera polietilen glikola (PEG). Specifične interakcije med superkritični fluidi in polimerov privedejo do številnih zanimivih lastnosti. Večina polimerov nabrekne s dodatkom SFC, ki delujejo kot mehčala tako, da močno zmanjšajo polimerno temperaturo steklenega prehoda, omogočijo enostavnejši vdor v material (impregnacija), privedejo do morfoloških sprememb (predenje vlaken) itd.

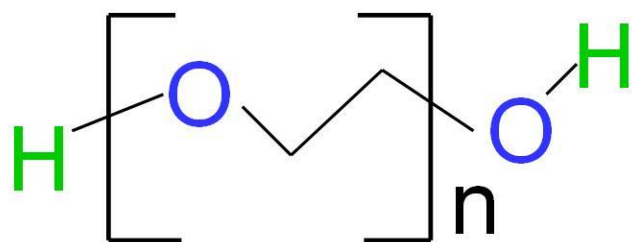
2.6 Polimeri

Polimeri (gr. Poly - mnogo, meros - delec) so sestavljeni iz makromolekul, ki so nastale z združevanjem (polimerizacijo) številnih manjših molekul (monomer). Monomere so lahko enake ali pa sestavljene iz dveh ali več različnih spojin. Polimere se sintetizira glede na zgradbo monomer z dvema postopkoma. Prvi je adicijska polimerizacija, kjer se združujejo majhne nenasičene molekule, drugi postopek pa je kondenzacijska polimerizacija, kjer se združijo majhne nasičene molekule, pri tem pa se mora odcepiti manjša molekula. Poleg sinteze novih polimerov je zanimivo tudi njihovo procesiranje. V industrija premazov in farmacevtski industriji se uporablajo praškasti fini delci polimerov, ki jih lahko ekonomično in okolju prijazno oblikujemo z uporabo visokotlačnih metod s SFC.

Polimeri so izredno pomembni materiali, saj imajo edinstvene lastnosti: visoko natezno trdnost, so plastično raztegljivi, so relativno lahki in visoko viskozni kot taline ter trdnine. Intenzivno se uporablajo v tekstilni industriji, medicinskih pripomočkih, informacijski tehnologiji itd. Eden od bolj pogosto uporabljenih polimerov je polietilen glikol [47].

2.6.1 Polietilen glikol

Polietilen glikol (PEG) je sintetični polimer, ki ga izdelujejo iz etilen glikola (etan-1,2-diola), s pomočjo alkalnega katalizatorja. Ko je željena molekulska masa dosežena (kontrolira se jo z merjenjem viskoznosti), se reakcija zaključi z nevtralizacijo s kislim katalizatorjem, običajno ocetno kislino. Rezultat je enostavna kemična struktura: HO-[CH₂-CH₂-O]_n-H, kjer n predstavlja število enot etilen glikola, vsebovanih v PEG polimeru (slika) [48].



Slika 2-16: Kemična struktura polietilen glikola (PEG) [49].

Polimeri PEG so netoksični, brez vonja in barve in spadajo med inertne snovi (ne reagirajo z ostalimi materiali). Karakteristike in lastnosti PEG so močno odvisne od velikosti molske mase polimera PEG. Tako je PEG z molsko maso do 400 pri sobnih pogojih brezbarvna tekočina, medtem ko je PEG 600 že bolj viskozna tekočina. Med molsko maso 800 do 2000 g/mol najdemo PEG v obliki paste, ki ima nizko točko taljenja, nad molsko maso 3000 g/mol pa v trdni obliki. PEG so topni v številnih organskih topilih (benzen, etanol, kloroform, acetonu, metilen klorid) kot tudi v vodi, vendar topnost pada z višanjem molske mase polimera (glej tabelo) [52].

Tabela 2-5: Karakteristike in lastnosti PEG [53].

| | PEG 200 | PEG 400 | PEG 600 | PEG 1000 | PEG 10000 | PEG 35000 |
|--------------------------|---------|---------|---------|----------|-----------|-----------|
| Gostota pri 20°C (g/cm³) | 1,12 | 1,13 | 1,13 | 1,13 | 1,2 | 1,2 |
| Tališče (°C) | -50 | 4-8 | 17-22 | 35-40 | 55-60 | 60+ |
| Topnost v vodi (g/100g) | popolna | popolna | popolna | 75 | 53 | 50 |

Zaradi ustreznih fizioloških lastnosti ga množično uporablja farmacevtska in kozmetična industrija kot: mazivo, topilo in dispergirano sredstvo. Prav tako se uporablja za ustvarjanje visokih osmotskih tlakov v vodnih sistemih, je osnova pripenjanja kozmetičnih krem ter je dodan v kombinaciji z ostalimi snovmi v zobnih pastah, zaradi antibakterijskega delovanja [53].

3 Eksperimentalni del

3.1 Materiali

Prečiščena voda

-Uporabili smo visoko prečiščeno vodo z električno prevodnostjo 18 MΩ-cm (The PURELAB Classic)

Sol NaCl

-Sol, namenjeno laboratorijskim poskusom, ki vsebuje 99% NaCl. št v katalogu 7647-14-5

Ogljikov dioksid (CO₂)

-Uporabili smo ogljikov dioksid dobavitelja Messer (Slovenija, Ruše) čistoče 2,5.

Polietilen glikol (PEG)

Vzorci so se uporabljali takšni kot so bili zapakirani, brez kasnejše obdelave. PEG z molskimi masami od 200 g/mol do 600 g/mol so bili v tekočem agregatnem stanju:

-PEG 200 - Merck-Schuchardt (Nemčija), št. v katalogu 855126

-PEG 400 - Merck-Schuchardt (Nemčija), št. v katalogu 855124

-PEG 600 - Merck-Schuchardt (Nemčija), št. v katalogu 855047

Steklene kapilare

-5 µl Hirschmann Micropipette (Nemčija)

-50 µl Hirschmann Micropipette (Nemčija)

3.2 Laboratorijske metode

Eksperimentalni del magistrske naloge je bil opravljen v laboratoriju za Separacijske Procese in Produktno tehniko. Za merjenje površinske napetosti binarnih sistemov v okolici kritične točke s kapilarnim dvigom smo postavili primerno merilno napravo in razvili novo metodo merjenja. Za pridobitev natančnih in primerljivih meritev je bilo potrebno pridobiti natančni notranji premer tankih kapilar in izmeriti gostote binarnih mešanic pri superkritičnih pogojih.

3.2.1 Kalibracija notranjega premra kapilare s klasično metodo

S klasično metodo kapilarnega dviga smo izvedli prve meritve namenjene kalibraciji (določitvi) notranjega premra kapilare (tanke cevke). Določevali smo notranji premer dveh tankih kapilar: 1. 50 ul in 2. 5 ul. Izbrano kapilarno smo pričvrstili pravokotno na gladino vode in jo nato za natanko 5 mm potopili v prečiščeno vodo.

Ob stiku z vodo se je meniskus v kapilari začel dvigovati, dokler se ni vzpostavilo ravnotežje. Višino kapilarnega dviga (h) smo umerili z milimetrskim merilom in predstavlja razdaljo med gladino vode in spodnjim delom meniskusa. Zakrivljen kot v kapilari (meniskus) smo predpostavili, da je enak 0 ($\cos(0) = 1$), vrednost gravitacijske konstante pa je $9,81 \text{ m/s}^2$. Iz enačbe (2.13) smo izrazili iskani radij (enačba 3.1), podatke površinske napetosti in gostote pri dani temperaturi pa smo dobili iz NIST-a [54].

$$\gamma = \frac{4\rho h g r}{2 \cos \phi} \quad (2.13)$$

$$r = \frac{2 \cos \phi}{\rho h g} \quad (3.1)$$

Pri umerjanju notranjega premra smo konstantno temperaturo ohranjali z grelcem, ki smo ga postavili pod stekleno čašo z mešalom, da se je vršil temperaturni prenos po celotni posodi. Temperaturo smo merili s termočlenom, ki smo ga pomočili do sredine globine čaše. V čašo smo fiksirali epruveto s visoko prečiščeno vodo v katero smo pomočili tanko kapilaro (slika 3.17).



Slika 3-1: Določevanje notranjega premera s klasično metodo kapilarnega dviga.

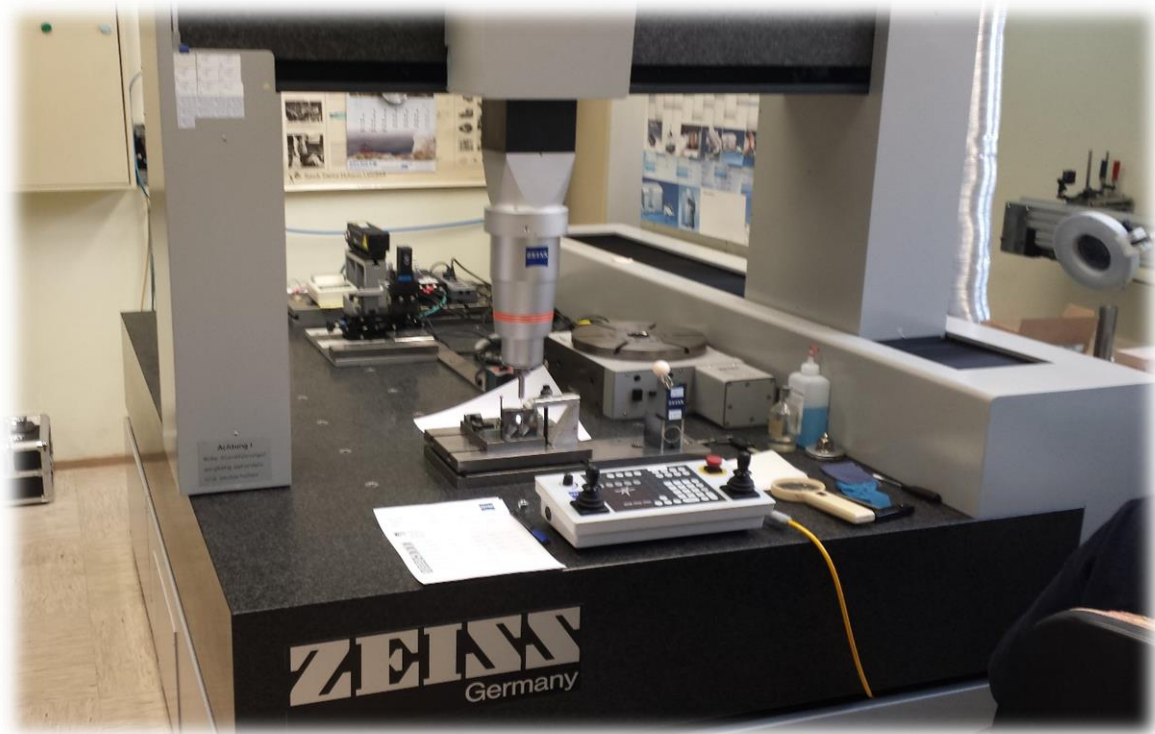


Slika 3-2: Kapilari uporabljeni za določevanje kapilarnega dviga.

3.2.2 Določevanje notranjega premera kapilare z metodo laserskega tipanja

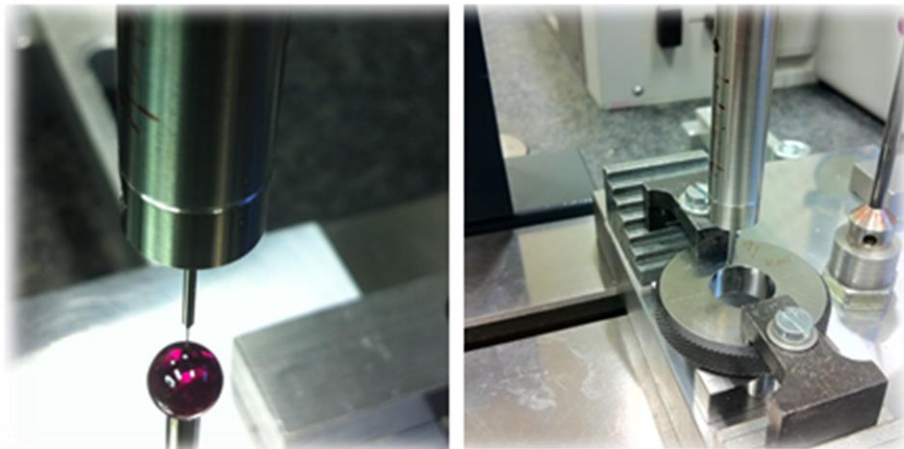
V Laboratoriju za tehnološke meritve na Fakulteti za strojništvo smo določevali notranje premere kapilar z napredno lasersko metodo, ki poteka po načelu kontaktnega tipanja z merilno silo 100 mN. Pri merjenju je sistem na svoji obodni poti s hitrostjo zveznega tipanja 1 mm/s registriral cca 550 koordinat. Ne glede na krhkost merilnega objekta in na relativno majhno merilno silo smo morali uporabiti togo in trdno vpenjalno pripravo z enostavnim in učinkovitim načinom vpenjanja. Kapilaro smo vstavili med jekleni utor in valjčka, ki sta jo držala v vertikalni legi. Z laserskim tipalom smo lahko merili (z natančnostjo nekaj desetink mikrometra) kapilare, ki so imele notranji premer večji od 0,5 mm.

Merjenje notranjih premerov smo izvedli na nemški koordinatni merilni napravi ZEISS tipa UMC – 850 (slika 3.3) in sicer s pomočjo merilne programske opreme CALYPSO 5.1.4. Naprava omogoča merjenje v CNC modusu po predhodni pripravi in programiranju vseh želenih geometrijskih veličin.



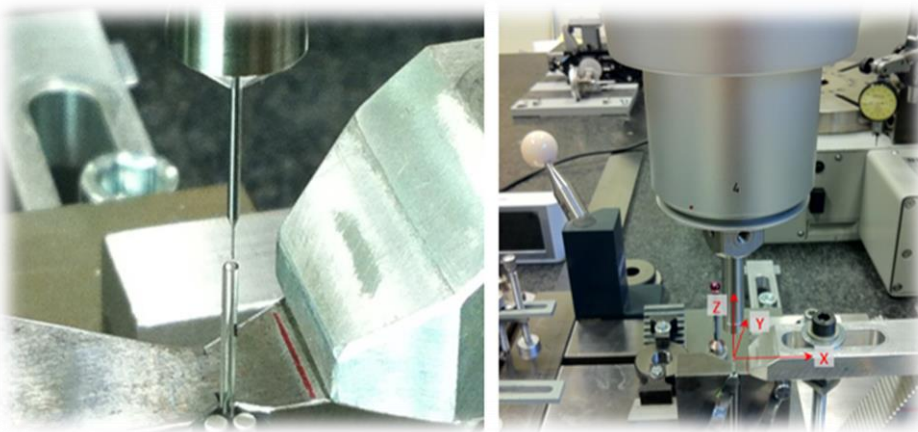
Slika 3-3: Merjenje notranjih premerov z merilno napravo ZEISS tipa UMC – 850.

Pred vsako meritvijo smo morali meritno napravo umeriti na kroglici (rdeče barve), ki ima znan premer in nato še izvesti tako imenovano skening kalibracijo na majhnem kovinskem obroču. Skenning kalibracija se mora izvesti v primeru merjenja krožnic z zveznim tipanjem velikega števila koordinat.



Slika 3-4: Umerjanje na kalibracijski kroglici in kovinskem obroču.

Merjenje notranjega premera je bilo izvedeno na globini 1 mm od zgornjega roba. Na tej višini smo ponovili tri meritve in iz njih izračunali srednjo aritmetično vrednost. Iz 550 koordinat je sistem hkrati izračunal tudi tri krožnosti s pomočjo Gauss-ovega algoritma. Meritve so bile izvedene na obeh koncih pipet. Pred vsako meritvijo na kapilari smo določili koordinatno izhodišče. Vzeli smo os zunanjega valja v višini 3 mm kot osnovo za računsko izravnavo in ničlišče v X, Y smeri ter točko na čelni strani za ničlišče v Z smeri (slika 3.5).

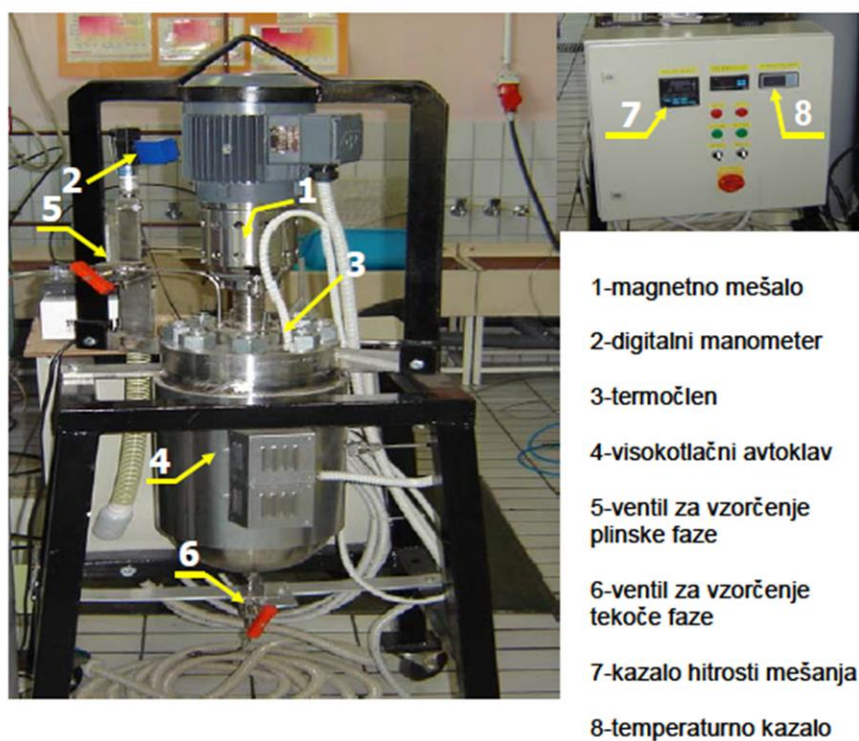


Slika 3-5: Merjenje notranjega premera kapilare in določitev koordinatnega sistema merjenca

3.2.3 Gravimetrična metoda merjena gostot v okolini kritične točke

Pri merjenju površinske napetosti s kapilarnim dvigom je potrebno poznati gostote sistema.. Gostote pogosto merjenih komponent (vode, CO₂) pri visokih tlakih smo našli v literaturi, medtem ko smo za pridobitev približnih vrednosti gostot dvokomponentnega sistema PEG/CO₂ uporabili gravimetrično metodo z jemanjem in tehtanjem vzorcev iz visokotlačne aparature (avtoklava) z magnetnim mešalom in grelnim plaščem [55].

Na visokotlačni aparaturi smo uporabili dvoje ventilov, zgornjega za dovod in spraznitve lažje faze CO₂, spodnjega pa za vzorčenje sistema PEG/CO₂. Težjo fazo PEG smo predhodno nalili v 4,9 L rezervoar avtoklava tako, da smo ga prečno odprli in nato nepredušno zaprli. Tlak smo merili z digitalnim barometrom in ga uravnavali z visokotlačno črpalko NWA PM-101 (slika 3.6).



Slika 3-6: Avtoklav z magnetnim mešalom in grelnim plaščem.

Predhodno smo določili volumen cevke, odprte na obeh straneh, na eni strani z ventilom, na drugi strani pa z lažjim snemljivim vijakom. Volumen smo določili tako, da smo cevko napolnili z destilirano vodo in iz obeh strani zaprli. Z zunanje strani smo cevko obrisali s

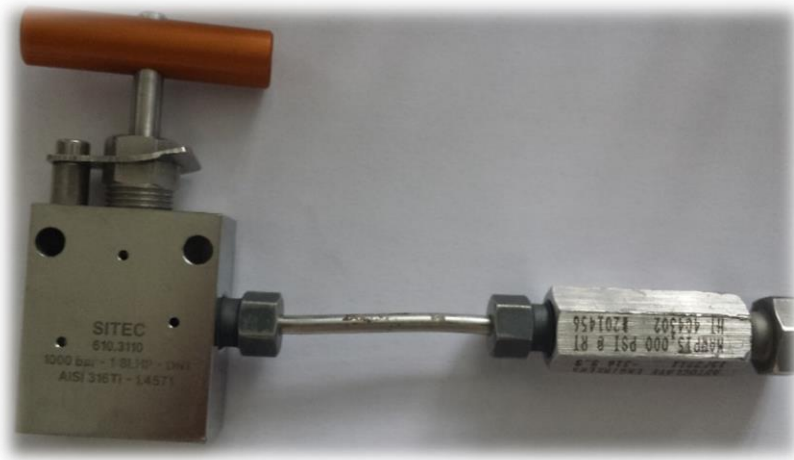
krpo in spihali s komprimiranim zrakom, ter nato stehtali na analitski tehniči (m_2) \pm 0,0001g. Nato smo jo spraznili, sčistili z acetonom, ponovno spihali s komprimiranim zrakom ter ponovno stehtali (m_1). Iz razlike mas ($m_2 - m_1$) in podatka za gostoto vode pri danih pogojih (p, T) smo izračunali volumen. Postopek smo ponovili trikrat.

Tabela 3-1: Podatki za izračun volumna cevke

| | |
|--|-------------------------------|
| <i>masa praznega sistema (cevka in ventila)</i> | $m_1 = 186,5422 \text{ g}$ |
| <i>masa polnega sistema</i> | $m_2 = 186,9189$ |
| <i>zunanji tlak</i> | $p = 0,998 \text{ bar}$ |
| <i>zunanja temperatura</i> | $t = 22^\circ\text{C}$ |
| <i>Gostota vode pri p (bar) in t (°C) (NIST)</i> | $\rho = 0,99754 \text{ g/mL}$ |

$$V_{ventil} = (m_2 - m_1) / \rho = 0,3766 \text{ g} / 0,99754 \text{ g/mL} = 0,3776 \text{ mL} \quad (3.2)$$

Postopek smo umerili z merjenjem čistega CO₂, preden smo prešli na merjenje sistema PEG/ CO₂. Tlak v avtoklavu smo povečevali z dovajanjem plina CO₂, želene izotermne pogoje pa dosegli z uporabo grelnega plašča. Pred vsakim vzorčenjem smo vsebino v avtoklavu mešali z mešalom (282 obr./min) dobre pol ure in nato počakali 1h, da se je vzpostavilo ravnotežje. Vzorce težje faze smo ujeli v cevko na spodnjem ventilu avtoklava tako, da smo jo pritrdili na avtoklavu in spustili težjo fazo pod tlakom v cevko in jo nato zaprli. Po enačbi (3.2) smo iz razlike mas v števcu in določenega volumna v imenovalcu lahko izračunali gostoto vzorca.



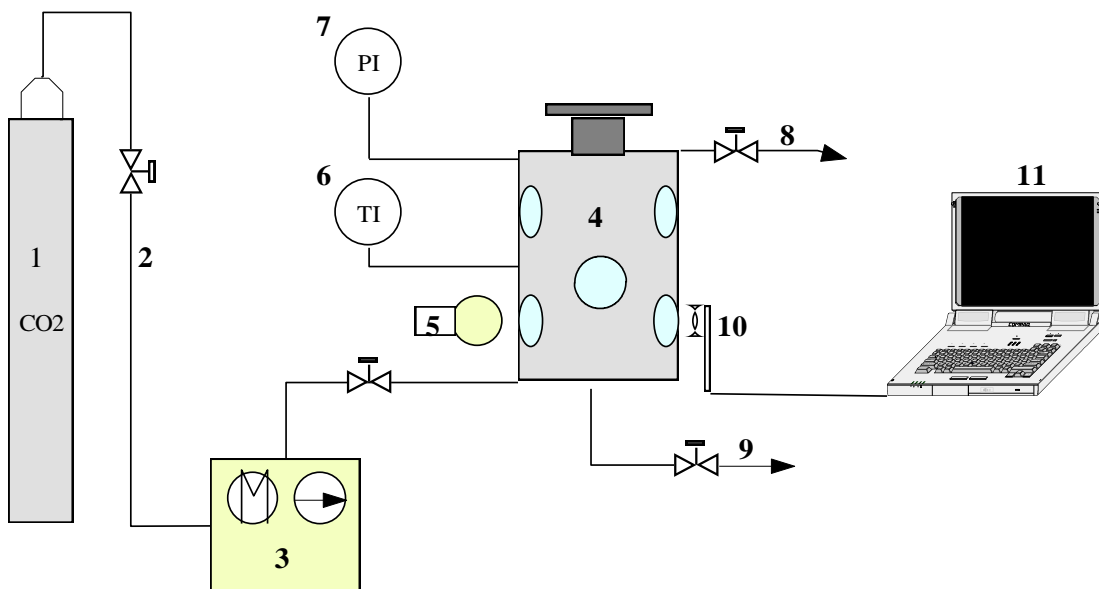
Slika 3-7: Ventil s cevko in snemljivim vijakom manjše mase.

3.3 Postavitev naprave za merjenje površinske napetosti

Glavni izziv magistrske naloge je bila postavitev naprave za merjenje površinske napetosti binarnih sistemov s kapilarno metodo v sistemih tekočina/SFC. Naprava je sestavljena iz: visokotlačne celice (avtoklava) z opazovalnimi okni, jeklenega stojala za kapilare, visokotlačne črpalke, svetlobnega vira, cevnega omrežja, kamere in prenosnega računalnika (slika 23).

Uporabili smo avtoklav s prostornino 500 ml (Sitec AG, Zurich, CH) iz nerjavečega železa, s šestimi safirnimi opazovalnimi okni, kar nam omogoča opazovanje sistema tekom eksperimenta. Tlak v notranjosti avtoklava smo merili z elektronskim merilcem tlaka (WIKA Alexander Wiegand GmbH & Co. KG, Alexander-Wiegand-Straße, Klingenberg, Germany) in ga uravnavali z visokotlačno črpalko tipa NWA PM-101. Zunanost avtoklava je obdana s električnim ogrevanjim plaščem reguliranim z umerjenim termočlenom nameščenim v notranjosti. Dizajniran je tako, da prenese tlak 500 barov ter temperaturo 423 K [56].

V notranjost avtoklava smo namestili jekleno stojalo s kapilaro, ki je omogočala stabilen prijem kapilare na poljubni višini. Vidljivost smo povečali z namestitvijo žarnice in LED diod na zunanji strani avtoklava. Po namestitvi kapilare smo napravo najprej napolnili z gostejšo tekočino do območja 5 mm nad spodnjim delom kapilare. Nato smo avtoklav napolnili s pomočjo tlačne črpalke do željene vrednosti. Pri merjenju ravnotežne višine sta nam velikost in lokacija steklenih oken, nameščenih v notranjost avtoklava, onemogočila uporabo večje kamere z opremljenim mikroskopskim nastavkom, saj je nismo mogli dovolj približat steklu za zagotovitev fokusa slike. Rešitev za merjenje višin v kapilari smo našli v uporabi visoko ločljive digitalne kamere (Samsung Galaxy S4) s 13 milijoni točk in full HD videokamero (1080p), ki je odlično fokusirala sliko v večji oddaljenosti od opazovalnega stekla. Kamero smo povezali s prenosnim računalnikom, na katerem smo izvedli analizo HD slik višine kapilarne dviga, s pomočjo računalniškega programa Logger Pro.



Slika 3-8: Shema meritne naprave: 1. jeklenka čistega CO₂, 2. cevno omrežje, 3. visokotlačna pumpa, 4. avtoklav Sitec AG 5. svetlobni vir, 6. elektronski merilec tlaka, 7. termočlen, 8. izhod lažje faze, 9. izhod teže faze, 10. HD kamera, 11. prenosnik.

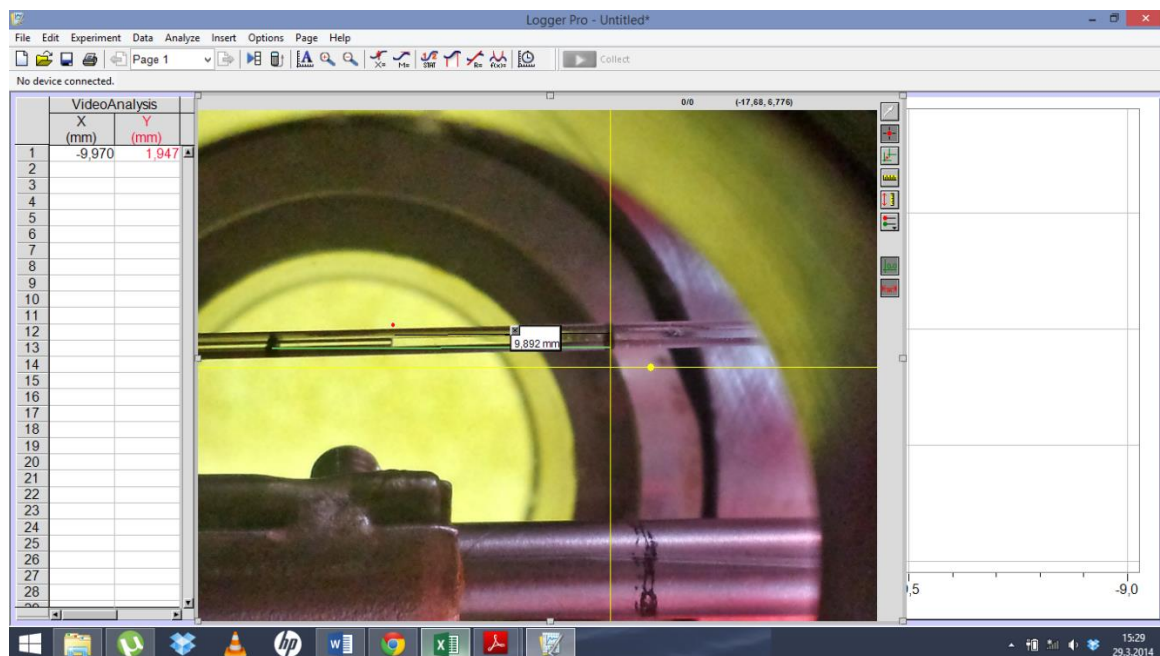


Slika 3-9: Naprava za merjenje površinske napetosti binarnih sistemov s kapilarno metodo.

3.3.1 Merjenje kapilarnega dviga s računalniškim Program Logger Pro

Ravnotežne višine v kapilari smo analizirali s pomočjo računalniškega programa Logger Pro, ki omogoča natančno merjenje razdalj med dvema točkama. Pred vsakim merjenjem je bilo potrebno sliko oz. videoposnetek umeriti s pomočjo znane razdalje med dvema črticama na kapilari. Program je omogočal hitre in natančne meritve z natančnostjo 0,01 mm [57].

Zaradi majhnih odprtin steklenih oken v notranjost avtoklava smo imeli istočasno vpogled samo iz dveh oken v dva odseka 125 mm kapilare. V spodnjem oknu smo določili 5 mm ugrez kapilare v tekočino, v zgornjem oknu pa izvedli video analizo s pomočjo kamere. Višina kapilarnega dviga se je določila kot navpična razdalja od gladine tekočine do zakriviljenega meniskusa v kapilari. Analizirali smo slike dveh različnih kapilar, ki sta imeli različne postavitve črtic, s katerimi smo umerjali sliko in določevali razdalje.



Slika 3-10: Določitev kapilarnega dviga s programsko opremo Logger Pro.

3.3.1.1 Izračun površinske napetosti

Ko se je vzpostavilo lokalno ravnotežje v tanki kapilari premera manjšega od 1 mm fiksirani na jekleno ogrodje znotraj avtoklava smo določili površinsko napetost po enačbi 2.13 (izpeljava v teoretičnem delu) v mN/ m:

$$\gamma = \frac{r \Delta \rho g}{2} \cdot \left(h + \frac{r}{3} \right) \quad (3.2)$$

h- kapilarni višina določena računalniškim programom Logger Pro. (m)

r- notranji radij kalibriran po klasični ali laserski metodi (m)

g- gravitacijska konstanta (9,81 m/s²)

Δρ- razlika gostot teže in lažje faze binarnega sistema odčitana iz NIST-a ali določena s gravimetrično metodo (kg/m³)

4 Rezultati in diskusija

4.1 Primerjava določitve notranjega premera s klasično in lasersko metodo

Pri merjenju površinske napetosti je pomembno določiti natančni notranji radij kapilare. Izjemno natančne rezultate (z odstopanjem $\pm 0,01$ mm) smo dobili z metodo laserskega tipanja, ki smo jo primerjali s klasično metodo, da smo lahko ovrednotili njeno natančnost.

Ugotovili smo, da je možno s klasično metodo kapilarnega dviga kalibrirati notranje premere z dovolj veliko natančnostjo ($\pm 0,1$), da še dobimo primerljive rezultate. Podali smo tudi odstopanje (%) klasične metode napram metodi z laserskim tipanjem. Potrditev natančnosti merjenja s klasično metodo smo potrebovali pri umeritvi notranjega premera tanjše kapilare (D_2), ki je nismo mogli umeriti z metodo laserskega tipanja zaradi premajhnega notranjega premera (omejitev merjenja $\leq 0,4$ mm).

Tabela 4-1: Primerjava meritev

| | Klasična metoda | Metoda laserskega tipanja |
|---|-----------------|---------------------------|
| Povpr. notranji premer širše kapilare D_1 (mm) | 0,94554 | 0,95680 |
| Povpr. notranji premer tanjše kapilare D_2 (mm) | 0,30955 | / |

$$\text{Napaka (\%)} = 100 * (D_{\text{laserska metoda}} - D_{\text{klasična}}) / D_{\text{laserska metoda}} \quad (4.1)$$

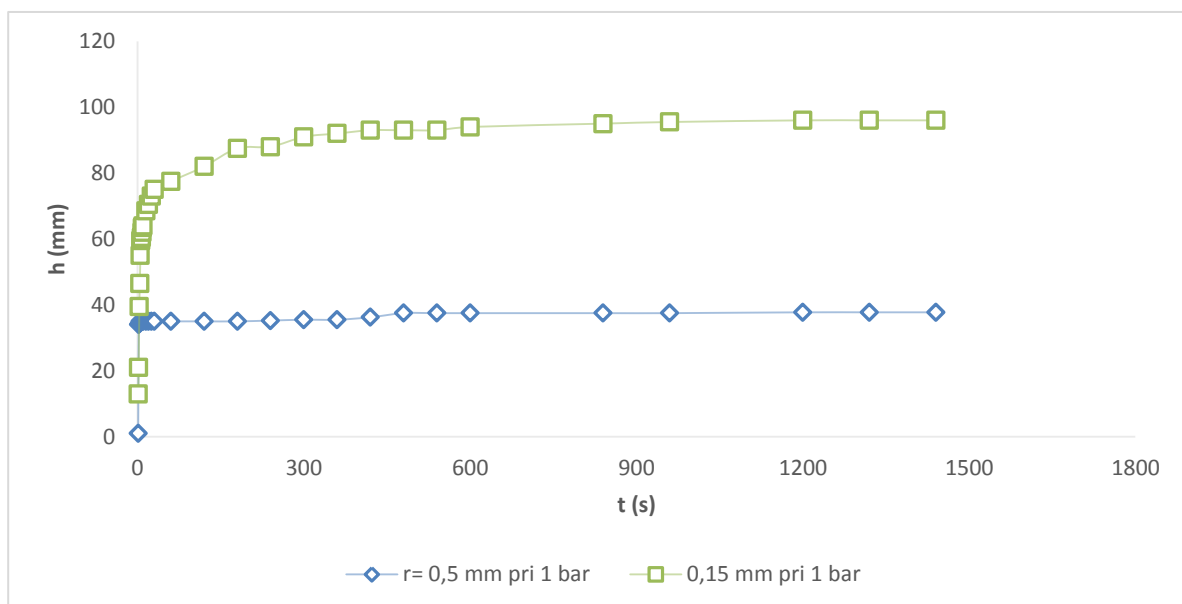
$$\text{Napaka (\%)} = 1,18$$

Z lasersko metodo smo $50 \mu\text{l}$ kapilaro izmerili trikrat in podali povprečno vrednost (tabela 4.1). Meritev je prikazana na sliki v dvodimenzionalnem koordinatnem sistemu x in y, kjer zunanji dve rdeči krožnici predstavljata prvo meritev, tretja in četrta rdeča krožnica drugo meritev, in notranji dve tretjo meritev (glej prilogo 7.1).

4.2 Dinamika kapilarnega dviga

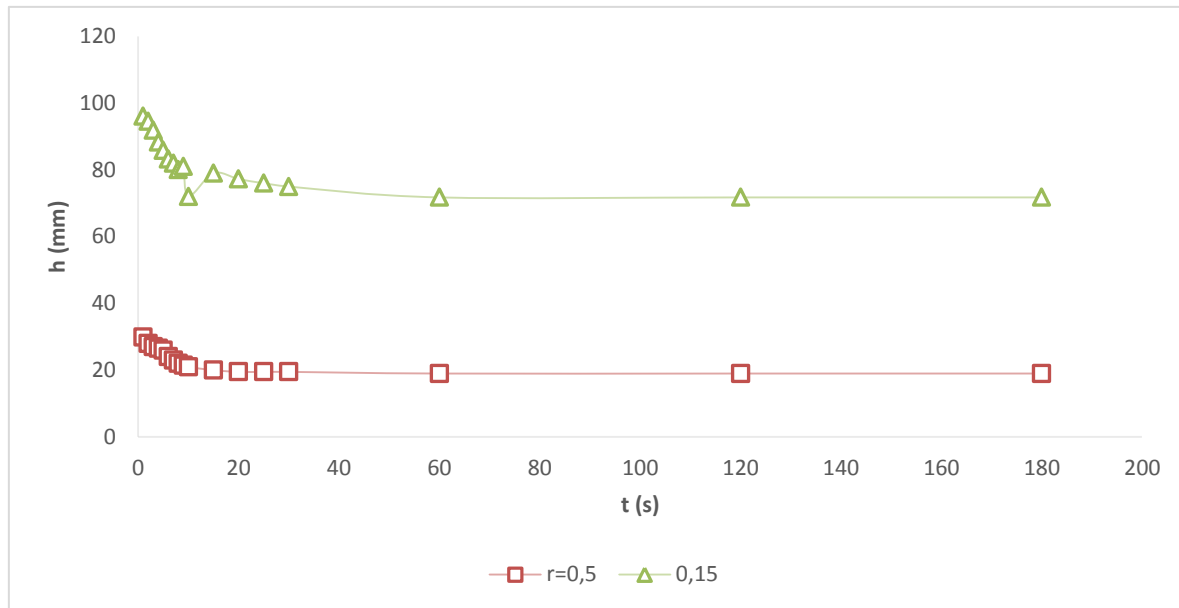
Pred začetkom merjenja površinske napetosti smo določili potreben čas za vzpostavitev ravnotežne višine oz. ravnotežja v kapilari, kot posledice izenačenja sile gravitacije in sile površinske napetosti.

4.2.1 Dinamika kapilarnega dviga pred fazno spremembo



Slika 4-1: Čas vzpostavitev ravnotežne višine v kapilari pri 25°C in 1 baru.

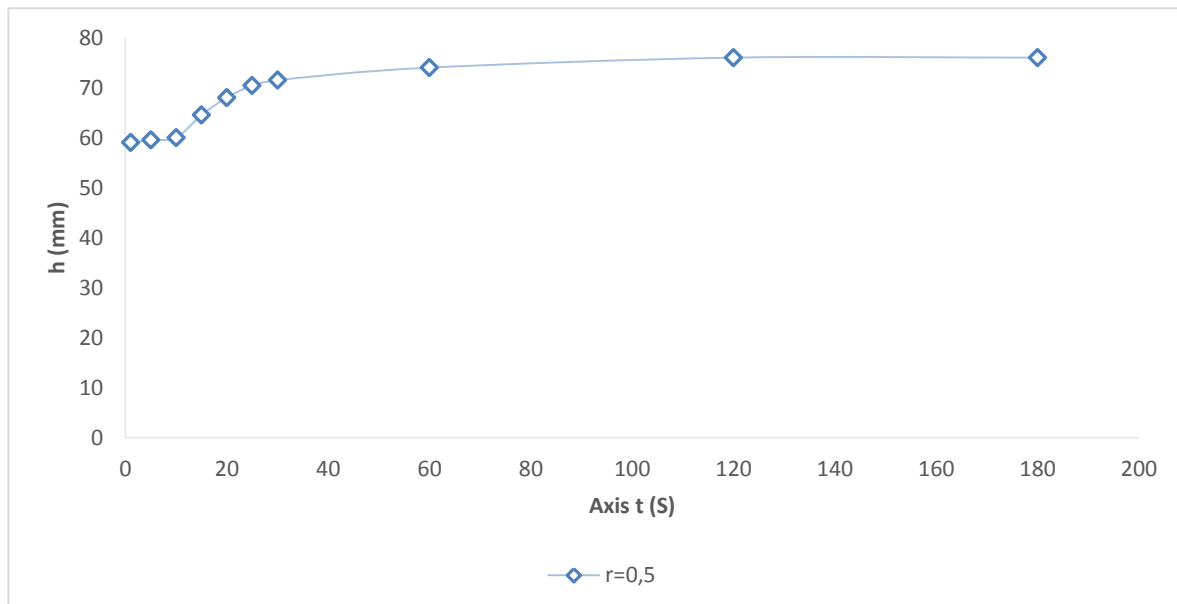
Slika 4-1 prikazuje čas vzpostavitev ravnotežne višine v dveh kapilarah pri sobnih pogojih. Razvidno je, da je ob stiku obeh kapilar z vodo prišlo do hitrega dviga meniskusa v kapilari po času, ki se je nato upočasnil in dosegel konstantno vrednost. Pri tanjši kapilari, radiju $0,1534 \text{ mm}$, se je pri tlaku 1 bar meniskus v kapilari umiril šele po 20 min, medtem ko smo opazili hitrejšo umiritev (doseg ravnotežja) kapilarnega dviga pri širši kapilari z radijem $0,4723 \text{ mm}$. Predvidevamo, da je tako zaradi večjega radija kapilare, ki posledično daje manjši kapilarni dvig in navidezno hitrejšo vzpostavitev ravnotežja. Po določitvi časa vzpostavitev ravnotežne višine pri sobnih pogojih, smo prešli na preučevanje vzpostavitev ravnotežne višine pri višjih tlakih.



Slika 4-2: Čas vzpostavitev ravnotežne višine v kapilari pri 50 barih

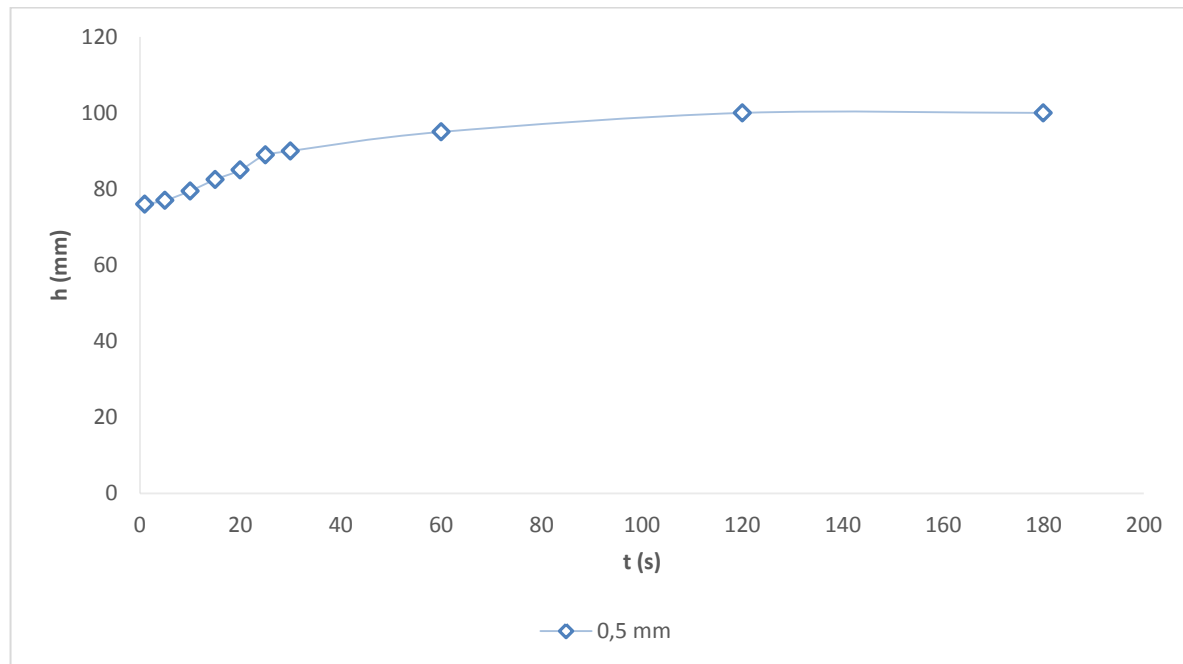
Slika 4-2 prikazuje čas vzpostavitev ravnotežne višine v kapilari pri tlaku 50 barov. Razvidno je, da se je višina v tanjši in širši kapilari zmanjševala do vzpostavitev ravnotežja, ki se je vzpostavilo v manj kot dveh minutah.

4.2.2 Dinamika kapilarnega dviga po fazni spremembi



Slika 4-3: Čas vzpostavitev ravnotežne višine v kapilari pri 100 barih

Slika 4-3 prikazuje čas vzpostavitev ravnotežne višine v kapilari z radijem 0,4723 mm pri tlaku 100 barov. Razvidno je, da se je po fazni spremembi meniskus v kapilari dvigoval dobrti dve minuti in nato dosegel konstantno vrednost.



Slika 4-4: Čas vzpostavitev ravnotežne višine v kapilari pri 150 barih

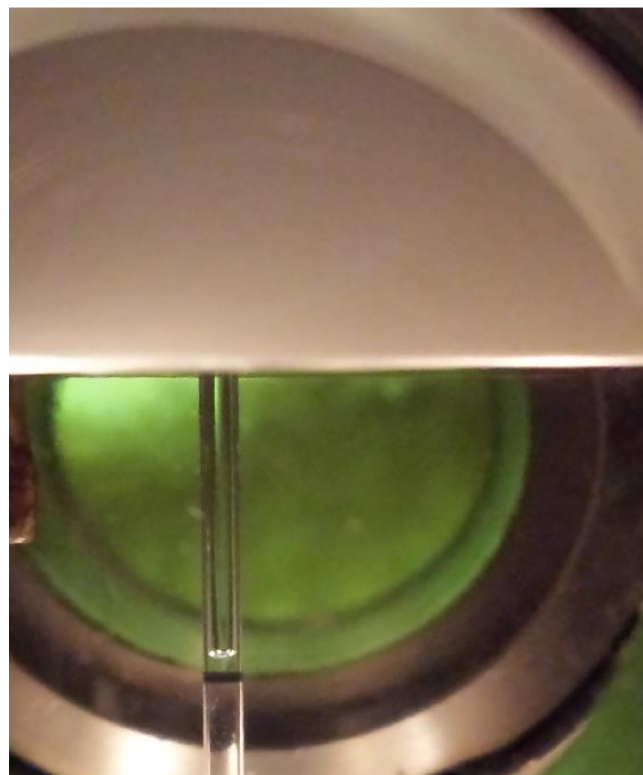
Slika 4-4 prikazuje čas potreben za vzpostavitev ravnotežne višine v kapilari z radijem 0,5 mm pri tlaku 150 barov. Trend rasti kapilarnega dviga in čas potreben za vzpostavitev ravnotežja je enak vrednostnim grafa 4-3 pri 100 barih. O podobnem fenomenu poroča Chun [2] v svojih raziskavah dinamike kapilarnega dviga.

Iz rezultatov sledi, da je potrebno za vzpostavitev ravnotežne višine ob začetku merjena pri tlaku 1 bar počakati minimalno 20 min, pri višjih tlakih pa je čas za vzpostavitev ravnotežja precej krajši - ravnotežje se je vzpostavilo že v dobrih 2 minutah.

4.3 Merjenje površinske napetosti binarnega sistema voda/CO₂

Prve meritve površinske napetosti s kapilarno metodo smo izvedli za sistem voda/CO₂ pri treh izotermah (25 °C, 45 °C in 60 °C) in jih primerjali z literaturo. Ugotovili smo, da daje naša metoda primerljive in ponovljive rezultate.

Pred vsako meritvijo smo visoko prečiščeno vodo v posodi zamenjali in napravo večkrat sprali s tekočim CO₂. Po vsakem izpiranju smo opravili meritev pri atmosferskem tlaku. Če je bila izmerjena površinska napetost v območju napake do največ 2%, smo nadaljevali z meritvami. Pri merjenju površinske napetosti smo uporabljali dvoje kapilar z različnima notranjima premeroma, saj se je v območju nizkih tlakov bolje obnesla kapilara z manjšim premerom, v območju nad kritičnim tlakom pa kapilara z večjim premerom. Potrdili smo, da daje tanjša kapilara večji kapilarni dvig in na osnovi meritv ugotovili, da je s kapilarami dolžine 125 mm, ki imajo manjši notranji premer od 0,9 mm nemogoče meriti nad območjem kritične točke CO₂. Raziskave kažejo, da se višina kapilarnega dviga pri fazni spremembi CO₂ močno poveča.



Slika 4-5: Kapilarni dvig v okolini kritičnega tlaka CO₂ pri 25°C (utekočinjanje CO₂).

4.3.1 Merjenje površinske napetosti sistema voda/CO₂ pri 25°C

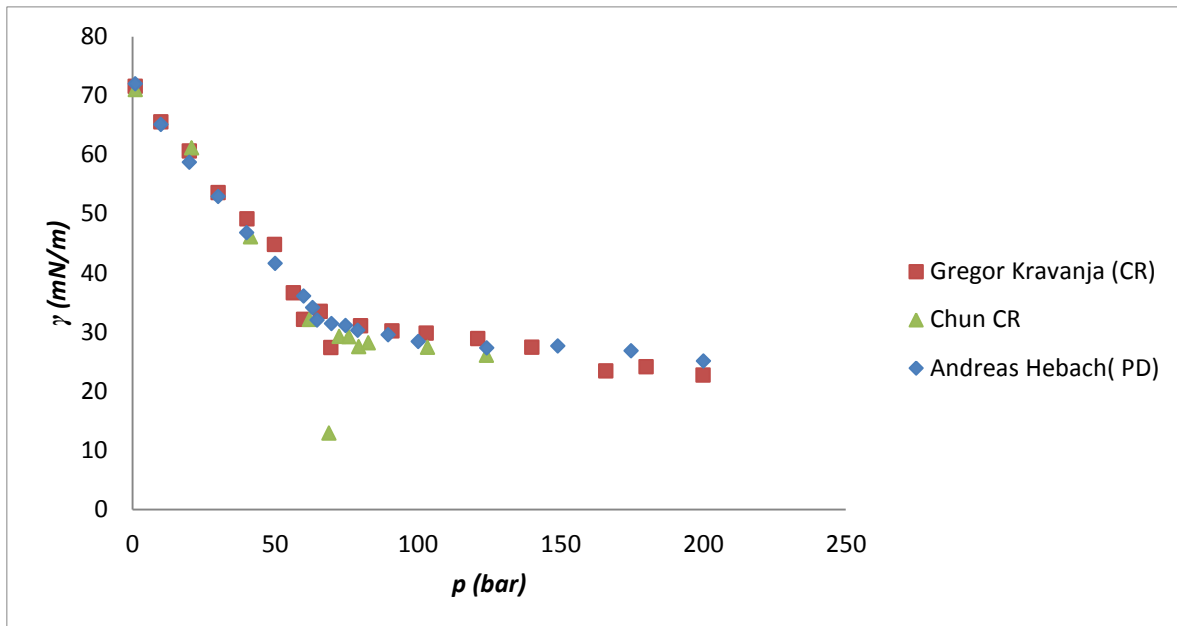
Tabela 4-2: Podatki za izračun površinske napetosti sistema voda/ CO₂ pri 25°C

| <i>p (bar)</i> | <i>h (mm)</i> | <i>h (m)</i> | <i>ρ w (kg/m³)</i> | <i>ρ co₂ (kg/m³)</i> | <i>g (m/s²)</i> | <i>r (m)</i> | <i>γ (mN/m)</i> |
|----------------|---------------|--------------|-------------------------------|--|----------------------------|--------------|-----------------|
| 1 | 97,64 | 0,09764 | 997,01 | 1,829 | 9,81 | 0,00015 | 71,52905 |
| 10 | 91 | 0,091 | 997,05 | 18,725 | 9,81 | 0,00015 | 65,53803 |
| 20 | 86 | 0,086 | 997,09 | 39,805 | 9,81 | 0,00015 | 60,60695 |
| 30 | 78 | 0,078 | 997,14 | 64,185 | 9,81 | 0,00015 | 53,57521 |
| 56,4 | 67,351 | 0,067351 | 997,27 | 258,400 | 9,81 | 0,00015 | 36,64077 |
| 60 | 54,1 | 0,0541 | 997,32 | 191,450 | 9,81 | 0,00015 | 32,10656 |
| 69,5 | 51,99 | 0,05199 | 997,41 | 783,49 | 9,81 | 0,00048 | 26,1777 |
| 80 | 57,10 | 0,05710 | 997,45 | 776,64 | 9,81 | 0,00048 | 29,66699 |
| 90,9 | 62,67 | 0,06267 | 997,54 | 801,63 | 9,81 | 0,00048 | 28,88352 |
| 102,9 | 68,52 | 0,06852 | 997,68 | 820,82 | 9,81 | 0,00048 | 28,50275 |
| 121 | 77,72 | 0,07772 | 997,81 | 846,67 | 9,81 | 0,00048 | 27,62057 |
| 140 | 85,32 | 0,08532 | 997,9 | 867,12 | 9,81 | 0,00048 | 26,23212 |
| 165,9 | 87,42 | 0,08742 | 998,13 | 889,15 | 9,81 | 0,00048 | 22,39646 |
| 180 | 100,6 | 0,1006 | 998,23 | 900,800 | 9,81 | 0,00048 | 23,03609 |
| 200 | 110,6 | 0,1106 | 998,35 | 914,780 | 9,81 | 0,00048 | 21,72008 |

Podatki izračunov za ostale meritve površinske napetosti so prikazani in tabelirani v prilogi 8.2.

Iz tabele 7. vidimo, da se je višina vode v tanjši kapilari (radij 0,1543 mm) z višanjem tlaka nižala do fazne spremembe CO₂, po njej pa ponovno povečala. Po fazni spremembi CO₂ smo uporabili širšo kapilaro z radijem 0,4723 mm. Višina vode v njej je bila praktično ista tisti s tanjšo kapilaro pred fazno spremembo in se je še postopoma povečevala. Iz meritev sklepamo, da se je po fazni spremembi CO₂ višina tekočine v kapilari povečala za več razredov, glede na meritve pred fazno spremembo.

Iz NIST-s smo odčitali vrednosti gostote čiste vode in gostote CO₂, saj raziskave po Kingu [58] nakazujejo, da ni bistvenih razlik med vrednostmi gostot CO₂- bogate faze v stiku z vodo in čistega CO₂ pri 298 K. Topnost vode v CO₂ znaša nekaj manj kot 0,4 mol %. V nadaljevanju je prikazana primerjava naših meritev z literaturo.



Slika 4-6: Primerjava meritev površinskih napetosti pri izotermi 25°C

Slika 4-6 prikazuje primerljivost naših meritev površinske napetosti pri 25°C s podatki avtorjev Chun-a in A. Hebach-a [1,2]. Da bi primerjali naše meritve z metodo kapilarnega dviga (CR) z uveljavljeno istoimensko metodo, smo uporabili podatke Chun-a. Za primerljivost metode kapilarnega dviga z metodo merjenja visečih kapljic (PD), pa smo uporabili podatke A. Hebach-a.

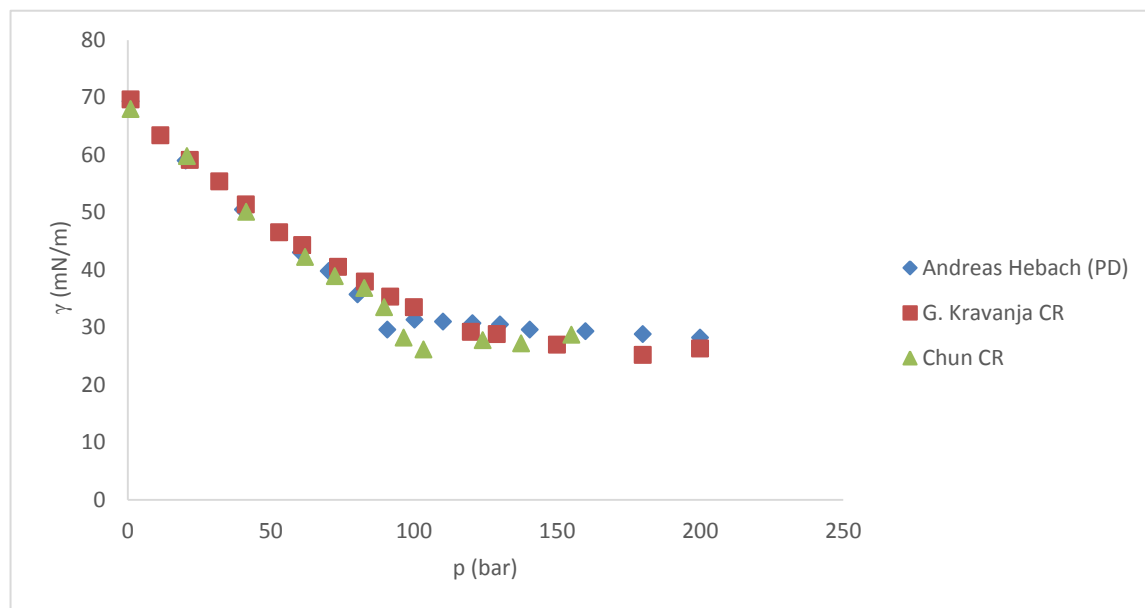
Razvidno je, da se izoterme pri 25 °C, kar je nižje kot T_c za CO₂, ločijo na dva dela pri točki kritičnega tlaka CO₂. Površinska napetost se skoraj linearno zmanjšuje v območju tlakov nižjih od kritičnega tlaka CO₂, v območju višjih delovnih tlakov pa je bilo opaziti skorajšnjo neodvisnost spremembe površinske napetosti od tlaka. Izračunali smo tudi odstopanja izoternih vrednosti površinske napetosti pri različnih tlakih po enačbi 4.2 in jih sešteli, da smo dobili standardno absolutno relativno deviacijo (AARD) meritev (tabela 4-3). Pri primerjavi z literaturo smo zajeli samo tiste točke, kjer je bila tlačna vrednost relativno enaka našim.

$$\text{Napaka (\%)} = 100 * (\gamma_{\text{literatura}} - \gamma_{\text{eks.}}) / \gamma_{\text{literatura}} \quad (4.2)$$

Tabela 4-3: Vrednosti AARD meritev pri 25°C:

| Chun (CR) | A. Hebach |
|-----------|-----------|
| 2,33 % | 4,96 % |

4.3.2 Merjenje površinske napetosti sistema voda/CO₂ pri 45°C



Slika 4-7: Primerjava meritve površinskih napetosti sistema voda/CO₂ pri izotermi 45°C

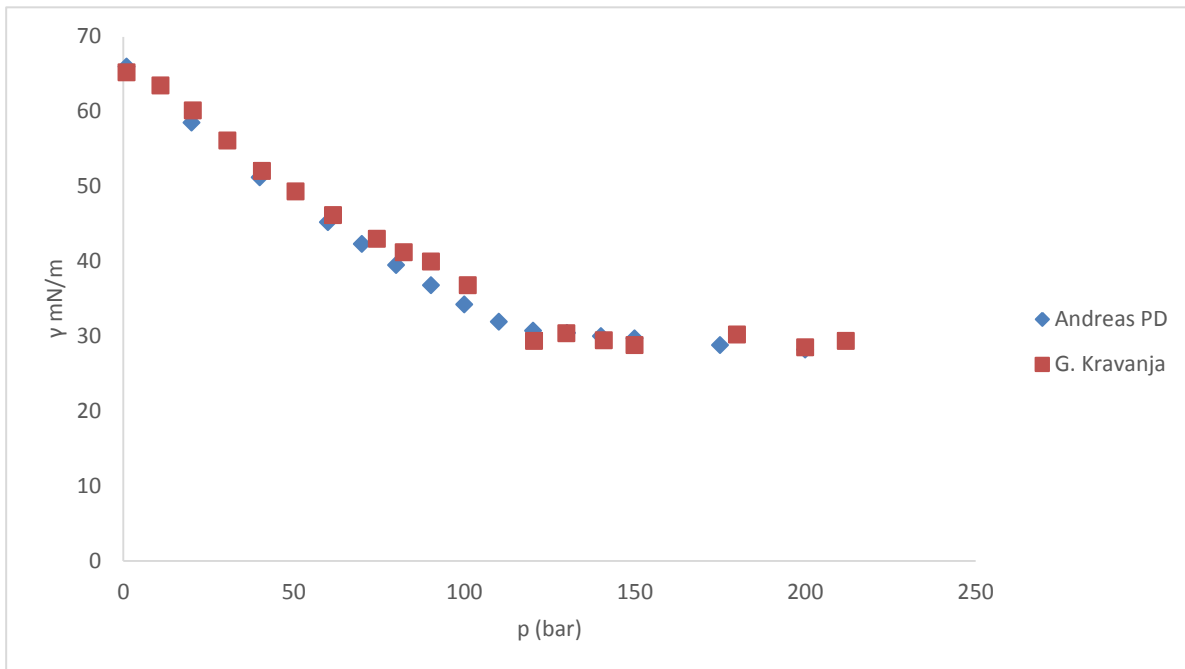
Slika 4-7 prikazuje primerljivost naših meritev pri izotermi 45°C (superkritičnih pogojih) s podatki avtorjev Chun-a in A. Hebach-a. Izotermo sestavlja vsaj 10 točk, v razponu tlakov od 1 bara do 200 barov. Podatki so primerljivi z obema metodama merjenja: kapilarnim dvigom (CR) in merjenje viseče kapljice (PD), saj imajo majhno AARD (tabela 4-4).

Iz slike 4-7 vidimo, da se izoterme pri 45°C v okolici kritične točke ne lomijo na dva dela kot izoterme pri 25°C iz slike 4-6, ampak so bolj zaobljene.

Tabela 4-4 : Vrednosti AARD meritve pri 45°C

| Chun (CR) | A. Hebach |
|-----------|-----------|
| 4,16 % | 4,96 % |

4.4 Merjenje površinske napetosti sistema voda/CO₂ pri 60°C



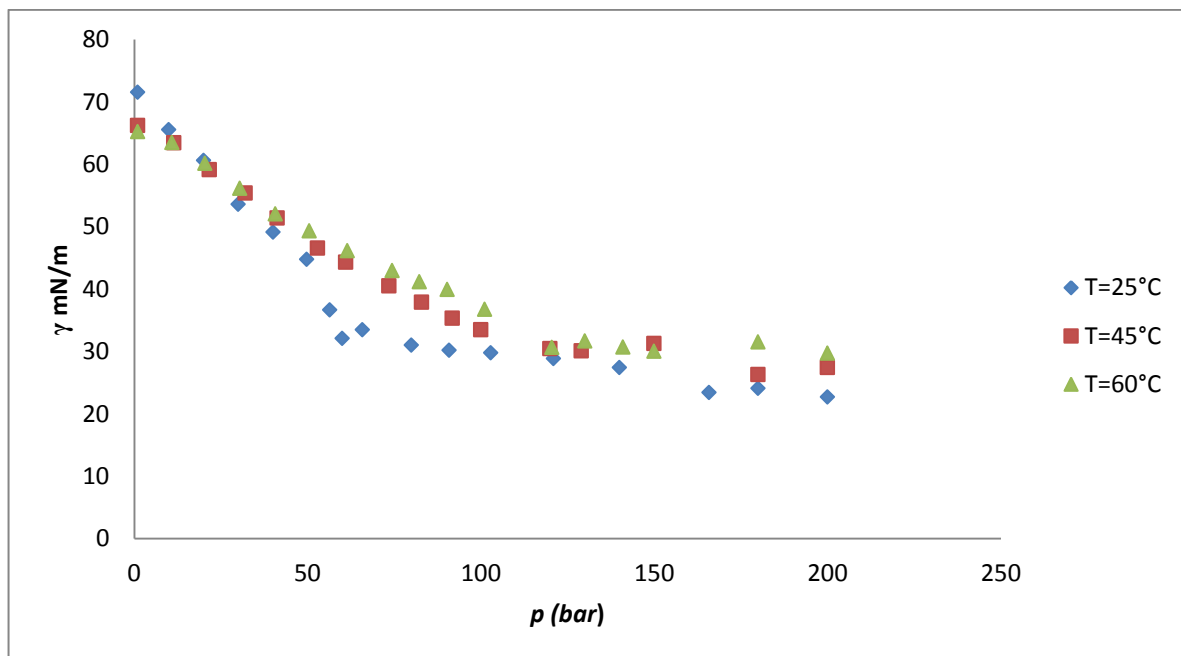
Slika 4-8: Primerjava meritve površinskih napetosti sistema voda / CO₂ pri izotermi 60°C

Slika 4-8 prikazuje primerljivost naših meritev pri temperaturi 60°C (superkritičnih pogojih) s podatki A. Hebach-a. Izotermo sestavlja vsaj 10 točk, v razponu tlakov od 1 bara do 200 barov. V tabeli 4-5 je podan AARD (zajeto je večina točk).

Tabela 4-5: Vrednosti AARD meritev pri 60 °C

| <i>Chun (CR)</i> | A. Hebach |
|------------------|-----------|
| / | 2,98 % |

4.4.1 Vpliv temperature na površinske napetosti pri visokih tlakih



Slika 4-9: Vpliv temperature na površinske napetosti pri visokih tlakih

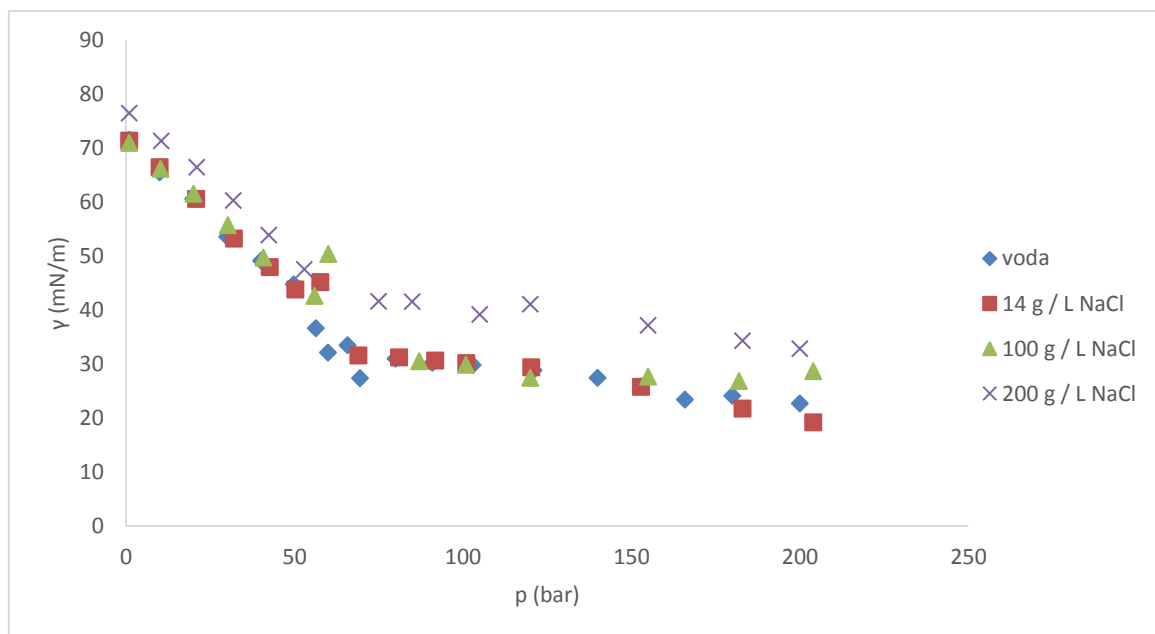
Slika 4-9 prikazuje vpliv vrednosti površinskih napetosti s kapilarno metodo pri treh izotermnih temperaturah. Modro obarvane točke izoterm predstavljajo vrednosti pri 25°C , kjer je tudi dobro viden fazen prehod CO_2 . Rdeče in zeleno obarvane točke predstavljajo meritve izoterm površinske napetosti v območju pod in nad kritično točko CO_2 .

S povečevanjem tlaka je opaziti linearno zmanjšanje površinske napetosti do $p = 50$ barov, ki je bolj izrazito pri $T = 25^\circ\text{C}$. Zanimiva je tudi ugotovitev, da je za razliko od atmosferskih pogojev, kjer je površinska napetost padala z višanjem temperature, v območju višjih tlakov naraščala. Z drugimi besedami, površinska napetost se je pri visokih tlakih nižala z nižanjem temperature, kar je lahko pozitivno pri obratovanju s procesnimi tokovi in ekstrakcijah (manjša poraba energije za gretje procesov).

4.5 Merjenje površinske napetosti sistema slanica/CO₂

Zaradi obetavne možnosti skladiščenja toplogrednega plina CO₂ v slanico, smo simulirali v avtoklavu razmere, ki potekajo pri vbrizgavanju CO₂ v slane reke več kilometrov pod zemljo. Gostoto, ki je bila potrebna pri izračunu, smo za čisti CO₂ dobili iz NIST-a, za slano vodo pa s pomočjo simulatorja gostot na različnih koncentracijah slanosti in globin morske vode[50][51].

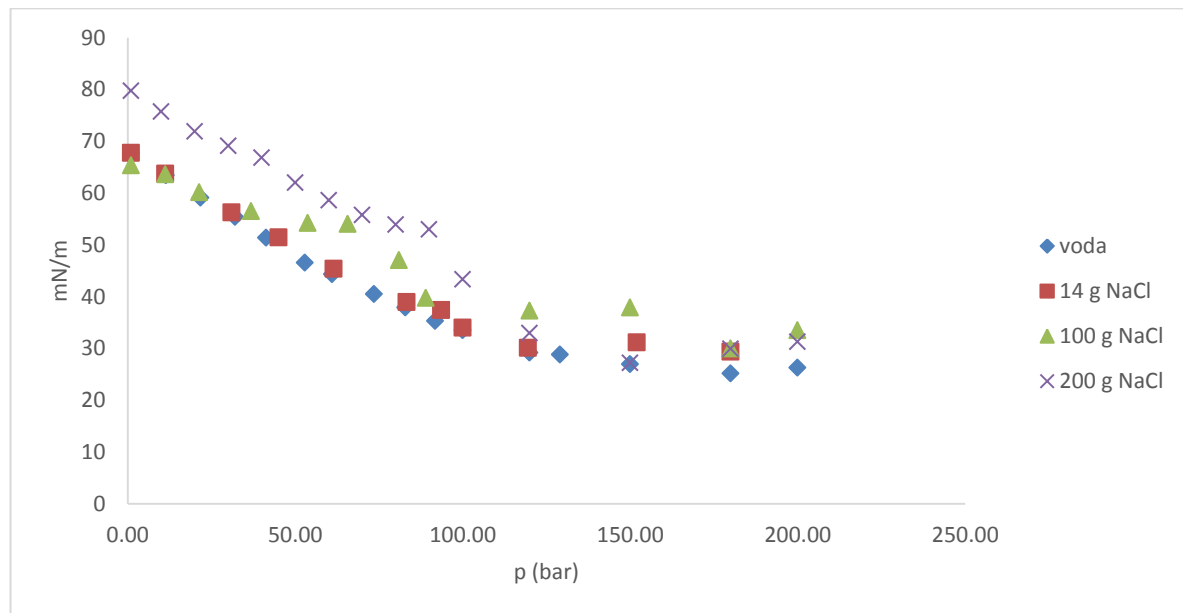
4.5.1 Merjenje površinske napetosti sistema slanica/CO₂ pri 25°C



Slika 4-10: Vpliv koncentracije slanice na površinsko napetost pri 25°C

Slika 4-10 opisuje vpliv različnih koncentracij slanice na površinsko napetost pri konstantni temperaturi 25°C. Razvidno je, da je trend površinske napetosti slanice pri nižji koncentraciji (14 g/L NaCl) podoben kot pri čisti vodi, z višanjem koncentracije se pa občutno zvišuje.

4.5.2 Merjenje površinske napetosti sistema slanica/CO₂ pri 45°C



Slika 4-11: Vpliv koncentracije slanice na površinsko napetost pri 45°C

Slika 4-11 opisuje vpliv različnih koncentracij slanice na površinsko napetost pri konstantni temperaturi 45°C, kjer pride z višanje tlaka nad kritično vrednostjo CO₂ do fazne spremembe iz plinastega v superkritično fazo. Ugotovili smo, da se z višanjem koncentracije soli v vodni raztopini viša vrednost površinske napetosti.

Podobne ugotovitve smo zasledili tudi v literaturi [33],[33], [34] kjer so merili sistem slanice/CO₂.

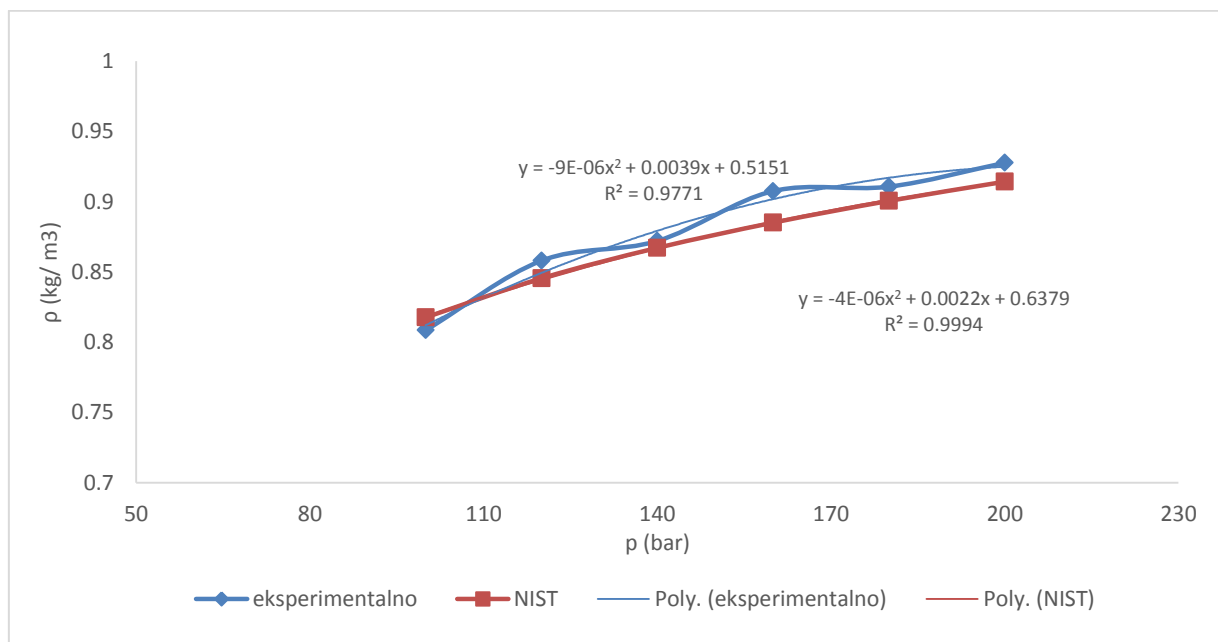
4.6 Merjenje površinske napetosti taline PEG/CO₂

Predvsem zaradi zanimive možnosti procesiranja polimerov s SCF CO₂ in pomanjkanja termodinamskih parametrov v okolini kritične točke, smo talinam PEG 200, PEG 400 in PEG 600 izmerili površinsko napetost. Gostoto binarnega sistema PEG 400/CO₂ smo dobili iz literature [49], za sistema PEG 200/CO₂ in PEG 600/CO₂ pa smo uporabili gravimetrično metodo določanja gostote, ki smo jo predhodno preizkusili z določitvijo gostot za čisti CO₂. Podali smo tudi primerjavo obeh metod merjenja gostot.

4.6.1 Kalibracija gravimetrične metode s čistim CO₂

Tabela 4-6: Kalibracija gravimetrične metode s čistim CO₂

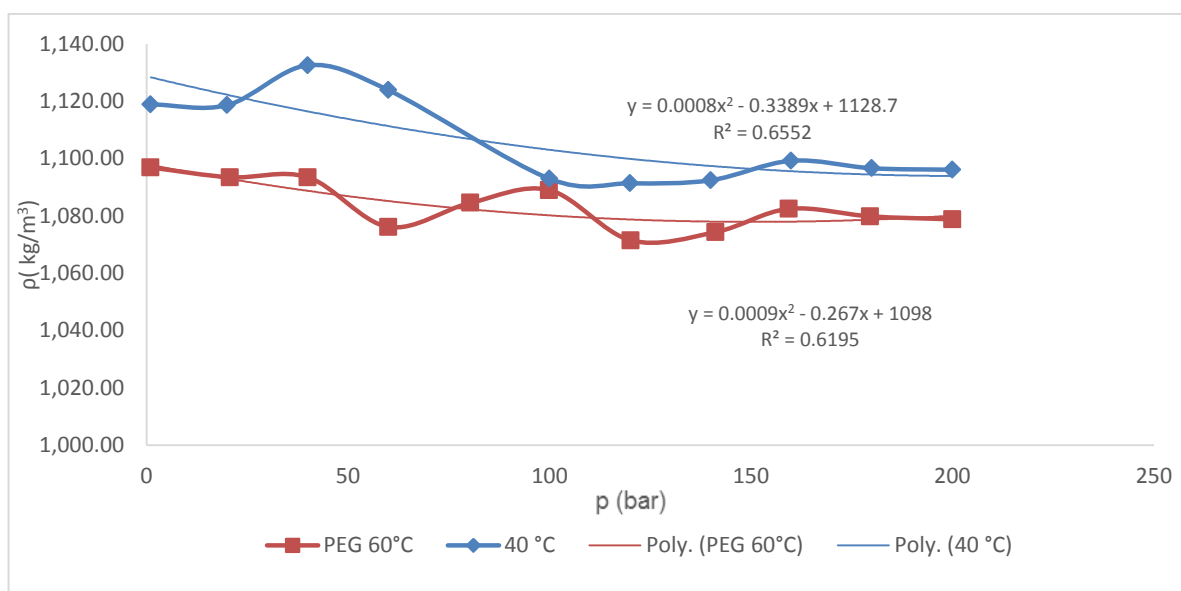
| T (°C) | p bar | m_2 | m_1 | $m_2 \cdot m_1$ | V (mL) | $\rho_{eks}(g/mL)$ | NIST | Napaka |
|----------|---------|----------|----------|-----------------|----------|--------------------|---------|----------|
| 24,5 | 100 | 186,4603 | 186,1550 | 0,3053 | 0,37762 | 0,808486 | 0,81763 | 1,118399 |
| 24,8 | 120 | 186,4780 | 186,1540 | 0,324 | 0,37762 | 0,858006 | 0,84547 | 1,48277 |
| 24,9 | 140 | 186,4837 | 186,1544 | 0,3293 | 0,37762 | 0,872042 | 0,86712 | 0,567587 |
| 25 | 160 | 186,4972 | 186,1545 | 0,3427 | 0,37762 | 0,907527 | 0,88509 | 2,535009 |
| 25 | 180 | 186,4973 | 186,1534 | 0,3439 | 0,37762 | 0,910705 | 0,90056 | 1,126512 |
| 25 | 200 | 186,5036 | 186,1533 | 0,3503 | 0,37762 | 0,927653 | 0,91424 | 1,467141 |
| | | | | | | AARD | | 1,382903 |



Slika 4-12: Primerjava eksperimentalnih podatkov s podatki iz NIST-a.

Metodo smo najprej preverjali tako, da smo določili gostoto čistega CO₂. Eksperimentalne gostote smo primerjali z gostotami iz NIST-a in podali AARD (glej Tabelo 4-6 in Slika 4-12). Točkam na sliki 4-12 smo priredili tudi polinom druge stopnje po metodi najmanjših kvadrantov. Podatki iz NIST-a v območju nad kritično točko (med 100 in 200 bari) ne odstopajo (natančnost je 99,94 %), prav tako naše izmerjene točke ne kažejo večjih odstopanj (natančnost 97,71 %). Na osnovi predhodnih raziskav [55] pa predvidevamo, da je natančnost izmerjenih točk v okolini kritične točke in pod njo bistveno manjša.

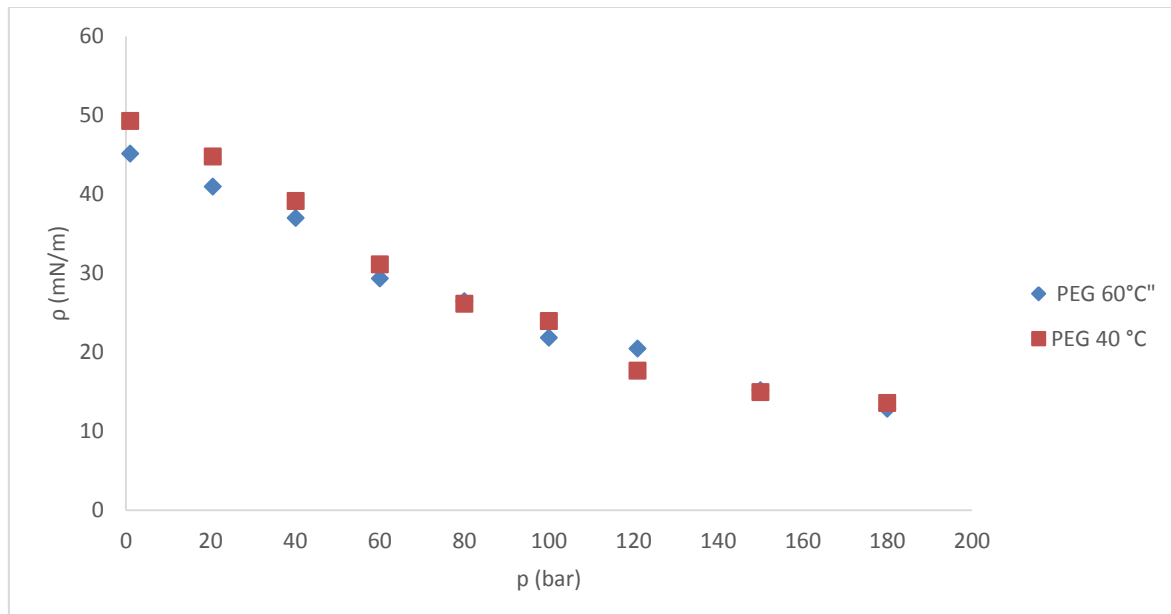
4.6.2 Merjenje gostote PEG 200/CO₂



Slika 4-13: Gostote sistema PEG 200 / CO₂ pri 25 °C v območju tlakov od 1 do 200 barov.

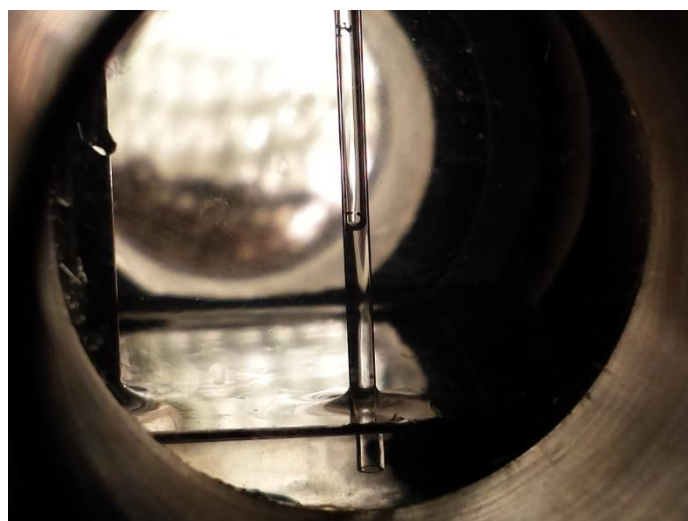
Prvo merjenje gostot z gravimetrično metodo smo izvedli s PEG 200, ki je bil v tekočem agregatnem stanju. Merili smo pri temperaturah 40 °C in 60 °C, saj smo potrebovali čim manj viskozne vzorce. Točkam smo priredili polinom druge stopnje. Pri obeh krivuljah vidimo, da se gostota na začetku nekoliko poviša do kritične točke tlaka in nato pada ter ponovno začne naraščati. Gostota z višanjem temperature pada. Krivulja pri višji temperaturi je imela nižje gostote. Podrobni izračuni gostot določenih z gravimetrično metodo so v tabelah, v prilogi 7.3.

4.6.3 Merjenje površinske napetosti PEG 200/CO₂



Slika 4-14: Površinska napetost PEG 200/CO₂ pri temperaturi 40 °C in 60 °C v območju od 1 do 200 barov.

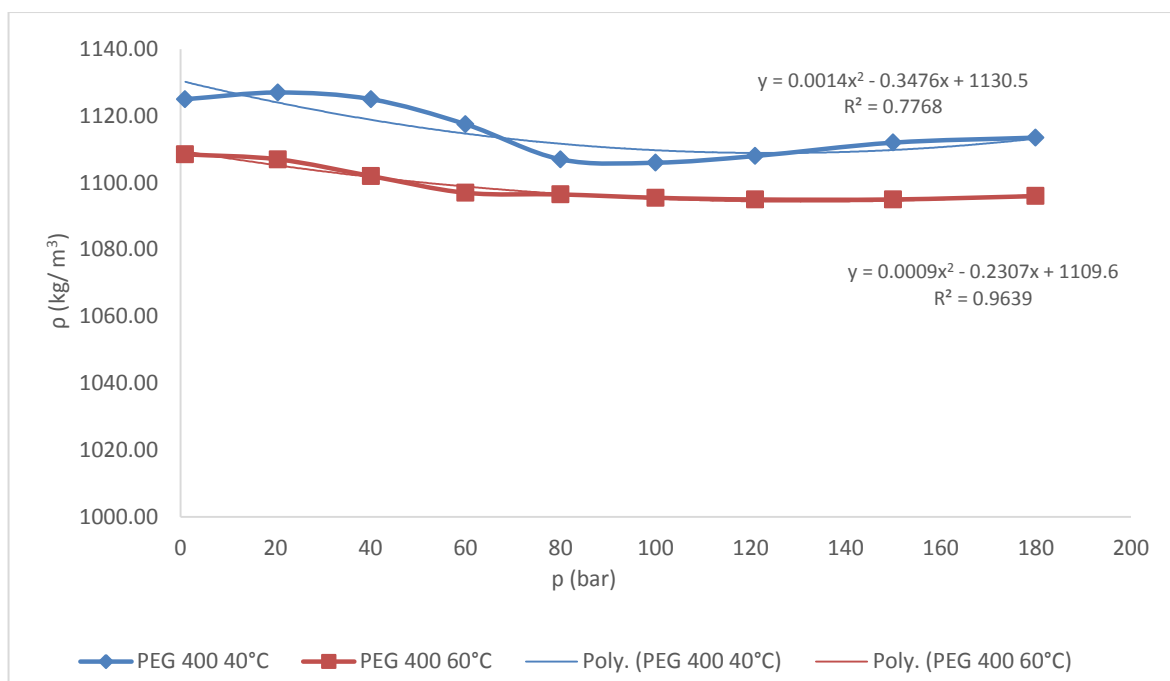
Slika 4-14 prikazuje površinsko napetost binarnega sistema PEG 200/CO₂ pri dveh izotermah v območju od 1 do 180 barov. Pri merjenju ravnotežne višine smo uporabili širšo kapilaro radija 0,4793 mm. Razvidno je, da se površinska sistema PEG 200/CO₂ s tlakom skoraj linearно zmanjšuje. Vpliv temperature je skoraj neopazen. Čeprav je PEG 200 že pod 0 °C tekočina, smo ji merili površinsko napetost pri temperaturi 40 in 60 °C, da smo zmanjšali njeni viskozni rezistenci, ki je potreben pri merjenju z metodo kapilarnega dviga.



Slika 4-15: Kapilarni dvig sistema peg 200/CO₂ pri 60 °C in 180 bar.

4.6.4 Gostote PEG 400, določene z tehniko vibracijske strune

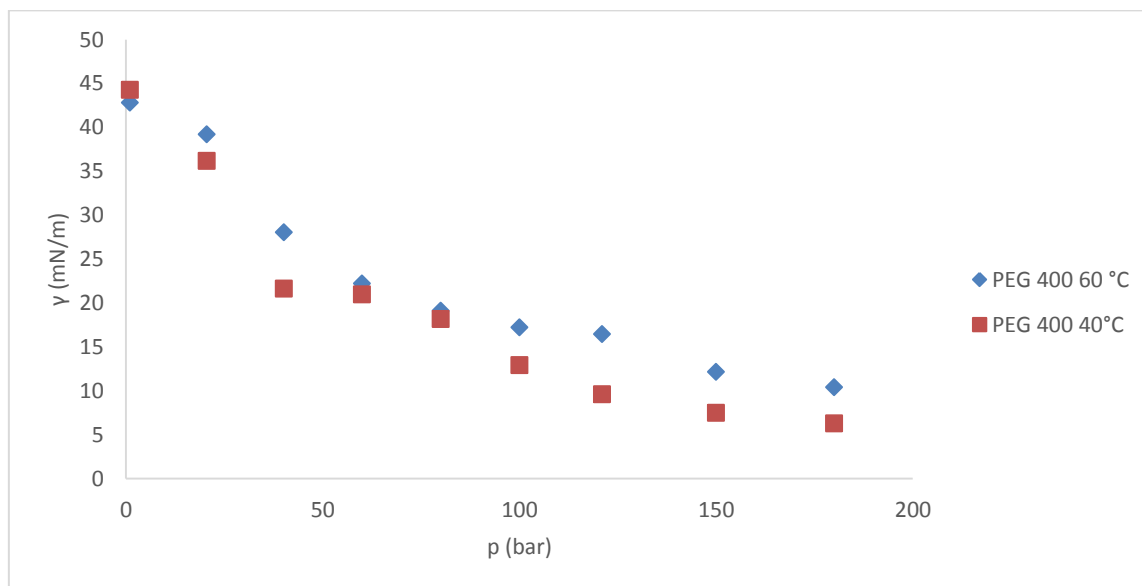
D. Gourguillon [59] in ostali so preučevali viskoznost in gostoto polimera PEG 400 s tehniko vibracijske strune (vibrating-wire technique) visoke natančnosti (napaka $\pm 0,05\%$). Deluje po principu sile vzgona tekočine v posodici obešeni na kovinsko žico, po kateri steče tok določene frekvence, ki se nahaja med permanentnima magnetoma. Rezultanta Lapacove sile premika žico v ravnini proporcionalno magnetnemu toku. Gostota izhaja iz analize resonančne krivulje vibracijske žičke in uporabe natančnega modela za opisovanje hidrodinamičnih učinkov tekočine na gibanje kovinske žice.



Slika 4-16: Vrednosti gostot binarnega sistema PEG 400/CO₂.

Iz slike 4-16 je razvidno, da je spremenjanje gostote tekočega PEG, ki ima nižjo molsko maso, kompleksno. V območju nizkega tlaka ($p < 30$ bar) pri konstantni temperaturi se je gostota PEG 400 vidno povečala in nato po doseženi maksimalni vrednosti zmanjšala po stopnji, ki predvideva, da je odvisna od temperature. Tako se je pri izotermi 40°C, ki je blizu kritične temperature CO₂ ($T_c = 31,2$ °C) in tlaku višjem od kritičnega ($p_c = 7,38$ MPa), gostota nenadoma povečala. V območju višjega tlaka pa je gostota tekočega PEG počasi naraščala s tlakom. [59]

4.6.5 Merjenje površinske napetosti PEG 400/CO₂

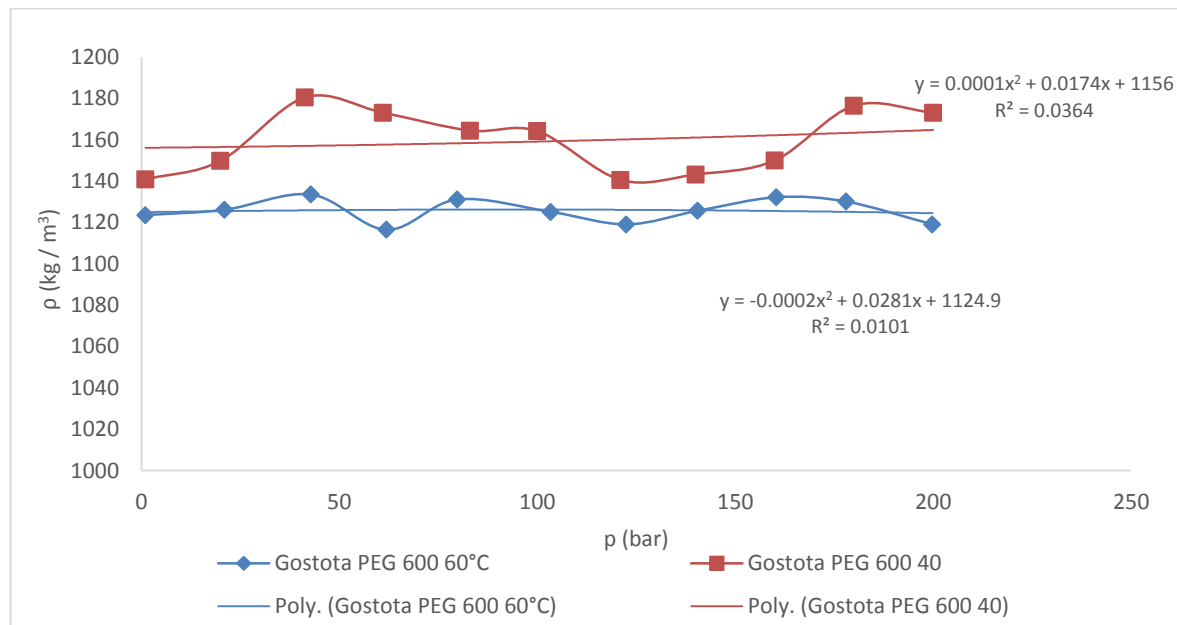


Slika 4-17: Površinska napetost sistema PEG 400/CO₂.

Slika 4-17 prikazuje površinsko napetost binarnega sistema PEG 400/CO₂ pri dveh izotermah, v območju od 1 do 180 barov. Razvidno je, da se površinska napetost sistema PEG 400/CO₂ s tlakom skoraj linearno zmanjšuje, kar je še bolj opazno pri nižji temperaturi (podobno kot v sistemu voda/CO₂). Pri merjenju ravnotežne višine smo uporabili širšo kapilaro radija; 0,4793 mm. Čeprav je PEG 400 že pri 5 °C tekočina, smo merili površinsko napetost, tako kot pri PEG 200, pri temperaturi 40 in 60 °C, da smo zmanjšali njeni viskozni rezistenci, ki mora biti čim manjša pri merjenju s kapilarno metodo.

Predvidevamo, da so meritve površinske napetosti PEG 400/CO₂ dale najnatančnejše meritve za polimere, saj je gostota določena z natančnejšo metodo od gravimetrične, ki je dala le približne vrednosti.

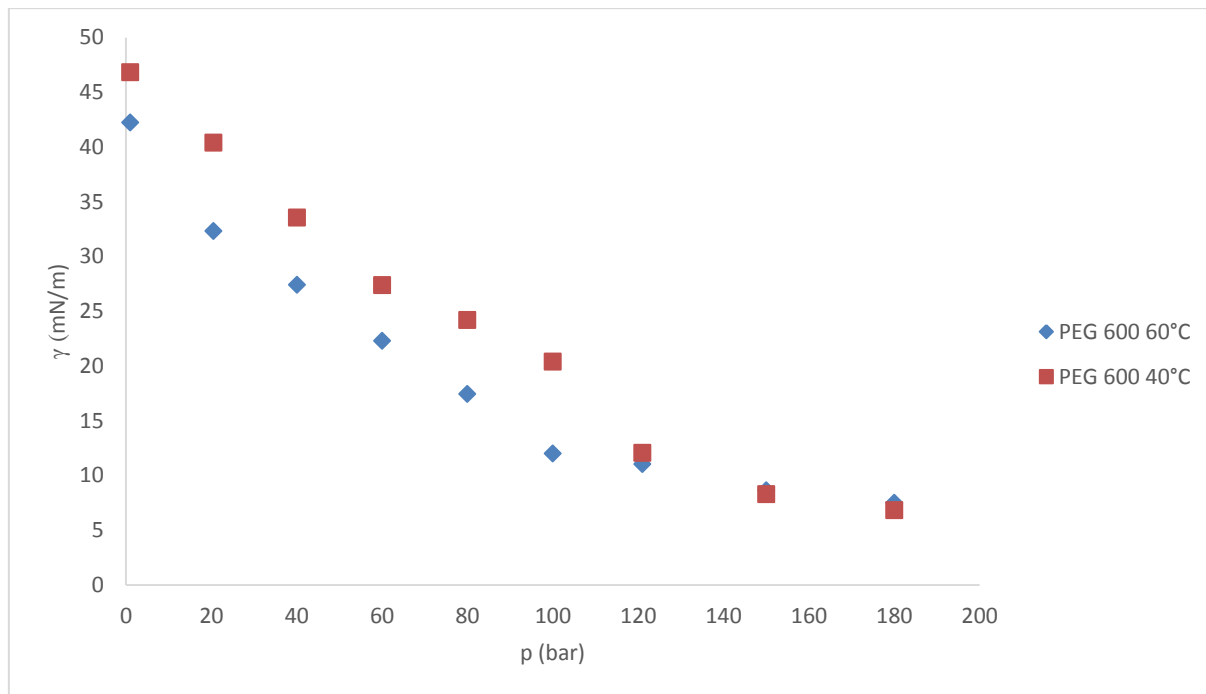
4.6.6 Merjenje gostote PEG 600/CO₂



Slika 4-18: Gostote PEG 600/CO₂.

Slika 4-18 prikazuje gostote PEG 600/CO₂ z gravimetrično metodo. Pri izotermnih krivuljah vidimo, da se gostota kompleksno spreminja in ima nizko vrednost R^2 (možno odstopanje od prave vrednosti). Edina primerljivost z natančno metodo vibracijskih strun je, da je gostota po celotni krivulji z višjo temperaturo nižja.

4.6.7 Merjenje površinske napetosti PEG 600/CO₂



Slika 4-19: Površinska napetost sistema PEG 600/CO₂.

Slika 4-19 prikazuje površinsko napetost binarnega sistema PEG 600/CO₂ pri dveh izotermah v območju od 1 do 180 barov. Pri merjenju ravnotežne višine smo uporabili širšo kapilaro radija; 0,4793 mm. Razvidno je, da se površinska napetost sistema PEG 600/CO₂ s tlakom skoraj linearno zmanjšuje. Čeprav je PEG 600 pri sobnih pogojih tekočina, smo ji merili površinsko napetost pri temperaturi 40 in 60 °C, da smo zmanjšali njeni viskozni, ki mora biti čim manjša pri merjenju s kapilarno metodo.

5 Zaključek

V eksperimentalnem delu magistrske naloge smo postavili merilno napravo in razvili novo metodo merjenja površinske napetosti dvofaznih sistemov s kapilarnim dvigom v okolici kritične točke. Za pridobitev natančnih in primerljivih meritev smo morali izmeriti čim natančnejši notranji premer tankih kapilar Zelo natančne rezultate z odstopanjem $\pm 0,01$ mm smo dobili z metodo laserskega tipanja kapilare, ki smo jo primerjali s klasično metodo, da smo lahko ovrednotili njeno natančnost. Ugotovili smo, da lahko s klasično metodo kapilarnega dviga izmerimo notranji premer kapilare z visoko natančnostjo do desetinske milimetra.

Prav tako smo določevali čas, potreben, da se je v tekočino pomočeni kapilari vzpostavila ravnotežna višina. Ugotovili smo, da je potrebno počakati za vzpostavitev ravnotežne višine ob začetku merjena pri 1 baru minimalno 20 min, medtem ko je čas vzpostavitve ravnotežja pri višjih tlakih dosežen že v nekaj minutah. Do podobnih ugotovitev je pri visokih tlakih prišel tudi Chun [2]. Analizo ravnotežne višine smo izvedli s pomočjo računalniškega programa Logger pro, s katerim smo lahko merili kapilarni dvig z natančnostjo do $\pm 0,01$ mm.

Prve meritve površinske napetosti s kapilarno metodo smo izvedli za sistem voda/CO₂ pri treh izotermah in jih primerjali z literaturo. Ugotovili smo, da daje naša metoda odlične rezultate, ki so primerljivi in ponovljivi. Pri merjenju smo uporabljali dvoje kapilar velikosti 125 mm z različnima notranjima premeroma, saj je bila v območju nizkega tlaka ($pc \leq 0$) optimalna kapilara z manjšim premerom, v območju nad kritičnim tlakom pa kapilara z večjim premerom. Rezultati kažejo, da je s povečanjem tlaka opaziti linearno zmanjšanje površinske napetosti do območja fazne spremembe CO₂, ki še bolj pada pri nižjih temperaturah. V območju višjih tlakov pa je bilo opaziti skorajšnjo neodvisnost spremembe površinske napetosti od tlaka.

Zaradi preiskušanja možnosti skladiščenja toplogrednega plina CO₂ v slanico, smo v avtoklavu simulirali razmere, ki potekajo pri vbrizgavanju CO₂ v slane reke več kilometrov pod zemljo. Ugotovili smo da se z višanjem koncentracije soli v vodni raztopini viša vrednost površinske napetosti.

Ker postaja pomembno tudi procesiranje polimerov s SCF CO₂, smo želeli pridobiti še termodinamske podatke v okolici kritične točke. Zato smo izmerili površinsko napetost tekočim polimerom PEG/CO₂. Gostoto dvofaznega sistema PEG 400/CO₂ smo dobili iz literature. Izmerjena je bila z natančno tehniko vibracijske strune, ki smo jo primerjali z uporabljeno gravimetrično tehniko. Ugotovili smo, da z gravimetrično metodo dobimo približne vrednosti, za katere predvidevamo, da pri nizkih tlakih in v okolici kritične točke odstopajo. Rezultati kažejo, da se je površinska napetost sistema PEG/CO₂ s tlakom skoraj linearno zmanjševala, kar je bilo še bolj opazno pri nižji temperaturi (podobno kot v sistemu voda/CO₂).

S vzpostavljivo nove naprave in razvojem metode merjenja, ki daje primerljive rezultate, smo odprli nove možnosti za raziskovanje površinske napetost še neznanim dvofaznim sistemom. Eno od zanimivih možnosti bi bilo merjenje površinske napetosti dvofaznih sistemov, katerim bi dodali surfaktante, ki zmanjšujejo površinsko napetosti in povečajo transportne lastnosti mešanice (obetavno v naftni industriji). Prav tako bi bilo smiselno razviti bolj natančno metodo merjenja gostot v okolici kritične točke.

6 Literatura

- [1] A. Hebach, Interfacial Tension at Elevated Pressuress Measurements and Correlations in the Water +Carbon Dioxide System, Institute for Technical Chemistrys CPV, Forschungszentrum Karlsruhe GmbH, Postfach 3640, 76021 Karlsruhe, Germany, J. Chem. Eng. Data 2002, 47, 1540-1546
- [2] B.S Chun, Interfacial Tension in High-Pressure Carbon Dioxide Mixtures, Department of Food Engineering, Pusan National (University of Technology, Pusan, of South Korea, and School Chemical Technology, Ind. Eng. Chem. Res. 1995, 34, 4371-4377
- [3] C. Jho, Effect of Pressure on the Surface Tension of Water : Adsorption of Hydrocarbon gases and Carbon Dioxide on Water At Temperatures between 0 and 50° C, Department of Chemistry, University of Georgia, Athens, Georgia 30602, Recived July 28, 1977
- [4] Z. Lun, Interfacial Tensions between Reservoir Brine and CO₂ at High Pressures for Different Salinity, Petroleum Exploration & Production Research Institute, SINOPEC, Beijing 100083, China
- [5] C F. Wenaugi, Surface Tensions of Methane - Propane Mixtures, Industrial and Engineering Chemistry, February, 1943.
- [6] Goran Bezjak, Dinamika kapilarnega pomika, Fakulteta za matematiko in fiziko, http://mafija.fmf.uni-lj.si/seminar/files/2007_2008/DinamikaKapilarnegaPomikak.pdf, (dostop: julij 2014)
- [7] B. Božič, J. Derganc, Praktikum iz biofizike, Študijsko leto 2011/2012 : <http://m.mf.uni-lj.si/dokumenti/6c6b299330d6bcd7d71ef9bc76ae17ec.pdf> (dostop :julij 2014)
- [8] Kladnik R,Visokošolska fizika, 1. del. Ljubljana: Državna založba Slovenije, 1985.
- [9] Physical Properties Sources Index (PPSI), http://www.ppsi.ethz.ch/fmi/xsl/eqi/eqi_property_details_en.xsl?node_id=1113 (dostop julij 2014)
- [10] Odvisnost temperature: <http://astarmathsandphysics.com/a-level-physics-notes/experimental-physics/a-level-physics-notes-variation-of-surface-tension-with-temperature.html>
- [11] Mojca Slemnik, Poskusi v fizikalni kemiji, zbrano gradivo 2014 <http://www.fkkt.uni-mb.si/edu/egradiva/vfk.pdf> (dostop julij, 2014)
- [12] Surface Tension Measurements, Physical Chemistry Laboratory: <http://infohost.nmt.edu/~jaltig/SurfaceTension.pdf> (dostop: julij 2014)
- [13] Mitropoulos AC, What is surface excess, Journal of Engineering Science and Technology Review 1,1 1-3 (2008)
- [14] Surface tension of liquids: <http://www.udel.edu/pchem/C446/Experiments/exp1.pdf> (dostop julij 2014)

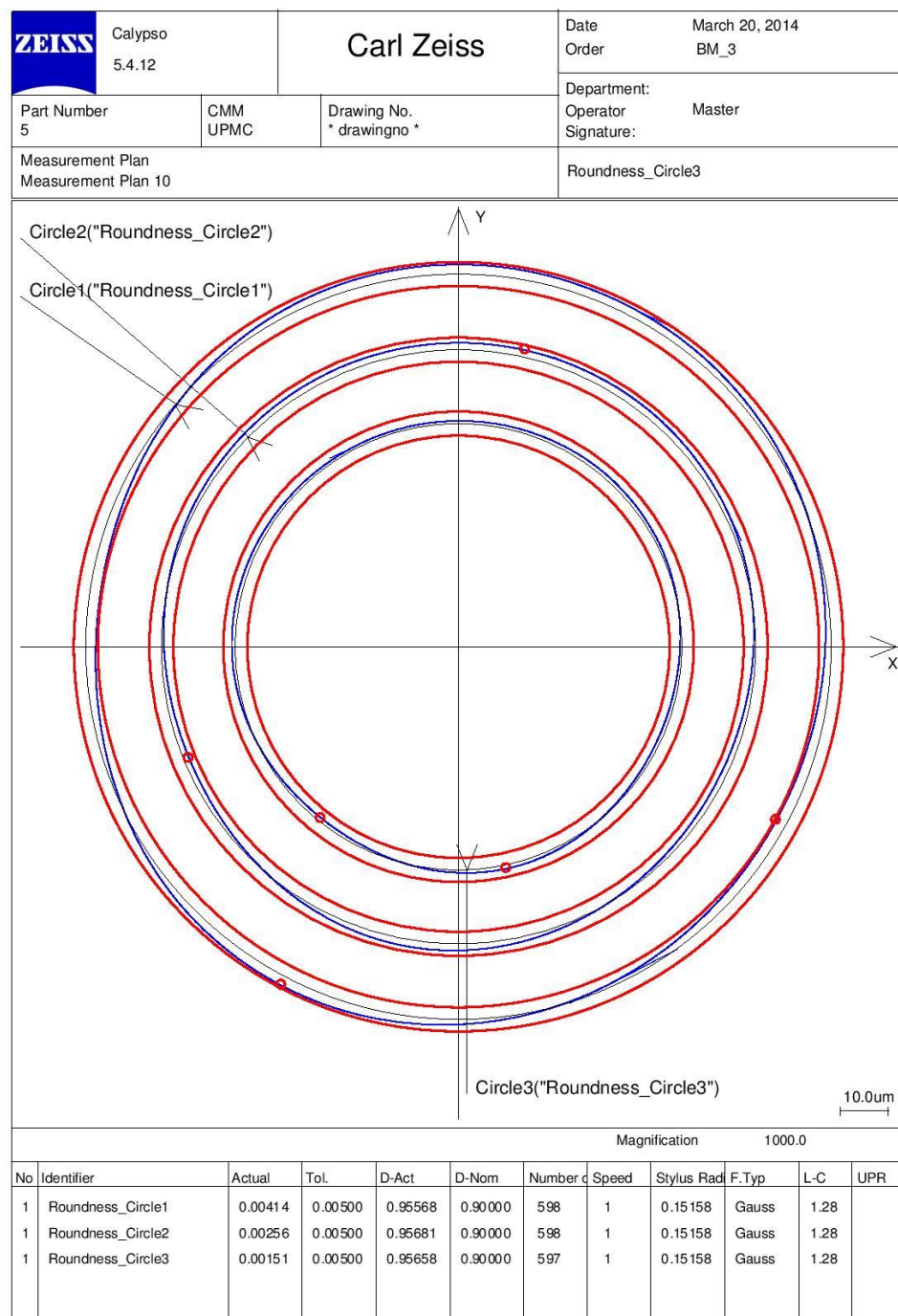
- [15] Surface tension values: http://en.wikipedia.org/wiki/Surface-tension_values (dostop julij 2012)
- [16] Surface Chemistry in the Petroleum Industry :
http://www.firp.ula.ve/archivos/cuadernos/02_Chap_Kanicky_Shah.pdf
(dostop julij 2014)
- [17] Top-5-industries-to-use-surface-tension:
<http://72dynes.blogspot.com/2011/09/top-5-industries-to-use-surface-tension.html>
- [18] Laurence Galet *, Severine Patry, John Dodds, Determination of the wettability of powders by the Washburn capillary rise method with bed preparation by a centrifugal packing technique, Journal of Colloid and Interface Science 346 (2010) 470–475
- [19] SurfaceTensionBasics:
http://www.teachengineering.org/view_lesson.php?url=collection/duk_lessons/duk_surfacetensionunit_lessons/duk_surfacetensionunit_less1.xml (dostop: julij 2014)
- [20] Silicone Products for antifoam agents in the detergents industry:
http://www.wacker.com/cms/media/documents/markets_brands/consumer_care_1/home_science/Household_Science_Antifoam.pdf (dostop: julij 2014)
- [21] Silicone Products for antifoam agents in the detergents industry:
http://www.wacker.com/cms/media/documents/markets_brands/consumer_care_1/home_science/Household_Science_Antifoam.pdf (dostop: julij 2014)
- [22] Anahita Fathi-Azarbajania, Abolghasem Jouybanb, Sui Yung Chan : Impact of Surface Tension in Pharmaceutical Sciences, J Pharm Pharmaceut Sci (www.cspscanada.org) 12(2) 218-228, 2009
- [23] Development of hydrogen storage materials:
<http://hpp.uva.es/development-of-hydrogen-storage-materials-by-impregnation-of-hydride-precursors-in-functionalized-aerogel-supports/> (dostop: julij 2014)
- [24] J. Drelich, C. Fang, and C. L. White, “Measurement of interfacial tension in fluid-fluid systems,” in Encyclopedia of Surface and Colloid Science. Marcel Dekker, 2002.
<http://chipre.iqm.unicamp.br/~wloh/cursos/extensao/m2.pdf> (dostop :julij 2014)
- [25] Dani OR, Capillarity 1, Department of Civil and Environmental Engineering University of Connecticut, Storrs, Connecticut , (Revised 09/13/2003)
http://www.engr.uconn.edu/environ/envphys/pdf/vadose_pdf/Capillarity_revised01.pdf (dostop : julij 2014)
- [26] Surface tension of liquids. <http://www.udel.edu/pchem/C446/Experiments/exp1.pdf> (dostop : julij 2014)
- [27] Michael Mulqueen and Paul D. T. Hiibers, Massachusetts Institute of Technology, Cambridge, MA, USA : <http://www.surface-tension.org/article/56.html> (dostop :julij 2014)
- [28] R. Masoodi, Dynamics of liquid rise in a vertical capillary tube, School of Design and Engineering, Philadelphia University, 4201 Henry Ave., Philadelphia, PA 19144, USA, Journal of Colloid and Interface Science 389 (2013) 268–272
- [29] C.W. Extrand, Sung In Moon, Experimental measurement of forces and energies associated with capillary rise in a vertical tube, Journal of Colloid and Interface Science 407 (2013) 488–492

- [30] Gui Lu, Study on initial stage of capillary rise dynamics, *Colloids and Surfaces A: Physicochem. Eng. Aspects* 433 (2013) 95– 103
- [31] What is the surface tension:
http://www.facekyowa.co.jp/english/en_science/en_theory/en_what_Surface_tension/
(dostop: julij 2014)
- [32] C. Duchateau, D. Broseta, A simple method for determining brine–gas interfacial tensions, *Advances in Water Resources* 42 (2012) 30–36
- [33] W. Xing, Research Progress of the Interfacial Tension in Supercritical, CO₂-water / oil System, Key Laboratory of Ocean Energy Utilization and Energy Conservation of Ministry of Education, Dalian University of Technology, Dalian 116024, China, *Energy Procedia* 37 (2013) 6928 – 6935
- [34] C. Chalbaud, M. Robin, Interfacial tension measurements and wettability evaluation for geological CO₂ storage, Institut Français du Pétrole (IFP), 1 et 4, Avenue de Bois Préau, 92852 Rueil Malmaison Cedex, France, *Advances in Water Resources* 32 (2009)
- [35] IPCC, 2005: IPCC Special Report on Carbon Dioxide Capture and Storage. Prepared by Working Group III of the Intergovernmental Panel on Climate Change [Metz, B.,O. Davidson, H. C. de Coninck, M. Loos, and L. A. Meyer (eds.)]. Cambridge University, Press, Cambridge, United Kingdom and NewYork, NY, USA, 442 pp.
- [36] Kaj geološko skladiščenje CO₂ pravzaprav pomeni?
http://www.cgseurope.net/UserFiles/file/Hot%20of%20the%20press/slovenian_protected.pdf
(dostop: julij 2014)
- [37] M. Knez Hrnčič, Sustainable processes using sub- and super critical fluids, 20th International Congress of Chemical and Process Engineering CHISA 2012, 25 – 29 August 2012, Prague, Czech Republic, *Procedia Engineering* 42 (2012) 1788 – 1795
- [38] Fazni diagram : http://sl.wikipedia.org/wiki/Slika:Phase-diag_sl.svg(dostop :julij 2014)
- [39] Knez, Željko in Mojca, Škerget. 1999. *Termodifuzijski separacijski procesi*. Maribor: Fakulteta za kemijo in kemijsko tehnologijo
- [40] Annex I, Properties of CO₂ and carbon-based fuels, <http://www.ipcc-wg3.de/special-reports/.files-images/SRCCS-AnnexI.pdf> (dostop: julij 2014)
- [41] Supercritical Fluid Science and Technology, Chapter 2, Supercritical Fluids [file:///C:/Users/grego_000.GREGOR/Downloads/02c2%20\(2\).pdf](file:///C:/Users/grego_000.GREGOR/Downloads/02c2%20(2).pdf) (dostop: julij 2013)
- [42] T. Kolini, Prenos topote in snovi: Učbenik za Visoke šole. Ljubljana: Fakulteta za naravoslovje in tehnologijo, Oddelek za kemijo in kemijsko tehnologijo, 1993.
- [43] What is a Supercritical Fluid ? Carbon dioxide and other fluids:
<http://www.futurechemtech.com/data/What%20is%20a%20Supercritical%20Fluid.pdf>
(dostop: julij 2014)
- [44] Michel Perrut, Supercritical Fluid Applications: Industrial Developments and Economic Issues, *Ind. Eng. Chem. Res.* 2000, 39, 4531-4535.
- [45] Manca Mrvar, SUPERKRITIČNE TEKOČINE , Seminar Ia - 1. letnik, II. Stopnja, http://mafija.fmf.uni-lj.si/seminar/files/2012_2013/SUPERKRITICNE_TEKOCINE.pdf(dostop: julij 2014)

- [46] B. Špička, Thermodynamic and transport properties in supercritical fluids (Faculty of technical sciences, University of Maribor, Maribor, Trieste, 1994)
- [47] Nina Trupej, Termodinamske lastnosti sistema polietilen glikol (PEG)/ogljikov dioksid (CO_2) : diplomsko delo univerzitetnega študijskega programa, Diplomsko delo, 2012
- [48] Polyethylene glycol (PEG) :
<http://classroom.synonym.com/polyethylene-glycol-2507.html> (dostop: julij 2014)
- [49] PEG.jpg : <http://id.wikipedia.org/wiki/Berkas:PEG.jpg> (dostop: julij 2014)
- [50] Kalkulator slanosti oceanov:
http://www.csgnetwork.com/water_density_calculator.html (dostop : julij 2014)
- [51] Properties of Water and Seawater:
http://www.ocean.washington.edu/courses/oc421/Lecture_Notes/CHPT3.pdf
(dostop : julij 2014)
- [52] Polyethylene glycols (PEGs) and the pharmaceutical industry :
[file:///C:/Users/grego_000.GREGOR/Desktop/Magisterij/polimer-co2/Polyethylene_glycols_\(PEGs\)_and_the_pharmaceutical_industry%20!!!.pdf](file:///C:/Users/grego_000.GREGOR/Desktop/Magisterij/polimer-co2/Polyethylene_glycols_(PEGs)_and_the_pharmaceutical_industry%20!!!.pdf)
(dostop: julij 2014)
- [53] CARBOWAX™ PEGs and MPEGs :
http://msdssearch.dow.com/PublishedLiteratureDOWCOM/dh_0865/0901b8038086527b.pdf?filepath=polyglycols/pdfs/noreg/118-01789.pdf&fromPage=GetDoc
(dostop: julij 2014)
- [54] NIST: <http://webbook.nist.gov/chemistry/fluid/> (dostop: julij 2014)
- [55] G. Mlakar : Določitev gostote sistemov polimer / CO_2 , Diplomsko delo, 2012
- [56] Ž. Knez, M. Škerget, Vapor–liquid equilibrium of binary CO_2 –organic solvent systems(ethanol, tetrahydrofuran, ortho-xylene, meta-xylene, para-xylene), University of Maribor, Faculty of Chemistry and Chemical Engineering, Smetanova 17, SI-2000 Maribor, Slovenia, J. of Supercritical Fluids 43 (2008) 383–389
- [57] Logger Pro: <http://www.vernier.com/products/software/lp/> (dostop : julij 2014)
- [58] M. B. King ; A. Mubarak. The Mutual Solubilities of Water with Supercritical and Liquid Carbon Dioxide. J.Supercrit. Fluids 1992, 5, 296-302.
- [59] D. Gourguillon, Simultaneous viscosity and density measurement of supercritical CO_2 -saturated PEG 400, Journal of Supercritical Fluids 13 (1998) 177–185

7 Priloge

7.1 Meritev notranjega premera v treh ciklih s pomočjo programske opreme Calypso 5.4.12



7.2 Rezultati meritev notranjega premera s programsko opremo Calypso.

| ZEISS Calypso | | | | | |
|---|------------------------|------------------------------|------------|-----------|-----|
| Measurement Plan Measurement Plan 10 | Date March 20, 2014 | | | | |
| Drawing No. * drawingno * | Time 7:01:40 am | Order BM_3 | | | |
| Operator Master | CMM C32Bit | Incremental Part Number 5 | | | |
| Actual | Nominal | Upper Tol. | Lower Tol. | Deviation | |
|  Overall Result All Characteristics: ...in Tolerance: 7 ...Out of tolerance: 0 ...Over Warning Limit: 0 ...Not Calculated: 0 Total Coord. systems: 1 ...Not Calculated: 0 Total Text elements: 0 | | | | | |
|  Diameter_Circle1 0.95608 | 0.90000 | 0.07000 | -0.07000 | 0.05608 | --- |
|  Diameter_Circle2 0.95729 | 0.90000 | 0.07000 | -0.07000 | 0.05729 | --- |
|  Diameter_Circle3 0.95703 | 0.90000 | 0.07000 | -0.07000 | 0.05703 | --- |
|  Average1 0.95680 | 0.90000 | 0.07000 | -0.07000 | 0.05680 | --- |
|  Roundness_Circle1 0.00414 | 0.00000 | 0.00500 | | 0.00414 | --- |
|  Roundness_Circle2 0.00256 | 0.00000 | 0.00500 | | 0.00256 | --- |
|  Roundness_Circle3 0.00151 | 0.00000 | 0.00500 | | 0.00151 | -- |

7.3 Podatki za izračun površinske napetosti sistema voda/CO₂

7.3.1 Podatki za izračun površinske napetosti sistema voda/CO₂ pri 25°C

| <i>p</i> (bar) | <i>h</i> (mm) | ρ_w (kg/m ³) | ρ_{CO_2} (kg/m ³) | <i>g</i> (m/s ²) | <i>r</i> (m) | γ (mN/m) |
|----------------|---------------|-------------------------------|------------------------------------|------------------------------|--------------|-----------------|
| 1 | 97,64 | 997,01 | 1,829 | 9,81 | 0,000154 | 71,5290 |
| 10 | 91 | 997,05 | 18,725 | 9,81 | 0,00015 | 65,5380 |
| 20 | 86 | 997,09 | 39,805 | 9,81 | 0,00015 | 60,6069 |
| 30 | 78 | 997,14 | 64,185 | 9,81 | 0,00015 | 53,5752 |
| 40,1 | 73,88 | 997,18 | 94,325 | 9,81 | 0,00015 | 49,1099 |
| 49,8 | 70,18 | 997,23 | 130,830 | 9,81 | 0,00015 | 44,7684 |
| 56,4 | 67,351 | 997,27 | 258,400 | 9,81 | 0,00015 | 36,6408 |
| 60 | 54,1 | 997,32 | 191,450 | 9,81 | 0,00015 | 32,1066 |
| 65,8 | 48,254 | 997,36 | 715,50 | 9,81 | 0,00048 | 33,4713 |
| 69,5 | 51,99 | 997,41 | 783,49 | 9,81 | 0,00048 | 27,3634 |
| 80 | 57,097 | 997,45 | 776,64 | 9,81 | 0,00048 | 31,0104 |
| 121 | 77,72 | 997,81 | 846,67 | 9,81 | 0,00048 | 28,8703 |
| 140 | 85,32 | 997,9 | 867,12 | 9,81 | 0,00048 | 27,4188 |
| 165,9 | 87,42 | 998,13 | 889,15 | 9,81 | 0,00048 | 23,4096 |
| 180 | 100,6 | 998,23 | 900,800 | 9,81 | 0,00048 | 24,0779 |
| 200 | 110,6 | 998,35 | 914,780 | 9,81 | 0,00048 | 22,7022 |

7.3.2 Podatki za izračun površinske napetosti sistema voda/CO₂ pri 45°

| <i>p</i> (bar) | <i>h</i> (mm) | ρ_w (kg/m ³) | ρ_{CO_2} (kg/m ³) | <i>g</i> (m/s ²) | <i>r</i> (m) | γ (mN/m) |
|----------------|---------------|-------------------------------|------------------------------------|------------------------------|--------------|-----------------|
| 1 | 92,37 | 997,01 | 1,574 | 9,81 | 0,000154 | 69,49368 |
| 11,4 | 88,1 | 997,05 | 19,16 | 9,81 | 0,000154 | 65,11464 |
| 21,7 | 83,9 | 997,09 | 39,805 | 9,81 | 0,000154 | 60,70558 |
| 32 | 80,42 | 997,14 | 61,92 | 9,81 | 0,000154 | 56,84794 |
| 41,3 | 76,5 | 997,18 | 85,05 | 9,81 | 0,000154 | 52,74353 |
| 52,9 | 72,97 | 997,23 | 130,83 | 9,81 | 0,000154 | 47,789 |
| 61 | 70,63 | 997,27 | 145,3 | 9,81 | 0,000154 | 45,48715 |
| 73,5 | 69,55 | 997,32 | 206,45 | 9,81 | 0,000154 | 41,5798 |
| 82,9 | 70,25 | 997,36 | 264,19 | 9,81 | 0,000154 | 38,93391 |
| 91,8 | 74,9 | 997,41 | 356,7 | 9,81 | 0,000154 | 36,27443 |
| 100 | 89,5 | 997,45 | 489 | 9,81 | 0,000154 | 34,39379 |
| 120 | 36,78 | 998,23 | 661,93 | 9,81 | 0,000478 | 29,15061 |
| 129 | 40 | 998,23 | 692,73 | 9,81 | 0,000478 | 28,78918 |
| 150 | 45 | 998,23 | 743,91 | 9,81 | 0,000478 | 26,95005 |
| 180 | 51,36 | 998,83 | 790,84 | 9,81 | 0,000478 | 25,14456 |
| 200,000 | 60,250 | 997,900 | 812,680 | 9,81 | 0,000478 | 26,289 |

7.3.3 Podatki za izračun površinske napetosti sistema voda/CO₂ pri 60°C

| p (bar) | h (mm) | ρw (kg/m ³) | ρCO_2 (kg/m ³) | g (m/s ²) | r (m) | γ (mN/m) |
|-----------|----------|-------------------------------|----------------------------------|-------------------------|----------|-----------------|
| 1 | 89 | 997,01 | 1,5943 | 9,81 | 0,000154 | 66,95833 |
| 10,9 | 88,08 | 997,05 | 18,17 | 9,81 | 0,000154 | 65,16577 |
| 20,4 | 84,845 | 997,09 | 34,21 | 9,81 | 0,000154 | 61,74771 |
| 30,5 | 80,8 | 997,14 | 53,52 | 9,81 | 0,000154 | 57,62939 |
| 40,7 | 76,8 | 997,18 | 76,96 | 9,81 | 0,000154 | 53,41987 |
| 50,5 | 74,71 | 997,23 | 100,81 | 9,81 | 0,000154 | 50,62305 |
| 61,5 | 72,31 | 997,27 | 130,68 | 9,81 | 0,000154 | 47,36745 |
| 74,4 | 70,47 | 997,32 | 169,21 | 9,81 | 0,000154 | 44,11317 |
| 82,3 | 70,16 | 997,36 | 199,82 | 9,81 | 0,000154 | 42,29796 |
| 90,3 | 71,19 | 997,41 | 235,39 | 9,81 | 0,000154 | 41,00701 |
| 101,1 | 71,21 | 997,45 | 296,13 | 9,81 | 0,000154 | 37,75113 |
| 120,5 | 22 | 998,23 | 434,34 | 9,81 | 0,000478 | 29,29665 |
| 130 | 26,376 | 998,23 | 511,34 | 9,81 | 0,000478 | 30,29161 |
| 141 | 28,94 | 998,23 | 567,82 | 9,81 | 0,000478 | 29,36516 |
| 150 | 31,2 | 998,23 | 607,7 | 9,81 | 0,000478 | 28,71363 |
| 180 | 40 | 998,23 | 678,25 | 9,81 | 0,000478 | 30,12841 |
| 200 | 44 | 998,23 | 723,68 | 9,81 | 0,000478 | 28,42568 |

7.4 Podatki za izračun površinske napetosti sistema slanica/CO₂

7.4.1 Površinske napetosti sistema slanica/CO₂ s koncent. soli 1,4 g/L pri 25°C

| <i>p</i> (bar) | <i>h</i> (mm) | ρ_w (kg/m ³) | ρCO_2 (kg/m ³) | <i>g</i> (m/s ²) | <i>r</i> (m) | γ (mN/m) |
|----------------|---------------|-------------------------------|----------------------------------|------------------------------|--------------|-----------------|
| 1 | 96,42 | 1007,59 | 1,829 | 9,81 | 0,000154 | 73,29136 |
| 10 | 91,23 | 1007,99 | 18,725 | 9,81 | 0,000154 | 68,21099 |
| 20,8 | 84,98 | 1008,43 | 40,09 | 9,81 | 0,000154 | 62,19659 |
| 32 | 77,16 | 1008,32 | 71,681 | 9,81 | 0,000154 | 54,62771 |
| 42,7 | 71,61 | 1009,42 | 100,14 | 9,81 | 0,000154 | 49,22007 |
| 50,3 | 67,82 | 1009,56 | 132,92 | 9,81 | 0,000154 | 44,94355 |
| 57,7 | 72,57 | 1010,09 | 164,6 | 9,81 | 0,000154 | 46,38018 |
| 69 | 49 | 1010,59 | 736,94 | 9,81 | 0,000478 | 31,56696 |
| 81,1 | 57,19 | 1011,11 | 779,21 | 9,81 | 0,000478 | 31,2076 |
| 91,8 | 62,07 | 1011,58 | 802,07 | 9,81 | 0,000478 | 30,59363 |
| 101 | 66,67 | 1011,98 | 819,99 | 9,81 | 0,000478 | 30,10764 |
| 120,3 | 75,11 | 1012,81 | 846,61 | 9,81 | 0,000478 | 29,35486 |
| 152,9 | 81,35 | 1014,18 | 879,78 | 9,81 | 0,000478 | 25,70618 |
| 183 | 82,05 | 1015,5 | 903,03 | 9,81 | 0,000478 | 21,69645 |
| 204 | 82,08 | 1016,09 | 916,87 | 9,81 | 0,000478 | 19,14739 |

7.4.2 Površinske napetosti sistema slanica/CO₂ s koncent. soli 100 g/L pri 25°C

| <i>p</i> (bar) | <i>h</i> (mm) | ρ_w (kg/m ³) | ρCO_2 (kg/m ³) | <i>g</i> (m/s ²) | <i>r</i> (m) | γ (mN/m) |
|----------------|---------------|-------------------------------|----------------------------------|------------------------------|--------------|-----------------|
| 1 | 89,98 | 1073,64 | 1,829 | 9,81 | 0,000154 | 72,89062 |
| 10,3 | 85,185 | 1074,09 | 19,11 | 9,81 | 0,000154 | 67,92485 |
| 20,1 | 80,85 | 1074,4 | 40,9 | 9,81 | 0,000154 | 63,15764 |
| 30,2 | 75 | 1074,8 | 66,08 | 9,81 | 0,000154 | 57,18588 |
| 40,8 | 69,03 | 1075,25 | 96,658 | 9,81 | 0,000154 | 51,06486 |
| 56 | 63,53 | 1075,61 | 164,6 | 9,81 | 0,000154 | 43,75347 |
| 60,1 | 77,74 | 1075,25 | 194,71 | 9,81 | 0,000154 | 51,74162 |
| 87 | 44,7 | 1077,05 | 793,69 | 9,81 | 0,000478 | 29,82791 |
| 100,9 | 47,82 | 1077,65 | 818,36 | 9,81 | 0,000478 | 29,19251 |
| 120 | 50 | 1074,4 | 846,61 | 9,81 | 0,000478 | 26,81129 |
| 155 | 56,8 | 1079,719 | 877,08 | 9,81 | 0,000478 | 27,08439 |
| 182 | 62,554 | 1080,71 | 902,33 | 9,81 | 0,000478 | 26,25047 |
| 204 | 72,36 | 1081,61 | 916,78 | 9,81 | 0,000478 | 28,04924 |
| 239 | 72,36 | 1082,96 | 937,77 | 9,81 | 0,000478 | 24,70708 |
| 290 | 73,1 | 1084,89 | 962,24 | 9,81 | 0,000478 | 21,08441 |

7.4.3 Površinske napetosti sistema slanica / CO₂ s koncent. soli 200 g/L pri 25°C

| <i>p</i> (bar) | <i>h</i> (mm) | <i>ρw</i> (kg/m ³) | <i>ρCO₂</i> (kg/m ³) | <i>g</i> (m/s ²) | <i>r</i> (m) | <i>γ</i> (mN/m) |
|----------------|---------------|--------------------------------|---|------------------------------|--------------|-----------------|
| 1 | 96,42 | 1007,59 | 1,829 | 9,81 | 0,000154 | 73,29136 |
| 10 | 91,23 | 1007,99 | 18,725 | 9,81 | 0,000154 | 68,21099 |
| 20,8 | 84,98 | 1008,43 | 40,09 | 9,81 | 0,000154 | 62,19659 |
| 32 | 77,16 | 1008,32 | 71,681 | 9,81 | 0,000154 | 54,62771 |
| 42,7 | 71,61 | 1009,42 | 100,14 | 9,81 | 0,000154 | 49,22007 |
| 50,3 | 67,82 | 1009,56 | 132,92 | 9,81 | 0,000154 | 44,94355 |
| 57,7 | 72,57 | 1010,09 | 164,6 | 9,81 | 0,000154 | 46,38018 |
| 69 | 49 | 1010,59 | 736,94 | 9,81 | 0,000478 | 31,56696 |
| 81,1 | 57,19 | 1011,11 | 779,21 | 9,81 | 0,000478 | 31,2076 |
| 91,8 | 62,07 | 1011,58 | 802,07 | 9,81 | 0,000478 | 30,59363 |
| 101 | 66,67 | 1011,98 | 819,99 | 9,81 | 0,000478 | 30,10764 |
| 120,3 | 75,11 | 1012,81 | 846,61 | 9,81 | 0,000478 | 29,35486 |
| 152,9 | 81,35 | 1014,18 | 879,78 | 9,81 | 0,000478 | 25,70618 |
| 183 | 82,05 | 1015,5 | 903,03 | 9,81 | 0,000478 | 21,69645 |
| 204 | 82,08 | 1016,09 | 916,87 | 9,81 | 0,000478 | 19,14739 |

7.4.4 Površinske napetosti sistema slanica/CO₂ s koncent. soli 14 g/L pri 45°C

| <i>p</i> (bar) | <i>h</i> (mm) | <i>ρw</i> (kg/m ³) | <i>ρCO₂</i> (kg/m ³) | <i>g</i> (m/s ²) | <i>r</i> (m) | <i>γ</i> (mN/m) |
|----------------|---------------|--------------------------------|---|------------------------------|--------------|-----------------|
| 1 | 92,1 | 1000,5 | 1,574 | 9,81 | 0,000154 | 69,53359 |
| 11,2 | 88,19 | 1000,9 | 19,16 | 9,81 | 0,000154 | 65,43774 |
| 31 | 81,278 | 1001,8 | 61,92 | 9,81 | 0,000154 | 57,74034 |
| 45 | 76,142 | 1002,4 | 85,05 | 9,81 | 0,000154 | 52,79731 |
| 61,5 | 71,8 | 1003,4 | 145,3 | 9,81 | 0,000154 | 46,57281 |
| 83,3 | 71,5 | 1004,04 | 264,19 | 9,81 | 0,000154 | 39,98721 |
| 93,6 | 80,2 | 1000,4 | 366,7 | 9,81 | 0,000154 | 38,41455 |
| 100 | 89,5 | 1004,73 | 489 | 9,81 | 0,000154 | 34,88624 |
| 119,5 | 37,16 | 1005,53 | 661,93 | 9,81 | 0,000478 | 30,0645 |
| 152 | 50,9 | 1006,7 | 746,91 | 9,81 | 0,000478 | 31,10029 |
| 180 | 57,18 | 1008,9 | 790,84 | 9,81 | 0,000478 | 29,31538 |

7.4.5 Površinske napetosti sistema slanica/CO₂ s koncent. soli 100 g/L pri 45°C

| <i>p</i> (bar) | <i>h</i> (mm) | ρ_w (kg/m ³) | ρ_{CO_2} (kg/m ³) | <i>g</i> (m/s ²) | <i>r</i> (m) | γ (mN/m) |
|----------------|---------------|-------------------------------|------------------------------------|------------------------------|--------------|-----------------|
| 1 | 26 | 1064,839 | 1,574 | 9,81 | 0,000478 | 65,21314 |
| 11,2 | 25,737 | 1065 | 19,16 | 9,81 | 0,000478 | 63,49952 |
| 21,3 | 25,36 | 1065,683 | 61,92 | 9,81 | 0,000478 | 60,05752 |
| 36,8 | 24,36 | 1065,995 | 85,05 | 9,81 | 0,000478 | 56,39235 |
| 53,7 | 24,9 | 1066,413 | 145,3 | 9,81 | 0,000478 | 54,11895 |
| 65,7 | 24,8 | 1066,413 | 145,3 | 9,81 | 0,000478 | 53,90298 |
| 81 | 24,8 | 1066,413 | 264,19 | 9,81 | 0,000478 | 46,94561 |
| 89 | 24 | 1067,172 | 366,7 | 9,81 | 0,000478 | 39,67735 |
| 120 | 38,91 | 1068,058 | 661,93 | 9,81 | 0,000478 | 37,20196 |
| 150 | 39,5 | 1068,386 | 661,93 | 9,81 | 0,000478 | 37,79426 |
| 180 | 45,75 | 1068,729 | 790,91 | 9,81 | 0,000478 | 29,90404 |
| 200 | 50,99 | 1069,484 | 790,84 | 9,81 | 0,000478 | 33,41616 |

7.4.6 Površinske napetosti sistema slanica/CO₂ s koncent. soli 200 g/L pri 45°C

| <i>p</i> (bar) | <i>h</i> (mm) | ρ_w (kg/m ³) | ρ_{CO_2} (kg/m ³) | <i>g</i> (m/s ²) | <i>r</i> (m) | γ (mN/m) |
|----------------|---------------|-------------------------------|------------------------------------|------------------------------|--------------|-----------------|
| 1 | 29,53 | 1145,37 | 1,6704 | 9,81 | 0,000478 | 79,61214 |
| 10 | 28,4 | 1145,704 | 17,349 | 9,81 | 0,000478 | 75,55457 |
| 20 | 27,415 | 1146,076 | 36,343 | 9,81 | 0,000478 | 71,7448 |
| 30 | 26,864 | 1146,446 | 57,412 | 9,81 | 0,000478 | 68,99971 |
| 40 | 26,54 | 1146,816 | 81,195 | 9,81 | 0,000478 | 66,7068 |
| 50 | 25,25 | 1147,185 | 108,69 | 9,81 | 0,000478 | 61,86779 |
| 60 | 24,63 | 1147,554 | 141,61 | 9,81 | 0,000478 | 58,46629 |
| 70 | 24,44 | 1147,922 | 183,2 | 9,81 | 0,000478 | 55,64068 |
| 80 | 25,12 | 1148,289 | 241,05 | 9,81 | 0,000478 | 53,77176 |
| 90 | 27,65 | 1148,656 | 337,51 | 9,81 | 0,000478 | 52,88792 |
| 100 | 28,18 | 1149,022 | 498,25 | 9,81 | 0,000478 | 43,23997 |
| 120 | 28,36 | 1149,752 | 657,74 | 9,81 | 0,000478 | 32,89895 |
| 150 | 28,19 | 1150,842 | 741,97 | 9,81 | 0,000478 | 27,17673 |
| 180 | 34,94 | 1151,925 | 789,24 | 9,81 | 0,000478 | 29,84663 |
| 200 | 39,01 | 1152,645 | 812,69 | 9,81 | 0,000478 | 31,22012 |

7.4.7 Površinske napetosti sistema slanica/CO₂ s koncent. soli 14 g/L pri 60°C

| <i>p</i> (bar) | <i>h</i> (mm) | ρ_w (kg/m ³) | ρCO_2 (kg/m ³) | <i>g</i> (m/s ²) | <i>r</i> (m) | γ (mN/m) |
|----------------|---------------|-------------------------------|----------------------------------|------------------------------|--------------|-----------------|
| 1 | 89 | 1000,5 | 1,5943 | 9,81 | 0,000154 | 67,1931 |
| 9,9 | 87,33 | 1000,9 | 18,17 | 9,81 | 0,000154 | 64,86533 |
| 30,4 | 80,94 | 1000,9 | 53,52 | 9,81 | 0,000154 | 57,95921 |
| 41,6 | 76,63 | 1002,4 | 76,96 | 9,81 | 0,000154 | 53,60406 |
| 61,2 | 71,77 | 1003,4 | 130,68 | 9,81 | 0,000154 | 47,34653 |
| 81 | 69,86 | 1004,04 | 199,82 | 9,81 | 0,000154 | 42,46999 |
| 101 | 74,65 | 1004,73 | 296,13 | 9,81 | 0,000154 | 39,98428 |
| 120 | 87,97 | 1005,53 | 434,34 | 9,81 | 0,000154 | 37,97767 |
| 150 | 29,36 | 1006,7 | 607,7 | 9,81 | 0,000478 | 27,61508 |
| 180 | 30 | 1008,9 | 678,25 | 9,81 | 0,000478 | 23,38068 |

7.5 Podatki za izračun gostote in površinske napetosti sistema PEG/CO₂

7.5.1 Podatki za izračun gostote sistema PEG 200/CO₂ pri 40°C

| <i>p</i> (bar) | <i>m total</i> | <i>m clean</i> | <i>m</i> | <i>V</i> (mL) | <i>ρ</i> (kg/m ³) |
|----------------|----------------|----------------|----------|---------------|-------------------------------|
| 1 | 186,5827 | 186,1559 | 0,4268 | 0,38143 | 1118,9356 |
| 20 | 186,5827 | 186,156 | 0,4267 | 0,38143 | 1118,6735 |
| 40 | 186,5882 | 186,1562 | 0,432 | 0,38143 | 1132,5684 |
| 60 | 186,5816 | 186,1529 | 0,4287 | 0,38143 | 1123,9168 |
| 100 | 186,5698 | 186,1529 | 0,4169 | 0,38143 | 1092,9809 |
| 120 | 186,5723 | 186,156 | 0,4163 | 0,38143 | 1091,4079 |
| 140 | 186,5729 | 186,1562 | 0,4167 | 0,38143 | 1092,4566 |
| 160 | 186,5732 | 186,1539 | 0,4193 | 0,38143 | 1099,2730 |
| 180 | 186,571 | 186,1527 | 0,4183 | 0,38143 | 1096,6513 |
| 200 | 186,572 | 186,1539 | 0,4181 | 0,38143 | 1096,1270 |

7.5.2 Podatki za izračun površinske napetosti sistema PEG 200/CO₂ pri 40°C

| <i>p</i> (bar) | <i>h</i> (mm) | <i>ρw</i> (kg/m ³) | <i>ρCO₂</i> (kg/m ³) | <i>g</i> (m/s ²) | <i>r</i> (m) | <i>γ</i> (mN/m) |
|----------------|---------------|--------------------------------|---|------------------------------|--------------|-----------------|
| 1 | 17,805 | 1118,936 | 1,574 | 9,81 | 0,000478 | 47,06215 |
| 10 | 17,771 | 1123,917 | 19,16 | 9,81 | 0,000478 | 46,44318 |
| 20,5 | 17,166 | 1092,457 | 39,805 | 9,81 | 0,000478 | 42,75955 |
| 30 | 16,149 | 1163,917 | 61,92 | 9,81 | 0,000478 | 42,13634 |
| 40,1 | 15,061 | 1132,568 | 85,05 | 9,81 | 0,000478 | 37,38116 |
| 60 | 12,795 | 1123,917 | 145,3 | 9,81 | 0,000478 | 29,72314 |
| 80 | 12,695 | 1092,457 | 264,19 | 9,81 | 0,000478 | 24,96242 |
| 90,9 | 13,89 | 1099,273 | 356,7 | 9,81 | 0,000478 | 24,4603 |
| 100 | 15,9 | 1096,651 | 489 | 9,81 | 0,000478 | 22,87962 |
| 121 | 16,401 | 1096,127 | 661,93 | 9,81 | 0,000478 | 16,85865 |
| 150 | 16,979 | 1099,273 | 743,91 | 9,81 | 0,000478 | 14,27932 |
| 180 | 17,888 | 1096,651 | 790,84 | 9,81 | 0,000478 | 12,93998 |

7.5.3 Podatki za izračun gostote sistema PEG 200/CO₂ pri 60°C

| p (bar) | m total | m clean | m | V (mL) | ρ (kg/m³) |
|----------------|----------------|----------------|----------|---------------|-----------------------------|
| 1 | 186,5614 | 186,143 | 0,4184 | 0,381434 | 1096,913 |
| 20,7 | 186,5601 | 186,143 | 0,4171 | 0,381434 | 1093,505 |
| 40 | 186,5571 | 186,14 | 0,4171 | 0,381434 | 1093,505 |
| 60 | 186,5527 | 186,1422 | 0,4105 | 0,381434 | 1076,202 |
| 80,4 | 186,5545 | 186,1408 | 0,4137 | 0,381434 | 1084,592 |
| 99,9 | 186,5585 | 186,1431 | 0,4154 | 0,381434 | 1089,048 |
| 120,2 | 186,5528 | 186,1441 | 0,4087 | 0,381434 | 1071,483 |
| 141,2 | 186,5536 | 186,1438 | 0,4098 | 0,381434 | 1074,367 |
| 159,4 | 186,559 | 186,1461 | 0,4129 | 0,381434 | 1082,494 |
| 179,6 | 186,5555 | 186,1436 | 0,4119 | 0,381434 | 1079,872 |

7.5.4 Podatki za izračun površinske napetosti sistema PEG 200/CO₂ pri 60°C

| p (bar) | h (mm) | ρ_w (kg/m³) | ρCO₂ (kg/m³) | g (m/s²) | r (m) | γ (mN/m) |
|----------------|---------------|---|---|----------------------------|--------------|-----------------|
| 1 | 15,604 | 1108,5 | 1,5943 | 9,81 | 0,000478 | 42,81241 |
| 20,5 | 14,731 | 1107 | 34,21 | 9,81 | 0,000478 | 39,19602 |
| 40,1 | 11 | 1102 | 76,96 | 9,81 | 0,000478 | 28,072 |
| 60 | 9,215 | 1097 | 130,68 | 9,81 | 0,000478 | 22,23361 |
| 80 | 8,524 | 1096,5 | 199,82 | 9,81 | 0,000478 | 19,11171 |
| 100 | 8,624 | 1095,5 | 296,13 | 9,81 | 0,000478 | 17,23371 |
| 121 | 10 | 1095 | 434,34 | 9,81 | 0,000478 | 16,47273 |
| 150 | 10 | 1095 | 607,7 | 9,81 | 0,000478 | 12,15022 |
| 180 | 9,98 | 1096 | 678,25 | 9,81 | 0,000478 | 10,39558 |

7.5.5 Podatki za izračun površinske napetosti sistema PEG 400/CO₂ pri 40°C

| <i>p</i> (bar) | <i>h</i> (mm) | ρ_w (kg/m ³) | ρCO_2 (kg/m ³) | <i>g</i> (m/s ²) | <i>r</i> (m) | γ (mN/m) |
|----------------|---------------|-------------------------------|----------------------------------|------------------------------|--------------|-----------------|
| 1 | 15,904 | 1125 | 1,574 | 9,81 | 0,000478 | 42,31039 |
| 20,5 | 13,402 | 1127 | 39,805 | 9,81 | 0,000478 | 34,5682 |
| 40,1 | 8,312 | 1125 | 85,05 | 9,81 | 0,000478 | 20,65528 |
| 60 | 8,635 | 1117,5 | 145,3 | 9,81 | 0,000478 | 20,04589 |
| 80 | 8,626 | 1107 | 264,19 | 9,81 | 0,000478 | 17,3602 |
| 100 | 8,382 | 1106 | 489 | 9,81 | 0,000478 | 12,356 |
| 121 | 8,617 | 1108 | 661,93 | 9,81 | 0,000478 | 9,178739 |
| 150 | 8,127 | 1112 | 743,91 | 9,81 | 0,000478 | 7,151272 |
| 180 | 7,784 | 1113,5 | 790,84 | 9,81 | 0,000478 | 6,009175 |

7.5.6 Podatki za izračun površinske napetosti sistema PEG 400/CO₂ pri 60°C

| <i>p</i> (bar) | <i>h</i> (mm) | ρ_w (kg/m ³) | ρCO_2 (kg/m ³) | <i>g</i> (m/s ²) | <i>r</i> (m) | γ (mN/m) |
|----------------|---------------|-------------------------------|----------------------------------|------------------------------|--------------|-----------------|
| 1 | 15,604 | 1108,5 | 1,5943 | 9,81 | 0,0005 | 42,81241 |
| 20,5 | 14,731 | 1107 | 34,21 | 9,81 | 0,0005 | 39,19602 |
| 40,1 | 11 | 1102 | 76,96 | 9,81 | 0,0005 | 28,072 |
| 60 | 9,215 | 1097 | 130,68 | 9,81 | 0,0005 | 22,23361 |
| 80 | 8,524 | 1096,5 | 199,82 | 9,81 | 0,0005 | 19,11171 |
| 100 | 8,624 | 1095,5 | 296,13 | 9,81 | 0,0005 | 17,23371 |
| 121 | 10 | 1095 | 434,34 | 9,81 | 0,0005 | 16,47273 |
| 150 | 10 | 1095 | 607,7 | 9,81 | 0,0005 | 12,15022 |
| 180 | 9,98 | 1096 | 678,25 | 9,81 | 0,0005 | 10,39558 |

7.5.7 Podatki za izračun gostote sistema PEG 600/CO₂ pri 40°C

| <i>p</i> (bar) | <i>m total</i> | <i>m clean</i> | <i>m</i> | <i>V</i> (mL) | <i>ρ</i> (kg/m ³) |
|----------------|----------------|----------------|----------|---------------|-------------------------------|
| 1 | 186,682 | 186,2469 | 0,4351 | 0,3814 | 1140,797 |
| 19,9 | 186,6843 | 186,2458 | 0,4385 | 0,3814 | 1149,712 |
| 41,3 | 186,7002 | 186,25 | 0,45021 | 0,3814 | 1180,414 |
| 61 | 186,6995 | 186,2521 | 0,4474 | 0,3814 | 1173,047 |
| 83 | 186,6985 | 186,2544 | 0,4441 | 0,3814 | 1164,394 |
| 100 | 186,6923 | 186,2483 | 0,444 | 0,3814 | 1164,132 |
| 121 | 186,6906 | 186,2556 | 0,435 | 0,3814 | 1140,535 |
| 140 | 186,688 | 186,252 | 0,436 | 0,3814 | 1143,157 |
| 160 | 186,6914 | 186,2528 | 0,4386 | 0,3814 | 1149,974 |
| 180 | 186,6954 | 186,2467 | 0,4487 | 0,3814 | 1176,455 |

7.5.8 Podatki za izračun površinske napetosti sistema PEG 600/CO₂ pri 40°C

| <i>p</i> (bar) | <i>h</i> (mm) | <i>ρw</i> (kg/m ³) | <i>ρCO₂</i> (kg/m ³) | <i>g</i> (m/s ²) | <i>r</i> (m) | <i>γ</i> (mN/m) |
|----------------|---------------|--------------------------------|---|------------------------------|--------------|-----------------|
| 1 | 16,587 | 1140,797 | 1,574 | 9,81 | 0,000478 | 44,72964 |
| 20,5 | 14,666 | 1149,712 | 39,805 | 9,81 | 0,000478 | 38,57961 |
| 40,1 | 12,325 | 1180,414 | 85,05 | 9,81 | 0,000478 | 32,06202 |
| 60 | 10,689 | 1173,047 | 145,3 | 9,81 | 0,000478 | 26,14063 |
| 80 | 10,7889 | 1164,394 | 264,19 | 9,81 | 0,000478 | 23,10745 |
| 100 | 12,151 | 1164,132 | 489 | 9,81 | 0,000478 | 19,48613 |
| 121 | 10,111 | 1140,535 | 661,93 | 9,81 | 0,000478 | 11,52467 |
| 150 | 8,3 | 1143,157 | 743,91 | 9,81 | 0,000478 | 7,918528 |
| 180 | 7,59 | 1149,974 | 790,84 | 9,81 | 0,000478 | 6,525105 |

7.5.9 Podatki za izračun gostote sistema PEG 600/CO₂ pri 60°C

| <i>p</i> (bar) | <i>m total</i> | <i>m clean</i> | <i>m</i> | <i>V</i> (mL) | <i>ρ</i> (kg/m ³) |
|----------------|----------------|----------------|----------|---------------|-------------------------------|
| 1 | 186,623 | 186,1945 | 0,4285 | 0,3814 | 1123,492 |
| 21 | 186,623 | 186,1935 | 0,4295 | 0,3814 | 1126,114 |
| 42,8 | 186,6253 | 186,193 | 0,4323 | 0,3814 | 1133,456 |
| 61,9 | 186,6226 | 186,1968 | 0,4258 | 0,3814 | 1116,413 |
| 79,8 | 186,6252 | 186,1938 | 0,4314 | 0,3814 | 1131,096 |
| 103,4 | 186,6227 | 186,1936 | 0,4291 | 0,3814 | 1125,066 |
| 122,5 | 186,6231 | 186,1963 | 0,4268 | 0,3814 | 1119,035 |
| 140,5 | 186,6253 | 186,196 | 0,4293 | 0,3814 | 1125,59 |
| 160,4 | 186,6256 | 186,1938 | 0,4318 | 0,3814 | 1132,145 |
| 178 | 186,6274 | 186,1964 | 0,431 | 0,3814 | 1130,047 |

7.5.10 Podatki za izračun površinske napetosti sistema PEG 600/CO₂ pri 60°C

| <i>p</i> (bar) | <i>h</i> (mm) | <i>ρw</i> (kg/m ³) | <i>ρCO₂</i> (kg/m ³) | <i>g</i> (m/s ²) | <i>r</i> (m) | <i>γ</i> (mN/m) |
|----------------|---------------|--------------------------------|---|------------------------------|--------------|-----------------|
| 1 | 15,18 | 1123,492 | 1,5943 | 9,81 | 0,000478 | 40,34845 |
| 20,5 | 11,897 | 1126,114 | 34,21 | 9,81 | 0,000478 | 30,86503 |
| 40,1 | 10,412 | 1133,456 | 76,96 | 9,81 | 0,000478 | 26,18571 |
| 60 | 9,049 | 1116,413 | 130,68 | 9,81 | 0,000478 | 21,28175 |
| 80 | 7,464 | 1131,096 | 199,82 | 9,81 | 0,000478 | 16,64525 |
| 100 | 5,732 | 1125,066 | 296,13 | 9,81 | 0,000478 | 11,44989 |
| 121 | 6,406 | 1119,035 | 434,34 | 9,81 | 0,000478 | 10,53952 |
| 150 | 6,631 | 1125,59 | 607,7 | 9,81 | 0,000478 | 8,245091 |
| 180 | 6,561 | 1132,145 | 678,25 | 9,81 | 0,000478 | 7,151759 |

8 Življenjepis



OSEBNI PODATKI

Kravanja Gregor

- Travnerjeva ulica 4, 2000 Maribor (Slovenija)
- 0038641 908 199
- gregor.kravanja@gmail.com

Spol Moški | Datum rojstva 3/4/1990 | Državljanstvo slovensko

ŽELENO PODROČJE DELA

magister inženir kemijske tehnologije

DELOVNE IZKUŠNJE

9/2013–9/2014

Univerzitetni študentski časopis Spekter

Študentska organizacija univerze v Mariboru, (Slovenija)

Zadolžen za rubriki Znanost in tehnika ter Arhitektura

IZOBRAŽEVANJE IN USPOSABLJANJE

10/2012–9/2014

magister inženir kemijske tehnologije

Fakulteta za kemijo in kemijsko tehnologijo Maribor
Smetanova ul. 17, Maribor

10/2009–9/2012

univ. dipl. ing. kemijske tehnologije

Fakulteta za kemijo in kemijsko tehnologijo v Mariboru
Smetanova 17, SI-2000 Maribor (Slovenija)

6/2014–8/2014

Praktično usposabljanje

Morska biološka postaja Piran, enota - Nacionalnega inštituta za biologijo (MBP NIB)

Fornače 41, 6330 Piran, Slovenija

KOMPETENCE

Matematički jezik

slovenščina

Drugi jeziki

| | RAZUMEVANJE | | GOVORJENJE | | PISNO SPOROČANJE |
|------------|--------------------|--------------------|------------------------|--------------------|------------------|
| | Slušno razumevanje | Bralno razumevanje | Govorno sporazumevanje | Govorno sporočanje | |
| angleščina | C1 | C1 | B2 | B2 | B2 |
| nemščina | B1 | B1 | A2 | A1 | A1 |
| hrvaščina | B2 | B1 | B1 | B1 | A2 |

Stopnja: A1/A2: Osnovni uporabnik - B1/B2: Samostojni uporabnik - C1/C2: Uspodbjeni uporabnik

| | |
|-------------------------------------|---|
| Komunikacijske kompetence | Komunikacijske veščine (član študentskega sveta FKKT UM) |
| Organizacijske/vodstvene kompetence | Predstavnik študentov v senatu FKKT UM |
| Strokovne kompetence | Superkritični fluidi (raziskovanje) |
| Računalniške kompetence | Dobro poznavanje računalniškega paketa MS Office (Word, PowerPoint, Excel). Poznavanje računalniškega programa The General Algebraic Modeling System (GAMS). |
| Druge kompetence | Napredni potapljač (Advanced Open Water Diver) Vozniško dovoljenje B kategorije |